

AKDENİZ ÜNİVERSİTESİ  
FEN BİLİMLERİ ENSTİTÜSÜ

X KEÇİBORLU KÜKÜRT İŞLETME GALERİSİNDE  
KAYA SINIFLAMASI VE DESTEKLEME ÖNLEMLERİ

YÜKSEK LİSANS TEZİ  
Jeo.Müh. İkbal YAVRU

T143 /1-1

Ana Bilim Dalı : Jeoloji  
Programı : Uygulamalı Jeoloji

Akdeniz Üniversitesi  
Rektörlük Bürosu  
Demirbaş No: 4947

MAYIS 1989

AKDENİZ ÜNİVERSİTESİ  
FEN BİLİMLERİ ENSTİTÜSÜ

KEÇİBORLU KÜKÜRT İŞLETME GALERİSİNDE  
KAYA SINIFLAMASI VE DESTEKLEME ÖNLEMLERİ

YÜKSEK LİSANS TEZİ  
Jeo.Müh. İkbal YAVRU

Tezin Enstitüye Verildiği Tarih:  
Tezin Savunulduğu Tarih : :

Tez Danışmanı : Prof.Dr.Aziz ERTUNÇ  
Diğer Juri Üyeleri : Prof.Dr.Ali ŞAHİNÇİ  
Y.Doç.Dr.Ergün TÜRKER

MAYIS 1989

İÇİNDEKİLERSAYFA NO

|   |    |
|---|----|
| ÖZ .....  |    |
| ABSTRACT .....  |    |
| 1-GİRİŞ .....   | 1  |
| 1.1-Araştırmmanın Amacı .....                           | 1  |
| 1.2-Çalışma Yöntemi ve Süresi .....                     | 2  |
| 2-TEŞEKKÜR .....  | 3  |
| 3-COĞRAFYA .....  | 4  |
| 3.1-Morfoloji .....                                     | 4  |
| 3.2-İklim .....   | 4  |
| 3.3-Hidrografi .....                                    | 4  |
| 3.4-Bitki Örtüsü .....                                  | 5  |
| 3.5-Yerleşim Biçimi .....                               | 5  |
| 3.6-Ekonominik Durum .....                              | 5  |
| 3.7-Ulaşım .....  | 5  |
| 4-GENEL JEOLOJİ .....                                   | 6  |
| 4.1-Önceki Çalışmalar .....                             | 6  |
| 4.2-Stratigrafi .....                                   | 7  |
| 4.2.1-Söyüdağ Kireçtaşı ( $Kr_s$ ) .....                | 8  |
| 4.2.2-Koçtepe Formasyonu ( $T_k$ ) .....                | 9  |
| 4.2.3-Isparta Formasyonu ( $T_1$ ) .....                | 11 |
| 4.2.3.1-Dinar Üyesi ( $TI_d$ ) .....                    | 12 |
| 4.2.4-İncesu Konglomerası ( $Ti$ ) .....                | 13 |
| 4.2.5-Gökçebağ Karmaşığı ( $Tr-Krg$ ) .....             | 14 |
| 4.2.5.1-Keçiborlu Kumtaş Üyesi ( $Tr-Krg_k$ ) .....     | 15 |
| 4.2.5.2-Akdağ Kireçtaşı Olistoliti ( $Tr-Krg_a$ ) ..... | 16 |
| 4.2.6-Burdur Formasyonu ( $T_b$ ) .....                 | 16 |
| 4.2.6.1-Milas Tüf Üyesi ( $Tbm$ ) .....                 | 17 |
| 4.2.6.2-Gölcük Üyesi ( $T_{bg}$ ) .....                 | 17 |
| 4.2.7-Alüvyon ( $Qal$ ) .....                           | 17 |
| 4.3-Yapısal Jeoloji .....                               | 18 |
| 4.3.1-Kıvrımlar .....                                   | 18 |
| 4.3.2-Eklemler .....                                    | 19 |
| 4.3.3-Faylar .....                                      | 20 |

|   |    |
|---|----|
| 5-KEÇİBORLU KÜKÜRT YATAKLARININ OLUŞUMU VE YORUMU ...   | 21 |
| 5.1-Mineral Oluşumunun Sıcaklığı .....  | 24 |
| 6-MÜHENDİSLİK JEOLOJİSİ .....   | 25 |
| 6.1-Yöredeki Kayaçların Jeoteknik Özellikleri .....   | 26 |
| 6.1.1-Değirmendere Maden Ocağı .....  | 26 |
| 6.1.2-Kumludere Maden Ocağı .....   | 29 |
| 6.2-Kayaçların Fiziksel ve Mekanik Özelliklerinin<br>Deneysel Tesbiti .....                         | 33 |
| 6.2.1-Kayaçların Direnç Özellikleri .....   | 33 |
| 6.2.1.1-Tek Eksenli Basınç Direnci .....  | 34 |
| 6.2.1.2-Kayaçların Tek Eksenli Basınç Deneyselinde<br>Gösterdikleri Gerilme-Deformasyon Özellikleri | 36 |
| 6.2.1.3-Endirekt Çekme Deneysi .....  | 41 |
| 6.2.2-Nokta Yük Dayanımı .....  | 42 |
| 6.2.3-Kayaçların Darbe Dayanımı .....   | 43 |
| 6.2.4-Kayaçların Sismik Hızları .....   | 45 |
| 6.3-Jeoteknik ve Mekanik Özellikleri Açısından<br>Kayaçların Sınıflandırılması .....                | 47 |
| 6.3.1-Jeomekanik RMR Sistemi (Bieniawski Kaya<br>Sınıflaması) .....                                 | 47 |
| 6.3.2-Q Sistemi (Barton Kaya Sınıflaması) .....   | 49 |
| 6.3.3-RSR Kavramı .....   | 56 |
| 6.3.4-Bieniawski-Barton Sınıflamaları ve RSR<br>Kavramının Uygulanması .....                        | 58 |
| 6.3.4.1-Bieniawski Kaya Sınıflamasının Uygulanması ...  | 58 |
| 6.3.4.2-Barton Kaya Sınıflaması .....   | 59 |
| 6.3.4.3-RSR Parametreleri İle Yapılan Kaya Sınıflama-<br>lari .....                                 | 60 |
| 6.4-Uzun Süreli Uygulamalar İçin Gerekli Destekleme<br>Önlemlerinin Belirtilmesi .....              | 62 |
| 6.4.1-Pradontyakonov Yaklaşımı .....  | 62 |
| 6.4.2-Arioğlu, Birön-Arioğlu Yük Yaklaşımı .....  | 64 |
| 6.4.3-Barton Yaklaşımı .....  | 67 |
| 6.4.4-Arioğlu, Birön-Arioğlu Yaklaşımı ile Barton<br>Yaklaşımının Karşılaştırılması .....           | 68 |
| SONUÇLAR .....  | 71 |
| KAYNAKLAR .....   | 74 |

## METİN İÇİ ŞEKİLLER VE TABLOLAR

- Şekil 1: Bulduru Haritası.
- Şekil 2: Keçiborlu Yöresinin Genelleştirilmiş Stratigrafik Sütun Kesiti.
- Şekil 3: Keçiborlu-Kumludere ocağına ait eklem düzlemleri doğrultu gül diyagramı.
- Şekil 4: Keçiborlu-Kumludere ocağına ait eklem düzlemleri eğim yönü gül diyagramı.
- Şekil 5: Keçiborlu-Kumludere ocağına ait eklem düzlemleri eğim miktarı gül diyagramı.
- Şekil 6:  $100^{\circ}\text{C}$  de  $S=0.1$  molde, Ps ve hakim sıvı türlerinin dağılım diyagramı.
- Şekil 7:  $25^{\circ}\text{C}$  de, 1 Atmosferlik basınç altında ve 0.1 aktivite şartlarında demiroksit bileşikleri ile sülfitler arasındaki ilişki diyagramı.
- Şekil 8: Tek eksenli basınç deneyi sonucuna ait mohr daireleri.
- Şekil 9: Değirmerdere ocağına ait Gerilme-Deformasyon eğrisi.
- Şekil 10: Kumladere ocağına ait Gerilme-Deformasyon eğrisi.
- Şekil 11: Brazilian Deneyi sonucuna ait mohr daireleri.
- Şekil 12: Pradontyakanov Yaklaşım Teorisi.
- Şekil 13: Arioğlu, Birön-Arioğlu Teorisi.

Tablo 1: Kaya kalitesi sınıflamaları (Bieniawski-1974).

Tablo 2: Atnalı şekilli tünelerde ilk iksanın seçiminde gösterilen klavuz.

Tablo 3: Q sistemi için "Kaya Kütlesi Niteliği".

Tablo 4: RSR A Parametreleri.

Tablo 5: RSR B Parametreleri.

Tablo 6: RSR C Parametreleri.

Tablo 7: İyi, Orta ve Kötü Yükleme Koşullarına Karşı Gelen Kayaç Kalite Katsayıları Değerleri.

## **EKLER**

- Ek 1- Keçiborlu ve dolayının Jeoloji Haritası (1/25 000 Ölçekli)
- Ek 2- Değirmendere Maden Ocağına Ait Yeraltı Jeoloji Haritası  
(1/500 Ölçekli).
- Ek 3- Kumludere Maden Ocağına ait Yeraltı Jeoloji Haritası  
(1/500 Ölçekli).
- Ek 4- Kumludere Maden Ocağı 1024 Katı Yeraltı Jeoloji Haritası  
(1/500 Ölçekli).
- Ek 5- Kumludere Maden Ocağı 1024 Katı Galeri Kesiti (1/500 Ölçekli).
- Ek 6- Sondaj Logları.

## ÖZ

Bu çalışma Akdeniz Üniversitesi Fen Bilimleri Enstitüsü'nde yüksek lisans tezi olarak hazırlanmıştır. Çalışmada Isparta Keçiborlu Kükürt İşletme Galerileri'nin jeolojik ve jeoteknik koşulları ortaya konulmaya çalışılmıştır.

Galerilerdeki kayaçların fiziksel ve mekanik özelliklerini tesbit etmek amacıyla bir grup deneyler yapılmış ve kaya sınıflamalarına gidilmiştir. Kaya sınıflamalarında Bieniawski, Barton sınıflamaları ve RSR parametreleri esas alınmıştır. Jeomekanik RMR yöntemi esas alınarak yapılan kaya sınıflamalarında Kumludere Maden Ocagındaki kayaç kalitesi "Orta" olarak tesbit edilmiştir. Q sistemine göre yapılan sınıflama da ise "Zayıf Kaya" sonucu ortaya çıkmıştır.

Maden ocaklarında tahkimat ünitelerinin tasarımı için ise Pradontyakanov Yaklaşımı, Arıoğlu, Birön-Arıoğlu Yaklaşımı esas olarak alınmıştır. Bu yaklaşımlardan hareketle Değirmendere ve Kumludere Maden Ocaklarındaki tahkimat üniteleri karşılaştırılmış ve yeni tasarıma gidilmesi gerekliliği ortaya konulmuştur.

Çalışma alanında en eski kaya birimi Kampaniyen-Meastrichtiyen yaşlı Söbüdağı Kireçtaşı olup, bu oluşuğu uyumlu olarak Koçtepe Formasyonu izlemektedir. Koçtepe Formasyonu üzerinde, kumtaşı, kireçtaşı içeren Eosen yaşlı Isparta Formasyonu bulunur. Oligosen yaşlı İncesu Konglomeraları ise Isparta Formasyonu üzerebine bindirmiş durumdadır. Allokton bir birlik olarak değerlendirilmiş olan Gökçebağ Karmaşığını ise Pliyosen yaşlı Burdur Formasyonu üstlemektedir. Kuvaterner alüvyon ve taraçalarla temsil edilmiştir.

## ABSTRACT

This study has been prepared for the Master degree of Scientific Institute of Akdeniz University. In the study the geological and geotechnical conditions of the Sulphuric Operational Galleries at Keçiborlu near Isparta have been tried to point out.

In order to find out the physical and mechanical characteristics of the rocks in the galleries, a group of tests have been made and the rocks have been classified. In classification of the rocks Bieniawski's, Barton's and RSR parameters have been considered. By considering the geomechanical RMR method the rocks in Kumludere gallery have been classified and the "medium" quality of the rocks have been observed. The rocks have been classified according to the Q system. The weak rocks have been found out.

In the galleries the description of the supporting units. Pradontyakanov's, Arıoğlu's, Birön-Arıoğlu's views have been taken in to account. Bearing the views in mind the supporting units at Değirmendere and Kumludere galleries have been compared and the necessity for a new method has been pointed out.

In the study area, the oldest rock units is Campanian-Maastrichtian aged Söbüdağ Limestone. Koçtepe formation follows this formation. Above Koçtepe formation lies Eocene aged Isparta formation which comprises sandstone and limestone. Oligocene aged Incesu conglemerates overthrust Isparta formation. Gökçebağ formation has been considered as overthrusted formation. Above this formation Pliocene aged Burdur formation lies. Quaterners have been represented as alluviums and terraces.

## 1-GİRİŞ

Bu çalışma, Akdeniz Üniversitesi Fen Bilimleri Enstitüsü Jeoloji Bölümü Uygulamalı Jeoloji Anabilim Dalında Yüksek Lisans Tezi olarak hazırlanmıştır.

Çalışmada Keçiborlu (Isparta) dolayında kükürt çıkartılan galerilerdeki kayaçların sınıflanması ve jeoteknik özelliklerinin saptanması amaçlanmıştır. Bölgenin jeolojik durumu değişik zamanlarda, değişik kişi ve kurumlar tarafından haritalanmış olup, jeolojik özellikleri ortaya konulmuştur.

Bu çalışmada bölgede mostra veren oluşukların birbirleri ile olan ilişkileri ve tektonik gelişimlerine göre yapılan adlamaları daha önceki\_MACıcların kullandıkları şekliyle benimsenmiştir.

Jeolojik çalışmaların oluşturduğu temel üzerine geliştirilen mühendislik çalışmalarında ise, yörede mevcut olan kükürt ocaklarının ikisinden derlenen kayaç örneklerinin mühendislik özellikleri değişik yöntemler kullanılarak ortaya konulmaya çalışılmıştır.

### 1.1-Araştırmmanın Amacı

Arazide ve büroda yürütülen bu araştırmının amacı Keçiborlu Kükürt İşletme Mıssesesinde mevcut, halen işletilen iki galerideki kayaçların jeolojik ve jeoteknik yönünden özelliklerinin saptanmasıdır.

Bunun için galerilerin 1/500 Ölçekli "Yeraltı Jeoloji Haritaları" hazırlanmıştır. Ocaklardaki kayaçlardan alınan numunelerin üzerinde yapılan mekanik deneylerle sınıflama yoluna gidilmiştir.

Galerilerde karşılaşılan mevcut sorunların çözümüne gidecek des-  
tekleme önlemleri önerilmiştir.

#### 1.2-Çalışma Yöntemi ve Süresi

Öncelikle çalışma alanının 1/25.000 ölçekli jeoloji haritadan yararlanarak işletme galerilerinin 1/500 ölçekli Yeraltı Jeoloji Haritaları hazırlanmıştır. Bu haritalardan galerilerdeki kayaçların birbirleriyle olan ilişkileri araştırılmış, galeri güzergahlarında ise kaya kalitesini tanımlamak için Bieniawski Barton ve RSR kavramlarından yararlanılmıştır.

Çalışma arazi ve büro çalışması olarak yürütülmüştür. Çalışma 1988 sonlarında başlamış ve 1989 da sona ermiştir. Arazi çalışması güzergah boyunca yerinde inceleme yapılarak sürdürülmüştür. Büro çalışmaları ise eldeki mevcut kaynakların gözlem notlarıyla karşılaştırılması şeklinde olup, deney sonuçlarıyla pekiştirilmiştir.

## 2-TEŞEKKÜR

Bu çalışma Akdeniz Üniversitesi Fen Bilimleri Enstitüsü yönetmeliği gereğince yüksek lisans tezi olarak hazırlanmıştır.

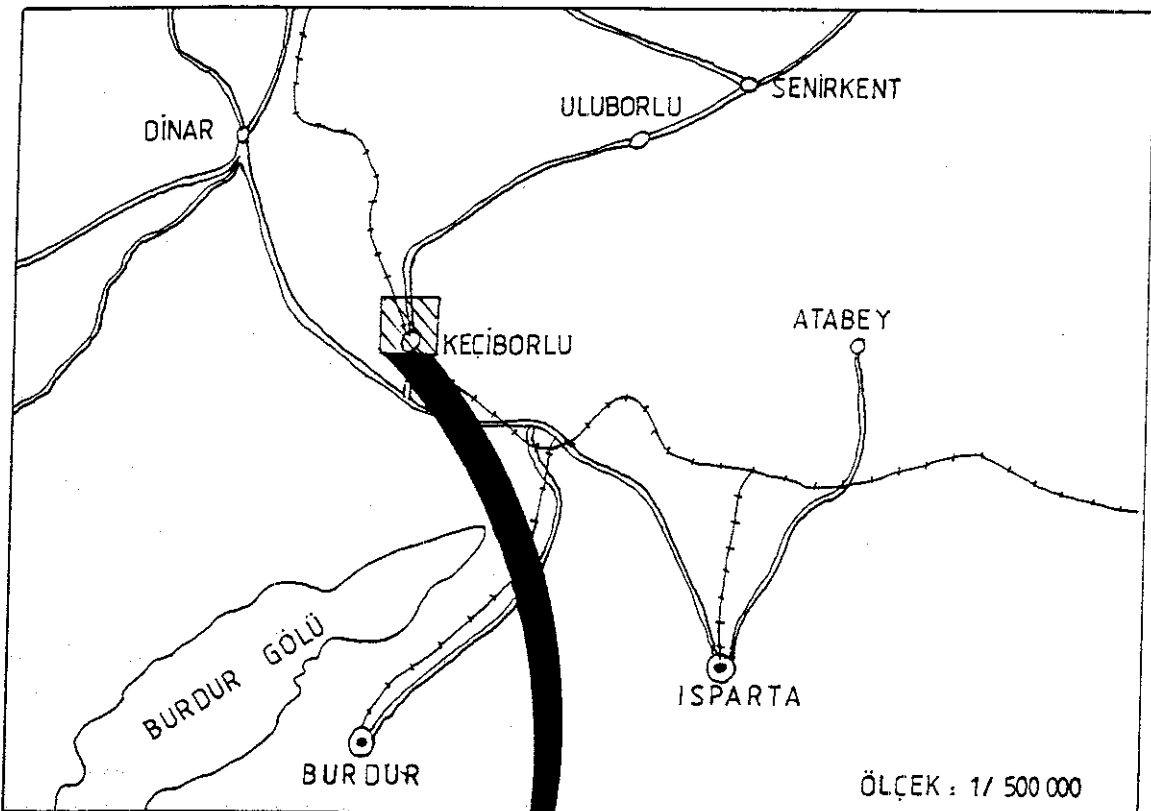
Gerek saha ve gerekse büro çalışmalarımında yardımlarını gördüğüm sayın hocam Prof.Dr.Aziz ERTUNÇ'a, saha büro çalışmaları esnasında yaptığı açıklamalarla, gösterdiği inceleme ve sorunların çözümünde yararlandığım, beni yönlendiren sayın hocam Yrd.Doç.Dr.Ergün TÜRKER'e teşekkür borçluyum.

Saha çalışmalarının yürütülmesinde ve numunelerin alınmasında her türlü desteği gördüğüm Keçiborlu Kükürt İşletme Müzesesi elemanlarından Jeo.Müh.Yakup CANITEZ ve Jeo.Müh.Ibrahim UZUNER'e içtenlikle teşekkür ederim. Çalışmalarımda bana her türlü yardımı yapan Keçiborlu Kükürt İşletmesi Müdürlüğüne, Maden Yük.Müh.Mete TEMİZKALP'in kişiliğinde teşekkür ederim.

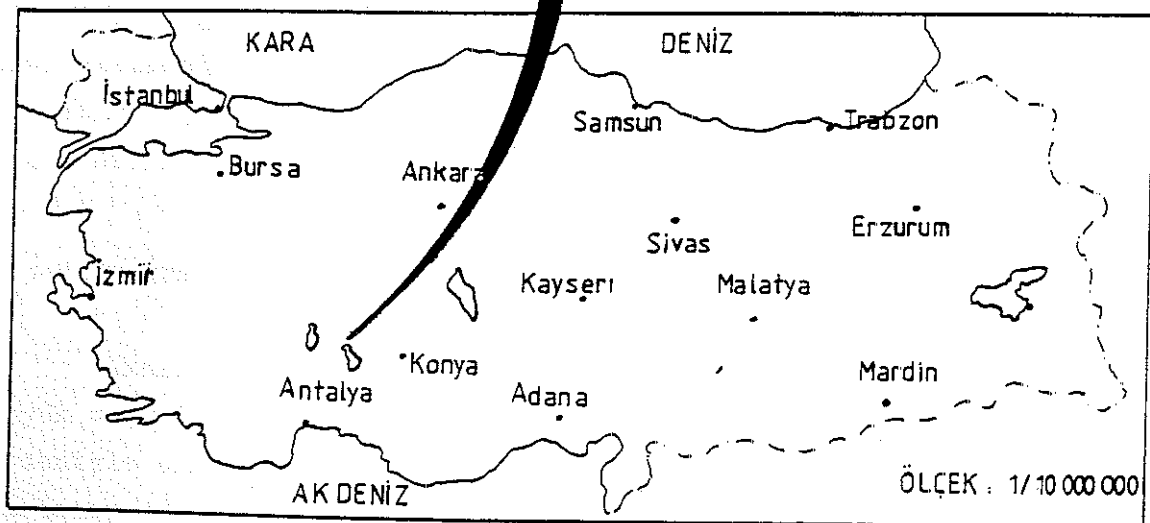
Ayrıca metnin dactilo edilmesini üstlenen Lütfiye SOLAK'a teşekkür borçluyum.

Şekil: 1

## BULDURU HARİTASI



ÖLÇEK : 1/ 500 000



ÖLÇEK : 1/ 10 000 000

### 3-COĞRAFYA

Çalışma alanı Akdeniz Bölgesinin iç kesiminde yer almaktadır. İnceleme alanının tümü Isparta iline bağlıdır.

#### 3.1-Morfoloji

Bölgemin kuzey ve doğu kesimi ile güneydoğusunda olmak üzere üç ayrı alanda yükseltiler izlenir. Kuzeyde Akdağ (1895 m.) ile bunun uzantısındaki Kürtlü Tepe (1495 m.), Kömürlük Tepesi (1351 m.) ve Üçsivri Tepe (1262 m.), doğu kesiminde ise Gök Tepe (1596 m.), Demirli Tepe (1565 m.) ve Karakaya Tepesi (1470 m.) sayılabilen önemli yükseltilerdir. Güneydoğu da ise Kaleyikliği Tepe (1614 m.) yer almaktadır.

Yukarıda belirtilen yükseltiler arasında oldukça geniş görülen düzlüklerin kotu 1150 m.nin altında olup, bölgemin başlıca tarım ve önemli yerleşim alanlarıdır.

#### 3.2-İklim

Yöre genel olarak Akdeniz iklimi, ile karasal iklimin etkisi altındadır. Kış ayları soğuk ve yağışlı, yazları sıcak ve kuraktır. Yıllık yağış ortalaması 694.6 mm. civarında olup, nemlilik oranı %57'dir.

#### 3.3-Hidrografi

Akarsular düzensiz olup, debileri mevsimlere bağlı olarak büyük değişiklik gösterir. Kurak ve çok sıcak geçen yaz ayları nedeniyle birçoğu kurumaktadır. Sonbahar yağışlarıyla tekrar canlanan akarsuların debileri ilkbaharda karların erimesiyle en yüksek değerine ulaşır. İnceleme alanının en önemli akarsuları

Keçiborlu yakınlarında Değirmendere, Gökçebağ yakınlarında Sarıdere ve Sor deresi ile Güneykent yakınlarında Ulu deredir. Bunların tümü Burdur Gölüne dökülmektedirler.

### 3.4-Bitki Örtüsü

Yöre genel görünümüyle Akdeniz bitki örtüsünün özelliğini taşımaktadır. Yüksek kesimlerde çam ormanları ve meşelikler bulunmaktadır. Yerleşim bölgeleri ve çevresinde ise meyve türü ağaçlar ile gül ve yağı bitkileri yetiştirmektedir.

### 3.5-Yerleşim Biçimi

Çalışma alanı Isparta il sınırları içinde bulunmaktadır. Yerleşim merkezlerinin çoğu yamaçlar ve yükseltiler üzerine kurulmuştur. En büyük yerleşim yeri Keçiborlu olup, 15.000 nüfuslu bir ilçe merkezidir.

### 3.6-Ekonominik Durum

Bölgemin ekonomisi tarıma dayanmaktadır. Başta hububat olmak üzere gül, tütün, hayvancılık, meyvecilik önemli oranda geçim kaynaklarını oluşturmaktadır. Diğer taraftan küçük elsanatları, halicilik gibi uğraşılarda halkın geçim kaynağını oluşturmaktadır.

### 3.7-Ulaşım

Çalışma alanını batıdan-doğuya kesen Dinar-Isparta ve kuzeyden-güneye kesen Afyon-Antalya karayolları ulaşım için büyük önem taşımaktadırlar. Küçük yerleşim yerlerinde yapılmış stabilize yollarla dışında, Orman İşletmesi için açılan geçici yollar, yaz aylarında ulaşımı önemli katkıda bulunmaktadır. Çalışma bölgesinden geçen demiryolu da bugün için taşımacılığa yeterli olmaktadır. Afyon'dan, Keçiborlu'ya inen bir hat Karakuyu da ikiye ayrılmakta biri Dinar üzerinden Denizli'ye, diğeri ise Keçiborlu Isparta üzerinden Burdur'a uzanmaktadır.

#### 4-GENEL JEOLOJİ

##### 4.1-Önceki Çalışmalar

UMBERTO (1968), "Keçiborlu Kükürtlü Yeni Ruhsat Sahasının Jeolojik Etüdü" adlı raporunda çalışma alanında başlıca, kireçtaşısı, marn, konglomera, serpentinit ve erüptif kayaçların bulunduğuunu belirterek, tektonik yönden 4 değişim safhasına ayırmıştır:

- Birinci safhada serpentinitin enjeksiyonu ile kireçtaşlarının da çatlakların meydana gelişini söz konusudur. Çatlakları muhtelemen Jura veya Kretase yaşıdır.
- Marn ve kumtaşlarının sedimentasyonu. Bu safhada kireçtaşısı ve serpentin küteleri tamamen parçalanmıştır.
- Üçüncü safhada konglomeraların birikmesi ve taşlaşması söz konusudur, bu da Neojende olmuştur.
- Son safhada ise yani son volkanizma döneminde Kükürt ve demirli sülürün mineralizasyonu ve alterasyonu söz konusudur.

BOĞAZ ve diğerleri (1975), "Keçiborlu Kükürt İşletmesi Sahaları Jeoloji ve Maden Etüd Raporu"nda bölgedeki başlıca kaya birimlerini Fliş, Kumtaşı, Konglomera, Serpentinit, Tüf, Kireçtaşısı olarak belirlemiştir. Fliş adı altındaki kayaçlar, genellikle kumtaşı, kumlu-killi şist gibi kıvrımlı ve tabaklı serilerden ibarettir. Kumtaşları genellikle birkaç mm. ebadındaki kuvars tanelerinin killi ve kireçli çimento ile birleşmesinden oluşmuştur. Konglomeralar bir ve birkaç cm. ebadındaki çakılların karbonatlı bir çimento ile birleşmesinin sonucudur. Serpentinitler ise tabanı teşkil etmektedirler. Ultrabazik kayaçların alterasyonu ile meydana gelmişlerdir. Tüfler; kuvars, feldispat, siyah renkli minerallerden oluşmuşlardır. Genellikle beyaz veya sarımtırak renkli bazende gri-siyah renklidirler. Kireçtaşları diğer kayaçların üzerinde yer almaktadır. Genellikle kireçtaşısı adı altında belirtmekle birlikte bazen radyolaritlerle müinavebeli olarak da görülürler. Bazı hallerde de içinde silis taneleri ihtiva eden kireç çimentolu kumtaşı özellikle özelliğindedir.

ÖZGÜNER (1980), "Keçiborlu ve Burdur gölü civarı Yeni Kü-kürt Zuhurları Prospeksiyon ve Etüdleri" adlı raporunda bölgedeki birimlerin stratigrafik olarak sıralanışı şöyledir:

Tabanda Triyas Jura yaşı beyaz-kristalen kireçtaşları, üste doğru, Üst Kretase yaşı beyaz-plaketli kireçtaşları, menekşe renkli Paleosen marnları ve alacalı bordo ve zeytineşili renkli ve Alt Eosen yaşı turbiditler, Alt-Orta Eosen yaşı serpentin olistolitleri veya denizaltı erüpsiyonları, Orta Eosen yaşı sari renkli kalkarenitik turbiditler, Miyosen yaşı konglomeralar, Pliyosen yaşı beyaz marnlar, Üst Pliyosen yaşı bej renkli traki-andezitik tufler. Çalışma sahası genel özelliklerini açısından iki tektonik doğrultuya ayrılmıştır.

- NW-SE yönlü tektonik doğrultular.
- NE-SW yönlü tektonik doğrultular.

SARIİZ (1982), "Keçiborlu Kükürt Yataklarının Oluşumu ve Yörenin Jeolojisi" adlı doktora tezinde çalışma sahasında mevcut birimlerin birbiri ile olan ilişkileri ve tektonik gelişimlerine göre yörenin tümü için geçerli olabilecek formasyon ve üye adlamaları yaparak bunların yaşlarını saptamıştır. Çalışmacı, yöredeki birimleri alttan üste doğru, Söyüdağ Kireçtaşı, Koçtepe formasyonu, Isparta formasyonu, İncesu konglomeraları, Gökçebağ karmaşığı ve Burdur formasyonu olarak sıralamıştır.

#### 4.2-Stratigrafi

Çalışma alanında mostra veren birimler alttan üste doğru;

- Söyüdağ Kireçtaşı
- Koçtepe Formasyonu
- Isparta Formasyonu
- İncesu Konglomerası
- Gökçebağ Karmaşığı
- Burdur Formasyonu şeklinde sıralanmaktadır.

Bu litolojik birimler altta Söyüdağ Kireçtaşı ile başlamaktadır. Kampaniyen-Meastrichtiyen yaşı bu birim pelmikrit ve Globotruncana'lı biyomikrit ile temsil olunmaktadır. Bu oluşluğu

ise Koçtepe Formasyonu uyumlu olarak izlemektedir.

Paleosen yaşlı Koçtepe Formasyonu pembe renkli biyomikrit ile başlamakta ve üstte doğru yeşil renkli marn, kiltası, mikrobreş ile devam etmektedir. Bu formasyon kumtaşısı, kumlu bıyasparit, kalın tabaklı kireçtaşları içeren Eosen yaşlı Isparta Formasyonu ile uyumlu olarak örtülmektedir.

Isparta Formasyonu en alta Dinar Üyesi ile temsil olmaktadır. Bu birimin üzerine uyumsuz olarak, radyolarit, kireçtaşısı ve serpentinit çakıllarından oluşan Oligosen yaşlı İncesu Konglomeraları gelmektedir. İncesu Konglomeraları, Isparta Formasyonu üzerine bindirmiş durumdadır.

Allokton bir birlik olarak değerlendirilmiş olan Gökçebağ Karmaşığı dünit, serpentinit, gabro, diyabaz ile kumtaşısı ve kireçtaşısı olistolitlerinden oluşmaktadır. Birim içindeki kumtaşısı ve kireçtaşısı olistolitleri ayrı üyeler şeklinde tanımlanmışlardır.

Gökçebağ Karmaşığı üstten Pliyosen yaşlı Burdur Formasyonu ile uyumsuz olarak örtülmektedir. Kırmızımsı polijenik konglomeralarla başlayan bu formasyon üstte doğru kumlu intramikrit, intra sparit ve marn ardalanmasıyla devam ederek Keçiborlu-Burdur ovasının alüvyonları ile örtülmektedir. Ayrıca bu formasyon içinde farklı litolojik özellikler gösteren iki üye ayırtlanmıştır, bunlar; Milas Tuf Üyesi ve Gölcük Üyesidir.

Bölgedeki en genç oluşuklar ise alüvyon ve taraçalar olup, her ikisi de Kuvaterner yaşıdır.

(Bu tezin Stratigrafi bölümü SARIZ, 1982'den alınmıştır).

#### 4.2.1-Söbüdağ Kireçtaşı ( $Kr_s$ )

Harita alanının dışında olan fakat çalışma alanında en yaşlı birimi oluşturan Söbüdağ Kireçtaşı, Isparta yolu üzerinde ve bölgenin doğusunda mostra vermektedir.

Kendisinden yaşlı olan birimlerle ilişkisi gözlenmemekle beraber, üst sınırı Koçtepe Formasyonu ile uyumludur. Kalınlığı yaklaşık olarak 600 m. civarında tespit edilmiş olan kireçtaşları genellikle masif yapılı olup, yer yer aralarında kıl seviyeleri bulunan tabakalar şeklinde de görülebilmektedirler. Genellikle açık gri, bej, beyaz renkli, konkoidal kırılma yüzeyli, bol çatlaklı ve çatlakları yer yer kalsit dolguluudur.

Söyüdağının çeşitli kesimlerinden alınan numunelerin ince-kesitlerinden elde edilen fosil bulguları;

Globotruncana cf suarti (LAPPARENT),  
Globotruncana orco (CUSHMAN),  
Globotruncana bulloides (VUGLER),  
Globotruncana fornicata (PLUMMER),  
Globotruncana cf tricarinata (QUEREAU),  
Globotruncana cf contusa (CUSHMAN),  
Marssonella oxyacana (REUSS),  
Rugoglobigerina sp.,  
Heterolelix sp.,  
Guembellina sp.,

şeklinde olup, yaşı Kampaniyen-Meastrichtiyen'dir (TUNÇ, 1980).

Birimin düzenli mikrofasiyesler sunması oluşum ortamında tabanının duraylı olduğunu göstermektedir.

#### 4.2.2-Koçtepe Formasyonu ( $T_k$ )

Bu formasyon çalışma alanının doğusunda Yassıdağ Tepe ile Uzunkıran Tepe arasında yüzeylenmekte olup, birim pembe renkli biyomiknit ile başlamakta, iiste doğru yeşil renkli marn, kumtaşı, kireçtaşı, mikrobres ardalanması şeklinde devam etmektedir. Altındaki ve üstündeki birimlerle uyumlu olan birim, daha önceki çalışmalar tarafından tip kesitiniz izlendiği Koçtepe köyüne atfen "Koçtepe Formasyonu" olarak adlandırıldığından tarafımızdan da aynı isimle adlandırılmıştır.

Koçtepe Formasyonunun alt sınırı Söyüdağ Kireçtaşı, üst sınır ise Isparta Formasyonu ile uyumlu bir durumdadır.

Çalışma alanının doğusunda mostra veren birimin kalınlığının 100 m. civarında olduğu önceki çalışmaçları tarafından belirtlmüştür.

Koçtepe Formasyonunun içerisinde gözlenen değişik litolojilerden alınan numunelerin ince kesitlerinden tayin edilen fosiller;

Globoratalia sp.,  
Globigarina sp.,  
Hontkenina sp., dir.

Buna göre formasyonun yaşı Paleosen olarak tespit edilmiş-  
tir, (TUNÇ, 1980).

Ayrıca GUTNIC (1972), aynı formasyonun;

Flosculina,  
Orbitoididae,  
Asterodisküs,  
Discocyclina,  
Nummulites,

icerdiğini belirterek yaşıni Paleosene bağlamıştır.

Pembe renkli biyomikrit ile başlayan Koçtepe Formasyonu  
üste doğru aralarında ince mikritler bulunduran bej ve açık yeşil  
renkli marn, kireçtaşı, kumtaşı, mikrobres ardalanması ile devam  
etmektedir. Kumtaşı ve mikrobreslerde bağlayıcı malzeme kil olup,  
çakıllarını radyolarit serpantinit ve kuvars parçaları oluşturmaktadır.

Formasyonun kumtaşı, marn, kireçtaşı ardalanması göstermesi  
oluşum ortamının değişik enerjili olduğunu göstermektedir.

#### 4.2.3-Isparta Formasyonu ( $T_1$ )

Çalışma alanının doğu ve batısında çeşitli kesimlerde mostra veren; kumtaşı, marn, kumlu biyosparit ve biyomikrit ardalanması ile kireçtaşından oluşan birime en iyi Isparta çevresinde gözlendiği için "Isparta Formasyonu" adı verilmiştir. Isparta Formasyonu, Koçtepe Formasyonunu uyumlu olarak izlemektedir.

Güneykent çevresinde geniş alanlarda izlenen Isparta Formasyonu genellikle orta eğimli tabakalar halinde olup, fay ve şaryaj zonlarında ise kıvrımlı bir yapı göstermektedir. Birimin kalınlığı yaklaşık olarak 1000 m. civarında saptanmıştır.

Formasyon alt seviyelerinde, genellikle gri renkli ince tabakalı, kumtaşı, marn, kumlu biyosparit, biyomikrit ardalanması ile üstte kalın tabakalı, Nummulites ve Discoocylina fosili içeren kireçtaşı ve marnlar ile temsil olunmaktadır.

Isparta Formasyonunun, Güneykent dolayındaki gelişimi kaba ve ince taneli kumtaşları ile konglomeralar şeklindedir. Bunlara ait kumtaşlarının yapılan mikroskopik incelemelerinde SARIİZ (1982), kilce zengin karbonat çimentosu içinde gört, kuvars, serpan tinit ve Discocylina fosillerinin varlığını tesbit etmiştir.

Birimin Kaleyiği Tepe dolayında kireçtaşı ve marn ardalanması ile temsil olunmaktadır. Marnlar genellikle açık gri, killi sarımsı gri renkli ve ince tabakalıdır. Kumlu kireçtaşları ise kirli renkte, çeşitli kalınlıkta ve kıvrımlıdır.

TUNC (1980), Kaleyiği Tepeden alınan gri renkli kireçtaşlarında;

Lamellibranch kavkı parçaları,

Alg,

Heterostegina,

Halkyardia,

Nummulites,

Rotalia,

Ampholocylus,

Akdeniz Üniversitesi  
Rektörlüğü İmzalıanesi  
Demirbaş No. 4947

Globigerina,  
Actinocyline,  
Operculina,  
Discocylina,  
Cassinoolina,  
Orbitoides,

fosillerini tayin ederek formasyonun yașını Eosen olarak saptanmıştır.

#### 4.2.3.1-Dinar Üyesi ( $TI_d$ )

Isparta Formasyonunun alt kesiminde farklı litolojik özellikler gösteren bir üye ayrıtlanmış olup, Dinar dolaylarında geniş alanlarda yayılım gösterdiği için "Dinar Üyesi" olarak adlanan birim tarafımızdan da aynı isimle anılmaktadır.

Üye, Isparta Formasyonunun alt düzeylerinde düşey ve yanal geçişler göstermektedir. SARIİZ (1982) bu üyeyi, formasyondan litoloji farklılığı ile değil, renk farklıyla ayırmıştır.

Dinar üyesi içinde ince tabakalı, kırmızımsı sarı renkli kumtaşları ve marn ardalanması egemen litolojiyi oluşturmaktadır.

Üye, Keçiborlu-Değirmendere dolaylarında yeşil-sarı renkli marn, kumtaşı, kiltası, siltası istifi şeklinde gözlenmektedir. SARIİZ (1982), kumtaşlarının mikroskopik incelemesinde, kilden oluşan matriks içinde 0.1-0.2 mm. arasında değişen kuvars taneleri ile organizma parçaları (Globigerina, Discocylina) olduğu sonucuna varmıştır.

Üyenin çeşitli yerlerinden alınan kireçtaşı ve marnların ince kesitlerinde oldukça bol mikrofauna bulunmuştur. TUNÇ (1980), kireçtaşı ince kesitlerinde;

Miliolidae,  
Rotalidae,  
Globorotalia,

Globigerina,  
Melobosia,

kumtaşı ince kesitlerinde ise;

Miliolidae,  
Rotalidae,

fosillerini tayin ederek üyenin yaşını Eosen olarak belirlemiştir.

Isparta Formasyonunun çok değişik mikrofasiyesler sunması oluşum ortamının daha alttaki birimlerde olduğu gibi değişik enerjili olduğunu göstermektedir.

#### 4.2.4-İncesu Konglomeraları (Ti)

İncesu Konglomeraları çalışma alanının doğusunda Saraycık ve Pinircik Tepe, kuzeyde Gök Tepe, güneybatıda ise Alasaklı Tepe civarında en iyi şekilde gözlenmektedir.

Isparta Formasyonu üzerinde açılı uyumsuz olarak bulunan konglomeralara GUTNIC en iyi mostra verdiği İncesu köyüne göre "İncesu Konglomaraları" adını verdiğinden bu çalışmada da onun adlaması kullanılmıştır.

Konglomeralar puding olup yuvarlanmış çakıllar veya oval şekillidirler. Çakılların 10 cm. kadar uzunlukları vardır. Kireçtaşı, radyolarit, gört ve serpentinit çakıllarından meydana gelen konglomeraların kalınlıkları 50 cm. - 2 m. arasında değişmektedir. Birimin en kalın görüldüğü Gök Tepe kesiminde kalınlığının 400-450 m. arasında değiştiği gözlenmiştir

GUZZI (1986), bu konglomeraları karasal Neojen'e bağlarken, GUTNIC (1972), bunların;

Lepidocyclina (isolepinina) Mavretonica,  
Lepidocyclina sp.,  
Heterostegina sp.,

Amphistezina,  
Nummulites Intermedius

fosillerini içerdigini belirterek Alt Oligosen yaşında olduğunu belirtmiştir.

Bu kayaçların mikroskobik incelemesinde karbonatlı bir matriks içinde değişik şekil ve boyda kuvars taneleri, radyolarit, serpentinit, gört, oolitli kireçtaşı, dolomitik kireçtaşı ve kumtaşı parçalarının varlığı saptanmıştır.

Birimin litolojik özelliği, oluşum ortamının bir kıyı olduğunu göstermektedir.

#### 4.2.5-Gökçebağ Karmaşığı (Tr-Krg)

Çalışma alanında dünit, serpentinit, gabro, diyorit, diyabaz ile radyolarit, kumtaşı ve kireçtaşı olistolitlerinden oluşan karmaşık birime "Gökçebağ Karmaşığı" adı verilmiştir. Birim en yaygın olarak Gökçebağ köyü çevresinde izlendiği için bu isim verilmiştir. Karmaşık Keçiborlu, Baladız ve Gökçebağ dolayında mostra vermektedir.

Birim, Eosen yaşlı Isparta Formasyonu ve Olgosen yaşlı İncesu Konglomeraları üzerinde tektonik dokanaklıdır. Üstten ise Pliyosen yaşlı Burdur Formasyonu ile uyumsuz olarak örtülmektedir.

Gökçebağ Karmaşığı özellikle Değirmendere civarında Isparta Formasyonu üzerine bindirmiş olarak bulunduğu için allokton bir birlik olarak değerlendirilmiştir.

Karmaşık içindeki kumtaşları ve kireçtaşı olistolitleri ayrı üyeler şeklinde haritalanmıştır.

Dünitler, genellikle çatlaklar boyunca serpentinleşmiş olarak gözlenmektedirler. Açık yeşil renkli olan kayaç ince kristalli, bol çatlaklı, düzensiz kırılma yüzeylidir.

Karmaşık içindeki serpentinitler, çalışma alanında açık ve koyu yeşil rengi, kayma düzlemleri olan şisti yapıları ile tanınmaktadır. Dünit gibi kayaçların kırıkçı deformasyonları sonucu oluşmuşlardır.

Serpantinitler çalışma alanında Kumludere-Kükürtdere kesimlerinde, Kükürt Fabrikası çevresinde yaygın olarak yüzeylenmektedirler. Kuzeybatı kesiminde ise serpentinitler içinde, bunlara çok sıkı bağlanmış durumda kireçtaşı blokları görülmektedir. Kireçtaşları ile serpentinitlerin dokanlığında kıvrılma gibi yapılar görülmektedir. Kireçtaşları serpentinitler içerisinde bloklar şeklinde bulunmaktadır.

#### 4.2.5.1-Keçiborlu Kumtaşı Üyesi (Tr-Krg<sub>K</sub>)

Çalışma alanında Yörükyatağı Tepe ile Kükürt Fabrikası arasındaki kesimde en iyi olarak yüzeylendiği için GUZZİ (1972) tarafından "Keçiborlu Kumtaşı Üyesi" olarak adlandırıldığı için bize aynı isimle tanımlanmıştır.

Kumtaşı üyesi serpentinitler üzerinde bulunmakta olup, tabanda konglomeralarla bağlamakta, üstte doğru ince taneli kumtaşları ile devam etmektedir. Gökçebağ Karmaşığını oluşturan fasyesten, farklı bir fasiyeste oluştugu için ayrı bir üye olarak ayırtlanma gereği hissedilmiştir.

Alt seviyelerinde çoğunlukla serpentinit çakıllarınınoluştugu konglomeralarla başlamaktadır. Çakılların çok olduğu kesimlerde kolayca ufanmaktadır. Üste doğru ise yeşil renkli, ince taneli kumtaşlarına geçiş göstermektedir. Karmaşık içindeki diğer kayaçlarla, Akdağ Olistoliti arasında birleştirici durumda olan kumtaşları üstte doğru kırmızı renkli radyolaritlere geçiş göstermektedir.

Konglomera, kumtaşı radyolaritlerin içinde birimin yaşını belirleyecek organizma bulunmadığı için yaşı karmaşıkla ilişikli olduğundan aynı yaşı olduğu söylenebilmektedir.

#### 4.2.5.2-Akdağ Kireçtaşı Olistoliti (Tr-Krg<sub>a</sub>)

Çalışma alanında Kemer Tepede, Yörük yatağı Tepede ve Akdağ civarında geniş alanda yüzeylenen, masif yapılı, mikrokristalli, açık gri renkli kireçtaşlarına "Akdağ Kireçtaşı" adı verilmiştir. Bu olistolitler serpantinit kütlesi içinde değişen kireçtaşı tepsikleri halindedir.

Kırımlı, kırıkçı, kristalize kireçtaşı olistolitleri çalışma alanının batısına doğru uzanan masif yapılı Akdağ silsilesini oluşturmaktadır. Akdağ kireçtaşının kesin kalınlığını söylemek mümkün olmamakla beraber morfolojik gözlemlere göre 700 m. den fazla kalınlığa sahiptir. İnce taneli olan bu kireçtaşları yer yer kalsit damarları da ihtiva etmektedir.

Silisli pembe kireçtaşlarından alınan numunelerde tespit edilen Involitina sp. ve Alg formları ile yaşı Triyas olarak belirlenmiştir. (GUTNÍC, 1972).

#### 4.2.6-Burdur Formasyonu (T<sub>b</sub>)

Formasyon harita sahasında Keçiborlu'nun Değirmendere ve harita sahası dışında Baladız ve Gökçebağ da mostra vermektedir. Çalışma alanında polijenik konglomeralarla başlayan formasyon üstde doğru kireçtaşı ve marn ardalanmasıyla devam etmektedir.

Gölsel Pliyosen çökellerinden meydana gelen formasyon Gökçebağ Karmaşığı ile Isparta Formasyonu ve İncesu Konglomeralarının oluşturduğu topografya üzerine açısal uyumsuzlukla gelmektedir. Üstten ise Keçiborlu ovasının alüvyonları ile örtülmektedir.

Formasyonun kalınlığı değişiklik göstermekle beraber 100 m. civarındadır. Kireçtaşları boşluklu olup, gevşek yapı sunmaktadır. Marn ise kilce zengin karbonattan oluşmaktadır.

Birimin yaşını saptayacak hiçbir mikro organizma bulunmamakla beraber diğer birimlerle olan ilişkileri nedeniyle Pliyosen olabileceği sanılmaktadır.

Ayrıca bu formasyon içinde farklı litolojik özellik gösteren iki üye daha ayırtlanmıştır.

#### 4.2.6.1-Milas Tüf Üyesi (Tbm)

Çalışma alanının güneydoğusunda gözlenen bu birim bez renkli, ince tabakalı, marn seviyeleriyle ardalanmalı, üstte doğru az çimentolu kumlu, killi, konglomeratik seviyelerle yataklanmış olan tüflerden müteşekkildir. Tüfler en iyi görüldüğü yere isafeten "Milas Tüf Üyesi" olarak adlandırılmıştır.

Bu üyenin egemen litolojisini oluşturan tüfler açık gri-beyaz renkli, boşluklu olup, kireçtaşı ve volkanik kayaç taneleri içermektedirler. Değirmendere kesiminde yüzeylenen tüfler ise genellikle elle parçalanabilir duruma gelmişlerdir. Sarımsı gri renkli, bol çatlaklı ve çatlakları limonitle dolmuş, masif ve kalın tabakalıdır.

#### 4.2.6.2-Gölcük Üyesi (Tbg)

Çalışma alanının güneydoğusunda mostra vermektedir. Lito-loji olarak andezit ve trakit türü volkanik kayaçlardan oluşmaktadır. Keçiborlu yöresinde İrepidere ve Kumludere doğrultusu boyunca tüflerle birlikte izlenmekte olup, uzun bir alanda yer almaları tektonik olaylar sonucu oluşan çatlaklar boyunca yerles-tikleri sonucunu göstermektedir.

#### 4.2.7-Alüvyon (Qal)

Çalışma alanının en genç birimini alüvyon ve taraçalar oluşturmaktadır. Tutturulmamış kil, silt, kum, çakıl ve bloklar-dan oluşmuş olan alüvyonlar Kuvaterner depolanmalarını oluşturmak-tadır.

Ayrıca Burdur Gölünün eski seviyelerine bağlı olmuş tara-ça depoları eski ve yeni birikinti konileri yine en genç oluşuklar içine girmektedir.

#### 4.3-Yapısal Jeoloji

Çeşitli araştırmacıların çalışma konusunu teşkil eden inceleme alanı tektonik yönünden birçok özelliğin bir arada bulunduğu bir görünüm arzetmektedir.

Çalışma alanındaki tüm otokton birimlerin genellikle sıçfliş fasiyesinde olduğu ve daha az volkanizma gösterdiği için Toros tektonik kuşağında Miojeosenkinal zona girmesi muhtemeldir. ÖZGÜNER (1980), çalışma alanındaki birimlerin genel özellikleri bakımından iki tektonik doğrultulu zona ayırmıştır.

1- NW-SE yönlü tektonik doğrultulara sahip Atikan, Prenien, Austrian ve muhtemelen daha eski tektonik fazların etkisinde kalan zon.

2- NE-SW yönlü tektonik doğrultulara sahip, yine aynı fazların tektonik etkenleri yanında Epirogenik yerleşme hareketlerinin daha ziyade hakim olduğu tektonik zon.

Bölgemin yapısal unsurlarının ortaya çıkarılması için bu bölüm;

-Kıvrımlar,

-Eklemler,

-Faylar

alt başlıklarıyla ele alınmıştır.

##### 4.3.1-Kıvrımlar

Çalışma alanında gözlenen birimlerden serpentinitler hariç diğer formasyonların hemen birçoğu tabakalanma göstermektedir. Her formasyon kendi litolojik özelliği içinde ve kaldığı değişik kuvvetlerin etkisinde kıvrımlanma göstermektedir. Kıvrım ekseni genellikle NE-SE doğrultulu olup, birbirine yakın bir paralellik sunmaktadır (ÖZGÜNER, 1980).

Kretase yaşı Söyüdağ kireçtaşı ile Paleosen-Eosen yaşı Koçtepe ve Isparta Formasyonu birlikte kıvrımlanmışlardır. Birimlerdeki plastisite farkından dolayı kıvrımlar aynı özelliği

taşıyamamış, fliş fasiyesindeki birimler dishormonik kıvrımlanma-ya uğramışlardır.

Oligosen yaşılı İncesu Konglomeralarında ise tabaka eğimle-ri çok düzensiz olduğundan muhtemelen kıvrımları asimetriktir. Pliyosen tabakalarında ise eğim görülmekle beraber kıvrımlara rast-lanamamıştır.

#### 4.3.2-Eklemler

Çalışma sahasında mostra veren birimler litolojik ve fizik-sel özelliklerine göre az veya çok eklem sunmaktadır. Bölgede görülen marn, kil, serpentinit gibi plastik kayaçlara nisbetle kireçtaş gibi plastik özelliği olmayan kayaçlar daha çok eklem göstermektedirler.

Gözlenebilen eklemler iki özellik göstermektedir. Bazı eklem sistemleri düzgün, pürtüsüz ve eklem daha devamlıdır. Buna karşılık bazı eklem sistemleri çok pürtülü, eklem boyları daha küçük ve daha az devamlıdır.

Serpantinitlerde gelişmiş en iyi çatlak sistemi;

1- N45E - N45W - N75W

2- N10E - N25W olup bunlar basınç sonucunda oluşmuşlardır.

Akdağ kireçtaşında ise en iyi gelişmiş çatlak sistemi;

1- N55E - N30W

2- N85W - N30E olup bunlarda serpentinitler gibi N-S yönlü basınç kuvvetleri neticesinde oluşmuşlardır (SARIİZ, 1982).

Tarafımızdan Kumludere maden ocağından 30 eklemden alınan doğrultu ve eğimlere ait gül diyagramları Şekil-3, 4, 5'de görülmektedir.

Eklemlerin doğrultu değerlerinden yapılan GÜL diyagramında hakim doğrultu yönünün  $N30^{\circ}$ - $70^{\circ}W$  olduğu, hakim eğim yönünün  $200$ - $220^{\circ}SW$ 'ya ve eğim miktarının  $30^{\circ}$ - $40^{\circ}$  arasında olduğu görülmek-tedir.

taşıyamamış, fliş fasiyesindeki birimler dishormonik kıvrımlanma-ya uğramışlardır.

Oligosen yaşı İncesu Konglomeralarında ise tabaka eğimle-ri çok düzensiz olduğundan muhtemelen kıvrımları asimetriktir. Pliyosen tabakalarında ise eğim görülmekle beraber kıvrımlara rast-lanamamıştır.

#### 4.3.2-Eklemler

Çalışma sahasında mostra veren birimler litolojik ve fizik-sel özelliklerine göre az veya çok eklem sunmaktadır. Bölgede görülen marn, kil, serpentinit gibi plastik kayaçlara nisbetle kireçtaşısı gibi plastik özelliği olmayan kayaçlar daha çok eklem göstermektedirler.

Gözlenebilen eklemler iki özellik göstermektedir. Bazi eklem sistemleri düzgün, pürüzsüz ve eklem daha devamlıdır. Buna karşılık bazı eklem sistemleri çok pürüzlü, eklem boyları daha küçük ve daha az devamlıdır.

Serpantinitlerde gelişmiş en iyi çatlak sistemi;

1- N45E - N45W - N75W

2- N10E - N25W olup bunlar basınç sonucunda oluşmuşlardır.

Akdağ kireçtaşında ise en iyi gelişmiş çatlak sistemi;

1- N55E - N30W

2- N85W - N30E olup bunlarda serpentinitler gibi N-S yönlü basınç kuvvetleri neticesinde oluşmuşlardır (SARIİZ, 1982).

Tarafımızdan Kumludere maden ocağından 30 eklemden alınan doğrultu ve eğimlere ait gül diyagramları Şekil-3, 4, 5'de görülmektedir.

Eklemlerin doğrultu değerlerinden yapılan GÜL diyagramında hakim doğrultu yönünün  $N30^{\circ}$ - $70^{\circ}W$  olduğu, hakim eğim yönünün  $200$ - $220^{\circ}SW$ 'ya ve eğim miktarının  $30^{\circ}$ - $40^{\circ}$  arasında olduğu görülmektedir.

taşıyamamış, fliş fasiyesindeki birimler disharmonik kıvrımlanmaya uğramışlardır.

Oligosen yaşlı İncesu Konglomeralarında ise tabaka eğimleri çok düzensiz olduğundan muhtemelen kıvrımları asimetriktir. Pliyosen tabakalarında ise eğim görülmekle beraber kıvrımlara rastlanamamıştır.

#### 4.3.2-Eklemeler

Çalışma sahasında mostra veren birimler litolojik ve fiziksel özelliklerine göre az veya çok eklem sunmaktadır. Bölgede görülen marn, kil, serpentinit gibi plastik kayaçlara nisbetle kireçtaşısı gibi plastik özelliği olmayan kayaçlar daha çok eklem göstermektedirler.

Gözlenebilen eklemeler iki özellik göstermektedir. Bazı eklem sistemleri düzgün, pürüzsüz ve eklem daha devamlıdır. Buna karşılık bazı eklem sistemleri çok pürüzlü, eklem boyları daha küçük ve daha az devamlıdır.

Serpantinitlerde gelişmiş en iyi çatlak sistemi;

1- N45E - N45W - N75W

2- N10E - N25W olup bunlar basınç sonucunda oluşmuşlardır.

Akdağ kireçtaşında ise en iyi gelişmiş çatlak sistemi;

1- N55E - N30W

2- N85W - N30E olup bunlarda serpentinitler gibi N-S yönlü basınç kuvvetleri neticesinde oluşmuşlardır (SARIİZ, 1982).

Tarafımızdan Kumludere maden ocağından 30 eklemden alınan doğrultu ve eğimlere ait gül diyagramları Şekil-3, 4, 5'de görülmektedir.

Eklemlerin doğrultu değerlerinden yapılan Gül diyagramında hakim doğrultu yönünün  $N30^{\circ}$ - $70^{\circ}W$  olduğu, hakim eğim yönünün  $200$ - $220^{\circ}SW$ 'ya ve eğim miktarının  $30^{\circ}$ - $40^{\circ}$  arasında olduğu görülmektedir.

#### 4.3.3-Faylar

Çalışma alanında farklı özellik gösteren birçok fay saptanmıştır. Faylar yörede jeolojik ve morfolojik belirtilerden ortaya çıkarılmıştır. Bu fayların birçoğu bölgenin bugünkü yapısını kazanmada önemli olduğu gibi bazıları da tali faylardır.

Faylar genellikle N-S, NW-SE, NE-SW doğrultuludurlar.

Faylar;

-Eğim ve doğrultu atımlı faylar,

-Nap ve şaryajlar

olarak ikiye ayırmak mümkündür.

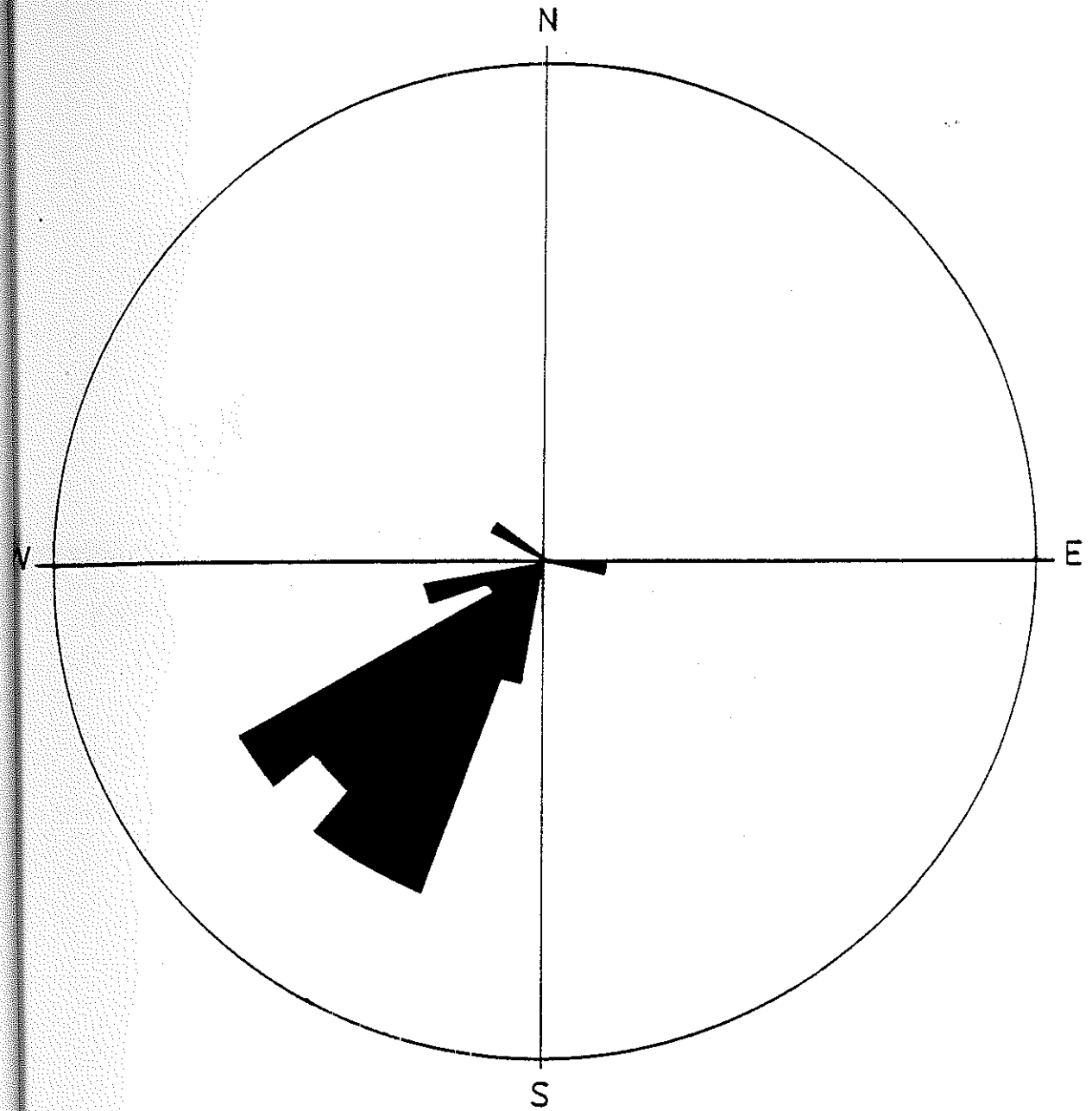
Eğim atımlı faylar, bölgenin yapısını boyuna kesen, birbirine paralel kademeli bir biçimde uzanan faylardır. Bu fayların 15-20 km. boyunca uzandığı ve 200-250 m.lik atıma sahip olduğu daha önceki çalışmalar tarafından saptanmıştır.

Dogrultu atımlı faylar ise Isparta Formasyonu içinde gelişmiş olup, en iyi olarak Yelliyatka Tepe civarında gözlenmektedir.

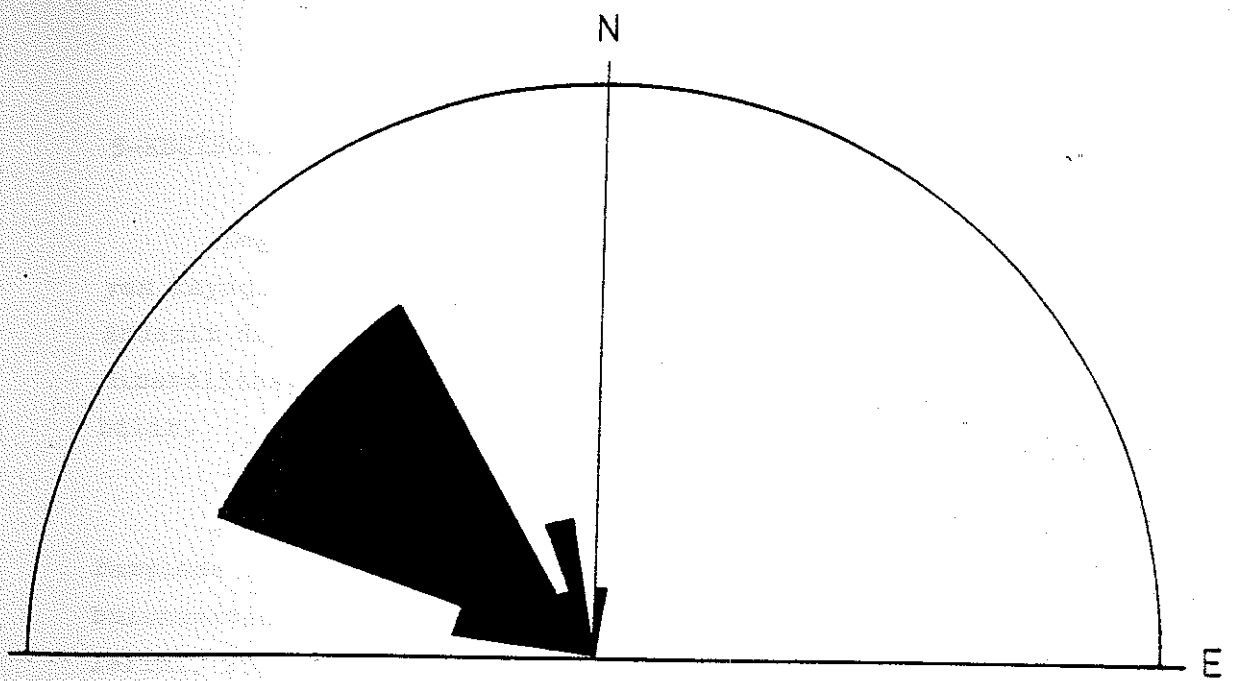
Çalışma alanında işletilmekte olan kükürt cevherinin oluşumuna neden olan NW-SE istikametindeki şaryaj büyük bir öneme sahiptir. Triyas-Jura-Kretase yaşı kireçtaşları daha genç olan Eosen ve Oligosen yaşı birimler üzerine bindirmiştir.

ÖZGÜNER (1980), hareketin SW'dan NE'ya doğru olduğunu, doğuda hareketin daha fazla olduğunu, şaryajın yataya yaklaştığını; kuzeşe doğru ise şaryajın eğiminin daha da arttığını belirtmiştir.

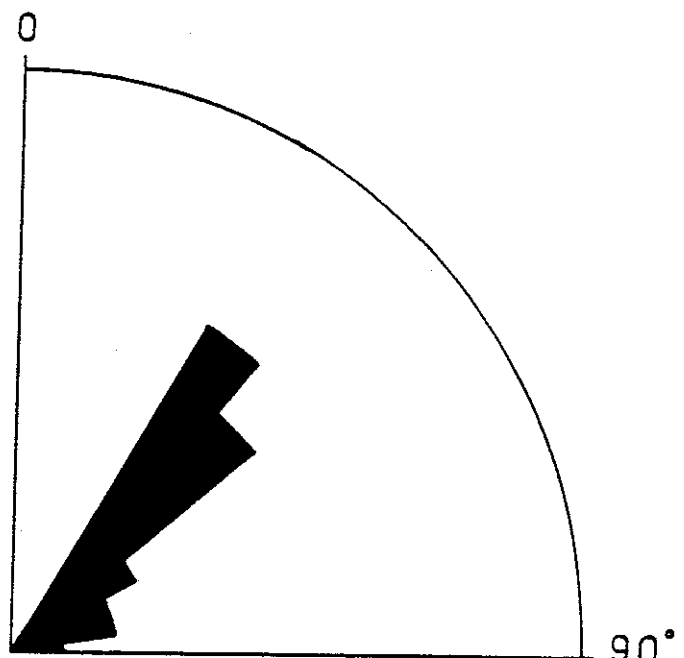
Kükürt cevheri eğimin arttığı kısımlarda bulunmaktadır. Bu şaryaj Kumludere kükürt ocağının Miyosen yaşı konglomeraları księtiği için Miyosenden daha genç, bunun yanında Plio-Kuvaterner yamaç molozlarıyla örtülü olduğu için onlardan daha yaşlıdır.



Keçiborlu-Kumludere ocağına ait eklem  
düzlemleri doğrultu gül diyagramı.



Keçiborlu-Kumludere ocağına ait eklem düzlemleri eğim yönü gül diyagramı.



Keçiborlu-Kumludere ocağına ait eklem düzlemleri eğim miktarı gül diyagramı.

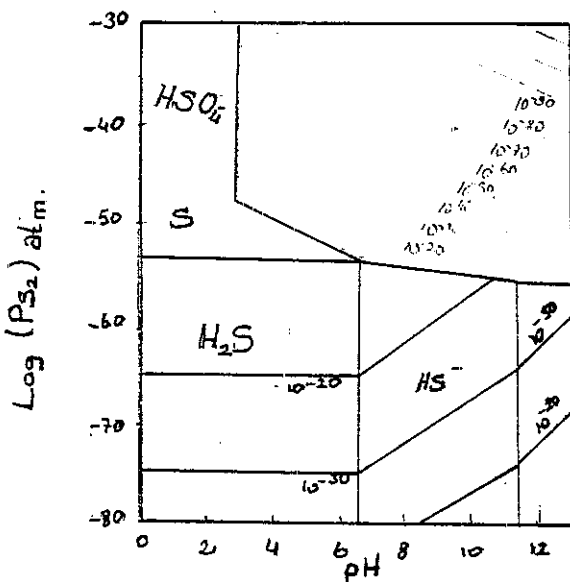
## 5-KEÇİBORLU KÜKÜRT YATAKLARININ OLUŞUMU VE YORUMU

Değirmendere ve Kumladere ocaklarında mineral çökellerinin yan kayaçları serpantinit, kireçtaşı, tuf ve piroksen andezittir. Andezit daykının Pliyosen esnasındaki yerleşimi somucu, cevher mineralizasyonunun muhtemelen Pliyosen sonunda geliştiği söylenebilir.

Mineral çökelleri, yan kayaçta dissemine veya yan kayacı remplase etmiş durumda olup, bazı hallerde tabakalanma şeklinde bulunmaktadır. Aşağıdan yukarıya doğru  $FeS_2$  içeren kükürt çökelerini,  $FeS_2$  çökelleri, Limonit çökelleri takip eder. Bu zonlar tamamıyla birbirinden ayrılmış değildir. Fakat böyle bir sıra izlenebilmektedir.

Yukarıda bahsedilen neticelere dayanılarak dissemineremplasman tipi kükürt'ün mineralizasyon, alterasyon ve  $FeS_2$  cevheri çökelleri arasındaki jenetik ilişkilere aşağıda degeinilecektir.

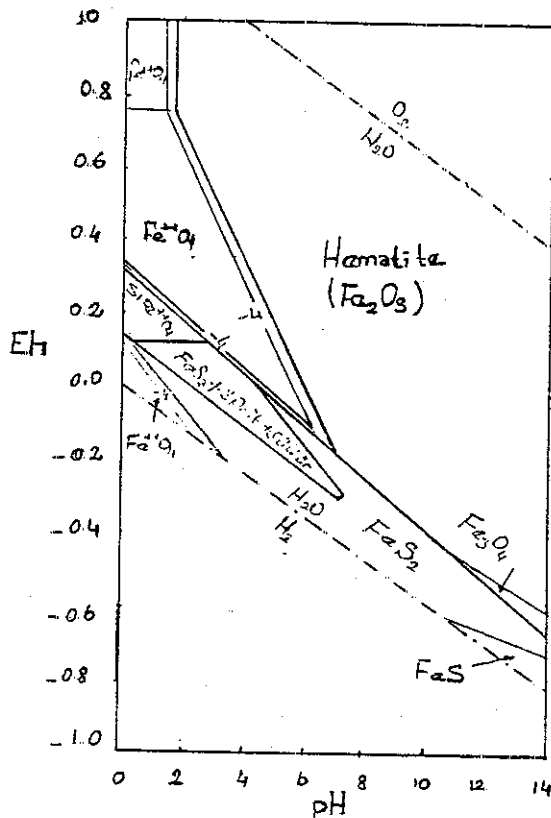
Konsantrik yapılı kükürtün varlığı jel halinde kolloidal bir ortamda ritmik çökelmeyi yansittıkları gibi, aynı zamanda düşük ışığı belirtirler. Kolloidal bir ortamın sağlanmasında yeraltısu tablasının ve kayaçların fiziksel önemini büyük olduğu düşünülebilir. İyon halinin aksiolosyon halinin, uçucu gazların ve sıvı faaliyetlerinin çok bilesenli solüsyonları içinde birbiriyle olan ilişkilerini açıklamak için bu değerlerin diyagramları üzerinde incelenmesi faydalı olabilir. Laboratuvarlarda tanınable 30'dan fazla kükürt içeren türlerin sadece 5 tanesinin sıvı solüsyonlarda denge durumları hakimdir. BARNES, 3, H-S-O dizgesinde  $100^{\circ}C$  ve 0.1 mol toplam kükürt koşullarında nabit kükürtün oluşum alanını gösteren diyagram geliştirmiştir. Bu diyagrama göre, nabit kükürt, kısmi oksijen basıncı  $10^{-45}$  -  $10^{-55}$  arasında asidik özellikte ( $pH: 0 - 6.25$ ) ve kısmi kükürt basıncı ( $10^{-9.4}$ ) olan ortamda çökelmektedir.



Şekil-6:  $100^\circ\text{C}$  de  $S=0.1$  molde,  $P_{S_2}$  ve hakim sıvı türlerinin dağılım diyagramı (BARNES, H.L.3).

GARRELS (4) ise, Fe-S-O dizgesinde  $25^\circ\text{C}$  de kükürtün 0.1 aktivitesinde ve 1 atmosferlik basınç altında demiroksit ve sülfitleri arasındaki stabilité ilişkilerini incelemiştir.  $\text{FeS}_2$  içeren kükürt, asidik özellikte ( $\text{pH}: 0 - 6.5$ ) ve  $Eh$ 'i  $+0.3$  ile  $0.2$  arasında değişen ortamda çökelmektedir.

BARNES ve GARRELS'in geliştirmiş olduğu diyagramlara dayanarak Değirmendere ve Kumludere ocaklarındaki ve  $\text{FeS}_2$  cevherlerinin oluşumuyla ilgili işlemlerin şu şekilde geliştiği söyleyenebilir.  $\text{H}_2\text{S}$ ,  $\text{SO}_2$ ,  $\text{HS}$ ,  $\text{HSx}$  ve benzerlerini içерerek yükselen gazlı solüsyonlar ile primer Fe bileşikleri yeraltısuyu ile kontamine olmuşlardır. Asidik özellikte, kükürt basıncı yüksek olan ve düşük sıcaklıklı ( $100-150^\circ\text{C}$ ) de çözeltiler zamanla esas cevherleşmeyi sağlamıştır. Bilahare, zayıf bazik reaksiyonda ( $\text{pH } 8-9$ ) ve düşük kükürt basıncı özelliklerini taşıyan çözelti içerisinde değişik alterasyonlar sonunda montmorillonit, illit ve klorit mineralleri oluşmuştur. Bu evreden sonra az kükürtlü ve çoğulukla  $\text{CO}_2$  içeren sıcak solüsyonlar İrepdere civarında geniş alana yayılarak serpantinitlerin magnezitleşmesine ve silislesmesine neden olmuştur.



Sekil-7:  $25^{\circ}\text{C}$ , 1 atmosferlik basınç altında ve 0.1 aktivite şartına demiroksit bileşikleri ile sülfitler arasındaki ilişki diyagramı (GARRELS, RM 4).

Limonitin oluşumu ise kükürt ve  $\text{FeS}_2$  cevherinin mineralleşmesinden bir zaman aralığı sonrasıdır. Asit solüsyonda bulunan  $\text{Fe}^{+++}$   $\text{FeS}_2$  cevheri altere zonunda amorf, hidroliza demiroksit şeklinde yerini almıştır. Zaman geçtikçe amorf hidrolize demir oksit, kristal şeklini kuvvetlendirerek götit esas mineral almak üzere römplasman tipte limonit yataklarını oluşturmuştur. Daha sonra demir taşıyan sülfirik asit solüsyonları yeryüzünde limonitleşmeyi sağlamıştır. (Kemertepe) Hidrohemotit ise römplasman tipi limonit yataklarında hakim olarak mevcuttur.

Cevher solüsyonu: Solfatorlarda yükselen bileşimleri asit mineral kaynakları ve kükürt çökelleri ile ilgili çalışmalar devam etmektedir. Japonya'daki Abuta ve Matsua kükürt yataklarında araştırmalarda bulunan TAKEUCHI (5) cevher solüsyonları ile

yeraltısı tablosundaki jenetik ilişkilere şöyle açıklamaktadır.

Gazlı maddeler  $\text{CO}_2$ ,  $\text{H}_2\text{S}$ ,  $\text{SO}_2$ ,  $\text{SO}_3$ ,  $\text{N}_2$ 'den başka  $\text{H}_2\text{O}$  ve  $\text{H}_2\text{SO}_4$ 'de bulunur. Bu maddelere ilaveten sülfatlar ile metalik ve metalik olmayan elementlerde içerirler. Dissemine remplasman tipi S ve  $\text{FeS}_2$  cevherlerini oluşturan orijinal solüsyonlarının  $\text{H}_2\text{O}$ ,  $\text{H}_2\text{SO}_4$ ,  $\text{H}_2\text{S}$  ve  $\text{H}_2\text{SO}_3$ 'ü ana eleman,  $\text{CO}_2$  ve bazı sülfatlar yan eleman olarak bulunur. Bu yükselen gazlı solüsyonlar yeraltısunu ile karıştığı zaman oksitlenir ve konsantre sülfirik asit solüsyonuna dönüşür.

#### 5.1-Mineral Oluşumunun Sıcaklığı

Ana cevher teşekkül sıcaklıklarını şöyle belirttilir. Küktürün oluşum sıcaklığı  $109^{\circ}\text{-}120^{\circ}\text{C}$  arasında olduğu kabul edilmektedir. (TAKEUCHI, 5). Pirit ve markasite  $50\text{-}300^{\circ}\text{C}$  oluşum sıcaklığı verilmiştir. Götitin oluşum sıcaklığı  $130\text{-}170^{\circ}\text{C}$  arasındadır. (TAKEUCHI, 5). Kil mineralleri üzerindeki oluşum sıcaklıklarını geniş aralıkları kapsadığı için kesin bir ifade kullanmayı güçlendirmektedir.

## 6-MÜHENDİSLİK JEOLJİSİ

Bu çalışmanın amacı, Keçiborlu ve yöresinde hakim olan kayaçların jeoteknik özelliklerinin saptanması ve Keçiborlu dolayındaki Kumludere ve Değirmendere ocaklarında mevcut kayaçların sınıflaması, yapılan sınıflama sonucunda da gerekli destekleme önlemlerinin tesbitidir.

Çalışma Keçiborlu dolayındaki iki ocakta sürdürülmiş olup, bu bölümde:

- Kayaçların jeoteknik özelliklerinin incelenmesi,
- Kayaçların mekanik özelliklerinin deneylerle tespiti,
- Jeoteknik ve mekanik özellikleri açısından kayaçların sınıflaması,
- Uzun süreli uygulamaları için gerekli destekleme önlemlerinin belirtilmesi,

başlıklarıyla sunulmuştur.

Kumludere ve Değirmendere maden ocaklarında yapılan jeolojik çalışmalar sonucu kayaçlardaki süreksizlik düzlemleri, bunların doğrultu ve eğimleri, bu süreksizlik düzlemlerinin durumu ortaya konulmaya çalışılmıştır.

Galerilerden alınan karot ve el numuneleri üzerinde kayacın mühendislik özelliklerini tanımlamak amacıyla, "Tek Eksenli Basınç Deneyi, Endirek Çekme Deneyi" yapılarak kayaçların basınç deformasyon özellikleri tespit edilmeye çalışılmıştır. Schmidt Çekici ile yapılan deneyde yine galerilerden alınan örneklerin darbe dayanımları ortaya konulmuştur. Mevcut kayaçların Sonometre ile sismik hızları ölçülecek ayrı bir sınıflamaya tabi tutulmuştur.

Numunelerin tespit edilen mekanik özelliklerinden hareketle Değirmendere ve Kumludere maden ocaklarındaki kayaçlar "Bieniański, Barton ve RSR Parametrelerine göre sınıflandırılarak, ocakları için gerekli destekleme önlemleri tespit edilmiştir.

## 6.1-Yöredeki Kayaçların Jeoteknik Özellikleri

Çalışma alanında mostra veren kayaçların jeoteknik özellikleri, farklı iki ocakta yapılan çalışmalar sonucu ortaya konulmaya çalışılmıştır. Bu ocaklar;

- Değirmendere Maden Ocağı
- Kumludere Maden Ocağıdır.

### 6.1.1-Degirmendere Maden Ocağı

Degirmendere ocağı, Keçiborlu ilçesinin 2-2.5 km. NE.sundaki Degirmendere mevkiiinde yer almaktadır. Ocak ilçeye stabilize yollarla bağlıdır.

Degirmendere ocağı NW-SE yönlü 200 m. uzunluğunda ve 100 m. genişliğindeki bir alan içerisinde yer almaktadır. Çeşitli yönlerde sapmalar gösteren değişik derinliklerde açılmış olan galeriler 2.5 m. yüksekliğinde ve 2 m. genişliğindedir. Burada cevher düzensiz yataklanmalar sunmaktadır. Ocakta cevher kütlesi, ocaklara ait Yeraltı Jeolojisi Haritalarında (Ek-2,3) görüldüğü gibi 20 m. mesafeli, yatay katlara ayrılmış, aralarında abataj katları şeklinde aşağıdan yukarıya doğru alınmaktadır. Alınan cevher kütlesinin yerine dolgu malzemesi doldurularak bir üst kat için taban oluşturulmaktadır. Ocaktaki kazı işleri; kazma, motopikör, bazande dinamitle yapılmaktadır. Personelin ocağa indirilip çıkartılması ve cevherin ihracı asansörle olmaktadır.

Degirmendere ocağı Ek-2'deki Yeraltı Jeoloji Haritasında görüldüğü gibi başlıca üç litolojik birim içinde açılmıştır. Bunlar;

- Serpantinit
- Kil
- Kireçtaşıdır.

Ocak içinde seçilen iki farklı güzergah boyunca bu üç birimin, birbirleriyle daima bir gırıkkılık gösterdikleri tesbit edilmiştir. Ocak içinde çeşitli seviyelerden olan yeraltısı suyu gelişimi bu birimlerin ayrılmasını ve incelenmesini daha da zorlaştmaktadır.

Serpantinitler: Yüzeyde cevherleşme alanının doğusunda bulunan bu birim, cevher sahasının tabanını oluşturmaktadır. Siyah renkli, konkoidal kırılma şekilli ve volkanik cam görüntüüsüne sahiptirler. Serpentinitler bazen masif olup, bazende tektonik dokanakları izleyerek şisti görünüm kazanmışlardır.

Cesitli sebeplerle değişikliğe uğrayan serpentinitlerde doku değişikliği görülmekle birlikte düzensiz çatlakları boyunca ikincil küükürt gelişimleri de söz konusu olmaktadır.

Killer: Bazı kesimlerde alterasyona maruz kalan serpentinitlerin kil minerallerini oluşturuğu gözlenmektedir. İkincil küükürt gelişiminin söz konusu olduğu bu çatlakların bazende piritle doldurulmuş olduğu görülmektedir.

Ocak içinde varlığı serpentinitlerin alterasyonu ile açıklanabilen killer su alıp şişerek yer yer göçüklerne neden oldukları halde, hava ile temasta bünyelerindeki bu suyu kaybettikleri ve daha sağlam göründükleri de söz konusudur. Yapılan mikroskopik çalışmalar sonucu SARIİZ (1982), bu kil minerallerinin Klorit, Montmorillonit, Illit olduğunu tesbit etmiştir.

Sözü edilen kil minerallerinden Montmorillonit ve Klorit bilindiği gibi molekülleri arasındaki bağın zayıf olması nedeniyle, su kafes yapılarına kolayca girerek şişmeye yol açmaktadır. Ocak içerisinde de aynı durum söz konusu olduğundan, ağaç tahlimatlara zarar vermiş ve çalışmaları aksatmıştır.

Değirmendere maden ocağındaki kil minerallerini makroskopik olarak yeşil ve siyah kil olarak tanımlamak mümkündür.

Yeşil kil olarak tanımlanan litoloji dış görünüm itibariyle serpentinite çok benzemektedir. Zaten serpentinitin alterasyonu sonucu oluşan bu kil ocak içerisinde hakim durumdadır. Siyah ve boz renkli olan kil ise diğer kayaçlarda karışmış ve ezilmiş durumdadır. Çok kez bu iki kil türü birbirinden ayrılamamaktadır.

Kireçtaşları: Değirmendere maden ocağında izlenen kireçtaşları ince taneli, gri renkli, masif yapılidirler. Bunların en

önemli Özelliği serpantinitler içinde bloklar veya mercekler hâlinde yer almalarıdır. Kireçtaşları yeraltısuyunun gelişimine ve cevher gelişimine bağlı olarak fazlaca parçalanmış ve ufanmışlardır. Özellikle kil ve serpantinitlerde olan dokanaklarında oldukça yumuşak ve elle ufanabilir bir nitelik kazanmışlardır. Kireçtaşlarında cevherin oluşumuna bağlı olarak çeşitli değişimler meydene geldiği buhun sonucunda da dolomitleşme, silisleşme ve limonitleşme gösterdikleri görülmüştür.

Ek-2'deki Yeraltı Jeoloji Haritasında görüldüğü gibi Değirmendere maden ocağındaki kayaçların tanımlanması için farklı iki güzergah seçilmiştir. Bunlardan biri 875 katında Dündar Kuyusundan başlayan güzergah olup, 875 Ana yolundan başladığı takdirde ilk 30 m.lik kısmın siyah kilde açılmıştır. Bu birim yukarıdada bahsedildiği gibi ocak içinde siyah ve boz rengeyle kolayca tanınmaktadır. Suyla temasta olduğu için fazlaca yumuşamış olup, insan elinde cırufumsu bir tanı vermektedir. İleri derecede alterasyona maruz kaldığı ve su ile temasta şişme gösterdiği için yapılan ağaç tıhkimatlarda hasara neden olmaktadır. İkinci 30 m.lik kısmında ise beton kaplama izlenmektedir. Daima çalışma yeri olan, çıkartılan kükürtün ihracı, tali bacaların geçisi bu yerden yapıldığı için bu kısım diğer yerlerden farklı olarak beton kaplama ile geçilmiştir. Beton kaplamanın hemen akabindeki yaklaşık 50 m.lik kısım ise yani 890 Kelebesine kadar olan bölüm yine siyah kilde geçmiş olup, bu birim arasında yer yer kireçtaşı blokları saptanmıştır. Bu blokların büyüklükleri içe doğru dalmaları görülemediğinden tesbit edilememektedir. Kireçtaşları kille olan dokanaklarında ezilmiş bir görtüm sunmaktadırlar. Zaten kükürt cevherinin NW-SE yönlü bir şaryaj zonunu takip etmesi ve bu zonu oluşturan fayların iki birim arasında dokanlığı oluşturması kireçtaşının doğal olarak zayıflığını göstermektedir.

Değirmendere maden ocağındaki ikinci güzergahımız ise Yeni Nefeslik kuyusundan başlamaktadır. 890 katında başlayan bu güzergah siyah kil üzerinde başlamış olup, aynı özelliklerini göstermektedir. 890 Kelebesinden itibaren yaklaşık 32.5 m.lik kısım siyah kil içerisinde devam etmektedir. Siyah kılın bitiminde yaklaşık 15-20 m.lik kısım henüz bir baca açılmamış olmasına rağmen muhtelemen cevher sınırını göstermektedir. Geçilen cevher sınırlarından

sonra ise 15 m.lik kısımda ise cevhere esas olarak taban görevi yapan yeşil kil izlenmektedir. Serpantinitin alterasyonu ile oluşan bu birim tipik olarak serpantinitle aynı özelliği sunmaktadır. Yeşil rengi sabunumsu görünümü ve kayganlığı ile bu birim içindeki kireçtaşı bloklarına ev sahipliği yapmaktadır.

Sert, kristalize, açık gri rengi ile bu birim ocak içerisinde tek sağlam olan birimdir. Çok fazla çatlaklı olmayan bu birimde karstlaşma görülmektedir. Buna karşılık yukarıda sözü edilen kireçtaşlarının sağlamlığını az olması, bünyelerine su almaları, orta derecede karstlaşmaya sahip olduklarını göstermektedir. Bu kireçtaşı içinde yaklaşık 20 m. kadar ilerleyen güzergahımız 12.5 m. kadar daha yeşil kilde devam edip, daha sonra esas cevhere ve kapatılan bacalara doğru ilerlemektedir.

#### 6.1.2-Kumludere Maden Ocağı

Kumludere maden ocağı Keçiborlu ilgesinin 2 km. kuzeyinde, Kumludere mevkiinde yer almaktadır. Ocak ilçeye ve işletme teşislerine asvalt ve stabilize yollarla bağlıdır.

Ocak önceleri 200x500 m. genişliğinde açık işletme halinde iken daha sonra yeraltı işletmesi halini almıştır. Cevher düzensiz yataklanma da, yığınlar şeklindedir. Burada da cevher kütlesi Ek-3'deki Jeoloji Haritasında görüleceği üzere Değirmendere ocağındaki benzer olarak 20 m. mesafeli katlara ayrılmış, aralarında abataj katları şeklinde aşağıdan yukarıya doğru üretim yapılmaktadır. Alınan cevher yerine de dolgu malzemesi doldurularak, diğer kat için taban oluşturulmaktadır. Ocaktaki kazı işleri yine Değirmenderedekinin aynı olup, kazma, motorpikör, dinamitle gerçekleştirilmektedir. Ulaşım işlemi ve cevherin ihracı ise asansörle sağlanmaktadır.

Kumludere maden ocağı Ek-4'deki Yeraltı Jeoloji Haritasında görüldüğü kadarıyla başlıca;

Siyah kil,

Yeşil kil (serpentin),

Tüf,

Kireçtaşı içinde açılmıştır.

Killer: Kumludere maden ocağındaki killeri iki ayrı renkte görmekteyiz. Cevhersiz kesimde yeşil ve siyah renkleriyle hemen tanınmaktadırlar. Esas itibariyle Değirmendere ocağındakilerle aynı özelliklerini göstermektedirler. Burada da killerin varlığı serpantinitlerin alterasyonu ile açıklanabilemektedir. Serpantinitlerin düzensiz çatlaklara sahip oldukları ve bu çatlakları boyunca kükürt gelişiminin söz konusu olduğu görülmektedir. Ayrıca yine bu özellikleriyle de alacalı bir görünüşe sahip olmaktadırlar. Serpantinitlerin ayrışmasıyla oluşan bu kil mineralerinin; Klorit, Montmorillonit, İllit olduğunu SARIİZ (1982) ortaya koymuştur. Değirmendere ocağına nazaran daha az su gelişimi söz konusu olduğundan kil mineralleri de o ocağa nazaran daha az zararlı olmaktadırlar.

Tüf: Bu litoloji ocakta siyah rengiyle hemen göze çarpmaktadır. Tüfler içinde nadiren kuvars taneleri ve kayaca siyah rengi veren kömürümsü malzeme ile pirit minerallerini de görmek mümkündür. Tüflerin boşluk ve gözeneklerinde tamamen kükürt bulunmaktadır. Ayrıca ileri derecede alterasyona maruz kaldıkları dumrularda kil minerallerine dönüştüğü de tesbit edilmiştir.

Kireçtaşısı: Değirmendere ocağındaki gibi bu ocakta da kireçtaşları serpantinitler içerisinde irili-ufaklı bloklar halinde olup, biraz daha fazla varlığa sahiptirler. Ocak içerisinde bazı katlarda biraz değişiklik sunmakla beraber bazı kesimlerde serpantinitle kireçtaşının dokanağında kil bir zon görülmektedir. Ancak bütün bunlara rağmen kireçtaşlarının merkezine doğru yapısında ve dokusunda değişiklik gözlenmektedir.

Griden, açık kahve aralığına kadar değişen renkleriyle genellikle masif bir yapı sunmaktadırlar. Faylar tarafından kesilmiş ve parçalanmış olduklarıdan kireçtaşları üzerinde süreksizlik düzlemlerini izlemek mümkündür. Kireçtaşları ile serpantinitlerin dokanağı tektonik olduğundan çok sayıda kompleks kayaç türünün oluşumuna neden olmuştur. Bazen kireçtaşlarının yüzeysel alterasyonlar sonucu demiroksit iktiva ettikleri de gözlenmektedir. Bazen de kireçtaşlarında kükürtleşme olmadığı gibi ortamdaki asitten dolayı yer yer erime ve çözünme boşluklarında bulunmaktadır. Fakat bu süreksizliklerin varlığı galeri içinde duraylılığının sağlanmasında

doğrudan etkili olmamaktadır.

Kumludere maden ocağında yapılan çalışmalar sonucu Ek-4'de görülen Yeraltı Jeoloji Haritası çıkarılarak etkili olan süreksızlıklerin varlığı saptanmaya çalışılmıştır. Bu çalışma da izelenen güzergah boyunca tesbit edilen özellikler aşağıda sunulmuştur.

1024 kotlu Ana Yol Galerisi, serpentin ve kristalize kireçtaşlı içinde açılmış olup, 300 m. uzunluğunda ve NE-SW istikametinde dir. Girişten 55 m.lik mesafe, koyu yeşilden-koyu kahveye kadar renk gösteren sağlam yapılı, fakat çok sayıda çatlak sistemine sahip olan yer yer bu çatlakların kalsit dolgulu olduğu serpentin içindedir. Çatlak konumları  $N40^{\circ}-60^{\circ}W$  -  $30^{\circ}-40^{\circ}SW$  şeklindedir. Beton tahlimat olmasına rağmen bu bölümde tahlimatsız olarak da çalışmak mümkündür. Çatlak sistemlerinin iyi gelişmesine rağmen bu birim içinde faylar etkin değildir.

55-75 m.ler arası derecede ayrılmış ve kayaç üzerinde yapraklanma belirginleşmiştir. Burada yapraklanma fayların konumları ile uyum gösterdiği için faylanma sonucu oluşturukları söylenebilir. Bu kesimlerinde de özellikle faylı kesimler ve yakınlarında killeşme görülmektedir. Fayların milonit zonları 0.5-1 m. arasında değişmektedir. Serpentinleşmiş bu kesim sürekli bozusmalarдан, ayırmalardan oluşan sıvı haldeki akıntılarla belirgindir.

75-157 m.ler arası koyu yeşil renkli serpantinitten ibarettir. Sağlam ve sert olmasına rağmen, çatlak sistemleride iyi gelişmiştir. Çatlaklar arası mesafeler 50-70 cm. arasında değişmekte olup, yer yer kalsit dolguludur. Çatlak yüzeyleri genellikle pürüzlü bir görünüm sunmaktadır. Bu bölümde çatlak konumları fayların doğrultu ve eğimleriyle uyumluluk göstermektedir. Konumları harita üzerinde görüldüğü gibi çalışma zorlukları nedeniyle ancak birkaç tanesi için tesbit edilebilmiştir.

157-190 m.ler arası kristalize kireçtaşlı içinde geçilmişdir. Bu birimin büyük bölümü fazla tektonizma sonucu kırıkçı ve çatlaklı bir yapı kazanmıştır. Bu özelliği en iyi olarak serpantitle olan dokanağındaki zayıflık zonunda izlenebilmektedir. Yer yer ise sağlam yapılı, kahverengimsi beyaz renkli blokları

görmekte mümkündür. NW-SE,  $38^{\circ}$  SW dalımlı etkin bir fayla serpantinle dokanak oluşturmaktadır.

190-215 m.ler arası yeşil serpantin olup, belirgin yapraklılanmaya sahiptir. Bu kesimdede süreksizlikler aynı yönde gelişmiştir. Sağlam olmayıp, bir takım çatlak sistemlerine sahiptir. Az da olsa yeraltısu gelişiminden etkilendiği için kile dönüşüm izlenebilirse de tam ayırımı yapılamamaktadır.

215-260 m.ler arası serpantin içinde geçilmiştir, fakat tali bacalara geçiş yeni olduğu için beton tahlimatla geçilmiştir.

260-300 m.ler arasında kireçtaşı görülmektedir. Bunun serpantinle olan dokanlığı ise  $40^{\circ}$  eğimli bir faydır. Bu fayda kendinden daha genç olan ve  $85^{\circ}$  eğime sahip bir fayla kesilmiştir. Genç fayın öbür yüzünde ise serpantinit gözlenmektedir. Burada görülen kireçtaşı koyu kahve, sütlü kahve ve beyaz renkli olup, orta derecede sağlam yapılidir. Burdan sonra ise yine içinde piritli bir zonun varlığının tesbit edildiği serpantin ve kıl karışımı bir birim geçilmektedir.

Sonuç olarak, mühendilik açısından bakıldığı zaman Kumludere maden ocağı fayları ve çatlakları dik olarak kesmektedir. Bilindiği gibi bu eklemlerin, galeri genişliği, patlayıcı faktörü, aşırı sökme, kazılan duvar ve tavanın şekli ve kaya bloklarının aralıkları üzerine bazı etkileri vardır. Bir eklem takımının hakim olması ve özellikle eklem yüzeylerinin ayrılmış ve zayıflamış olması halinde doğrultu önem kazanmaktadır. Eğer galeri düşey ya da düşeye yakın bir zayıflık düzlemine paralel ya da verev gitmesi haliinde yan duvarlarda dökülme ve aşırı sökme görülecektir. Fazla eğimli iki eksenin kesişmesi sonucunda ise tavanda büyük kamalanmalar gelişecektir. Bu kamalar zayıflayarak aniden düşebilir ya da iksanın bozulmasına neden olabilir. Kumludere maden ocağında böyle zayıflık zonları dik olarak kesildiği için daha az bir etkisi görülecektir.

## 6.2-Kayaçların Fiziksel ve Mekanik Özelliklerinin Deneylerle Tesbiti

Çeşitli mühendislik işlerinde ve kazılarda, baraj, tünel, yeraltı santralları, köprü ayakları gibi büyük yapıların projelendirilmesinde ve stabilité hesaplarının yapılmasında temelin ve kullanılacak malzemenin fiziksel ve mekanik özelliklerinin saptanması, çeşitli kuvvetler karşısında doğacak deformasyonların bilinmesi zorunludur.

Kayaçlar üzerinde laboratuvarlarda yapılacak deneylerden elde edilecek değerler her zaman için güvenilir olmamaktadır. Bu nedenle son yıllarda yapılan büyük mühendislik yapıları için kayaçların fiziksel ve mekanik özelliklerinin zaman ve ortam göz önünde tutularak 4 boyutlu olarak araştırılması zorunluluğunu ortaya koymuştur.

İste bu çalışmada da Keçiborlu Küükürt İşletme galerilerindeki kayaçların mühendislik özelliklerinin ortaya konulabilmesi için bir takım laboratuvar deneyleri yapılmıştır. Bu deneyler, kayaçların direnç özelliklerinin tespiti için yapılan tek eksenli basınç direnci ve endirekt çekme direnci, darbe dayanımlarının belirlenmesi için Schmidth Çekici ile dayanım testi ve Sonometre ile sismik hızlarının ortaya konulmasından ibarettir.

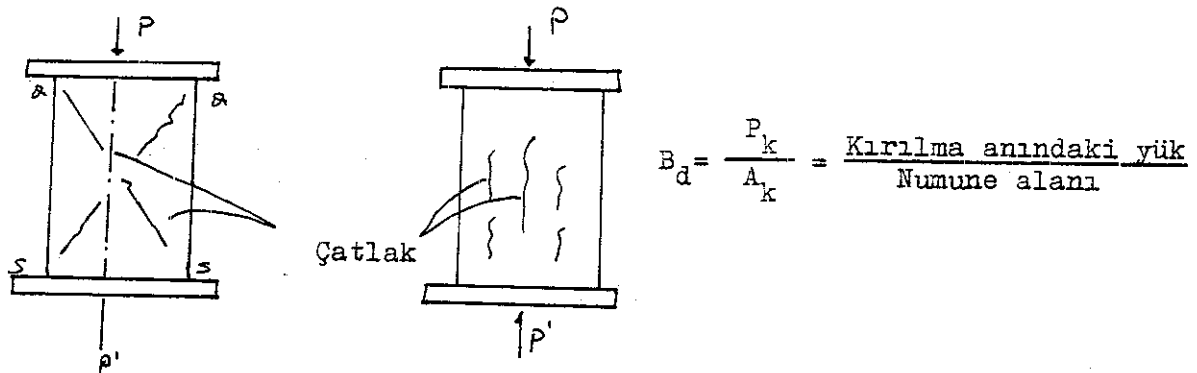
### 6.2.1-Kayaçların Direnç Özellikleri

Kayaçların çeşitli kuvvetlerin etkisi altında şekil ve hacim değiştirmeleri genelde dört tür gerilme etkisiyle oluşmaktadır. Bunlar; Basınç Gerilmesi, Çekme Gerilmesi, Kesme-Kayma Gerilmesi ve Burulma Gerilmesidir.

Burada Değirmendere ve Kumludere maden ocaklarından alınan kayaç örneklerinin Tek eksenli basınç mukavemetleri ve Endirekt çekme mukavemetleri tesbit edilmiştir.

### 6.21.1-Tek Eksenli Basınç Direnci

Tek eksenli basınç; numunenin yalnız tek yönlü basınç kuvveti altında kırılmadan önce karışıkoyabileceği gerilmedir. Pratikte ise kayacın zayıfladığı gerilme değeri Tek eksenli basınç dayanımı olarak kabul edilmektedir. Kayaçların tek eksenli basınç mukavemeti silindirik veya prizmatik numunenin basınç makinasında kırılıncaya kadar yüklenmesiyle elde edilir. Gevrek malzelerde bu olay numune alanında değişme olmadan meydana geldiği halde, gevrek olmayan malzemede şekil değişikliği göstermektedir. Kırılma yükü altında kayma çatlakları meydana geldiği anda deney altındaki numunenin kesit alanı büyür. Bu nedenle bu tür kayaçlarda tek eksenli basınç direnci kırılma yükünün, kırılma anındaki alana oranı olarak tanımlanır.



Aşırı basınç gerilmesinde kayma yüzeyinden kırılan kayanın mukavemetinin temel elemanları; Kohezyon ve İçsel sürtünme açısındandır. Kohezyon ( $c$ ): Kayanın, kayma yüzeyinde normal gerilme olmadığı zaman kayma gerilmesine karşı olan direncidir. Kohezyon kuvveti, mineral tanelerinin moleküller arasındaki çekimden meydana gelir. İçsel sürtünme ise; tanenin tane yüzeyindeki sürtünme direncidir. Taneler kenetlenince direnç artar.

Laboratuvar deneyleri için en uygun numune araştırma sondajlarından veya kaya bloklarından kesilerek elde edilen silindirik veya prizmatik numunelerdir. Basınç deneyi için hazırlanan numunede uzunluğun, çapa oranı ( $L/D$ ) iki olmalıdır. Numune kesilirken mümkün olduğu kadar yükleme düzlemlerinin paralel olmasına dikkat edilir. Numunenin alt ve üst yüzeyleri ile bunların temas halinde oldukları platformlar arasındaki sürtünme dayanımları kaya numunesinin serbestçe kırılmasını önler. Bu nedenle bu yüzey-

lerin parlatılmasında yarar vardır. Alt ve üst yüzeylerin paralel olmayacağı ise eksenel yükleme ile deformasyona neden olur. Sonuçta numune kırılır.

Tek eksenli basınç deneyi yurdumuzda 7x7x7 cm. boyutlu küp numunelerde uygulanmakta olup en iyi sonuç ise NX(2 1/8 inc) boyutundaki silindirik numunelerde alınmaktadır. Basınç direnci ise  $\text{kg/cm}^2$  veya  $\text{N/cm}^2$  olarak ifade edilir.

Yukarıdaki bilgilerin ışığı altında Değirmendere ve Kumludere maden ocaklarından alınan kaya numuneleri üzerinde uygulanan Tek Eksenli Basınç Deneyi sonuçları aşağıdaki gibidir.

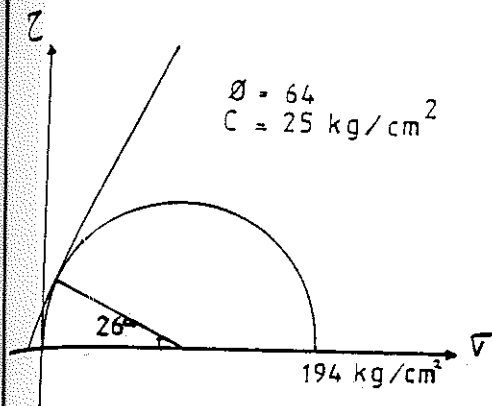
DEĞİRMENDERE: Numune No:6

Numune ağırlığı : 88 gr.  
Hacmi :  $35 \text{ cm}^3$ .  
Yoğunluk :  $2.51 \text{ gr/cm}^3$ .  
Prizmatik numune :  $4.2 \times 4.6 \text{ cm} = 19.32 \text{ cm}^2$ .  
Numune boyu : 6.5 cm.  
Kırılma değeri : 3750 kg.  
Kırılma açısı Q :  $13^\circ$   
 $\Gamma = P/A = 3750/19.32 = 184.09 \text{ kg/cm}^2$ .

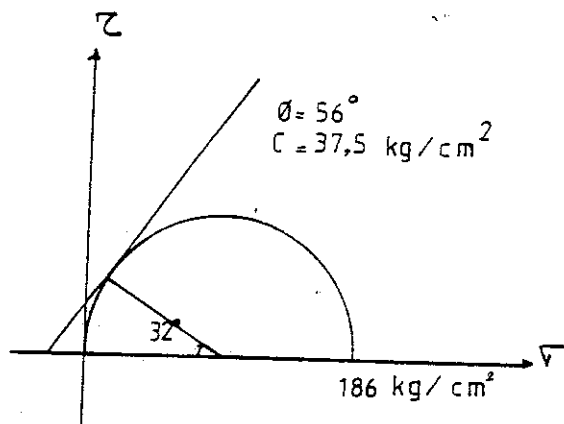
KUMLUDERE: 1024 Arayol

Numune ağırlığı : 222 gr.  
Hacmi :  $80 \text{ cm}^2$ .  
Yoğunluğu :  $2.77 \text{ gr/cm}^3$ .  
Prizmatik Numune :  $2.5 \times 3 = 7.5 \text{ cm}^2$ .  
Numune boyu : 6 cm.  
Kırılma değeri : 1400 kg.  
Kırılma açısı :  $16^\circ$   
 $\Gamma = P/A = 1400/7.5 = 186.6 \text{ kg/cm}^2$ .

DEĞİRMENDERE :



KUMLUdere :

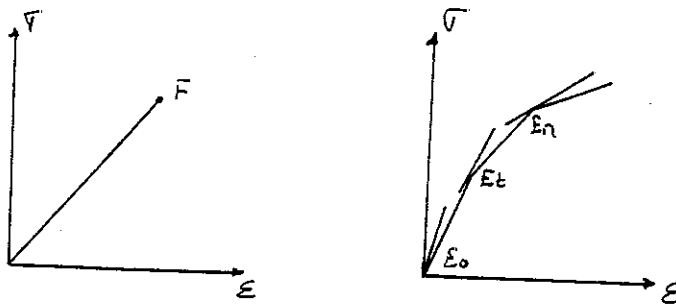


Şekil-8: Tek eksenli basınç deneyi sonucu oluşan mohr daireleri.

#### 6.2.1.2-Kayaçların Tek Eksenli Basınç Deneyinde Gösterdikleri Gerilme - Deformasyon Özellikleri

Kayaçların mekanik özelliklerinin incelenmesinde en çok kullanılan yöntem bir silindirin eksenel olarak sıkıştırılmasıdır. Silindire herhangi bir gerilme uygulanır, eksenel ve yanal deformasyonlar ya silindirin çevresine tutturulmuş deformasyon ölçerlerle (Strain gauge) veya yer değiştirmeye ölçerleriyle elde edilir. Gerilme değerlerine karşılık gelen deformasyon değerleri çizilirse, gerilme-deformasyon eğrisi elde edilir. Hemen bütün kayalar için Gerilme-Deformasyon eğrisi Şekil-9'da görüldüğü gibidir. Yaklaşık Lineerdır ve F noktasında aniden kırılır. Gerilme ile deformasyon arasındaki ilişki  $V = E.\varepsilon$  şeklinde tanımlanır. E sabitine Young Modülü veya Elastisite Modülü denir.

Test yapılan numuneye yavaş yavaş artırılarak uygulanan gerilmeye yükleme, gerilmenin azaltılmasına da boşaltma denir. Bir malzeme önce yüklenir sonra boşaltılırsa tam elastisite eşitlikle verilir.



Kumludere ve Degirmendere maden ocaklarına ait numuneler üzerinde yapılan Tek Eksenli Basınç Deneyi sonucundaki Gerilme-Deformasyon ilişkileri şöyledir.

DEĞİRMENDERE:

Numune boyu : 77 mm.  
 Numune çapı : 5.3 cm.  
 Başlangıç değeri : 16  
 (Kompratör % 1 lik)  
 Alan :  $22.05 \text{ cm}^2$ .

$$\sigma = \frac{P}{A} = \frac{P}{\pi R^2 / 4}$$

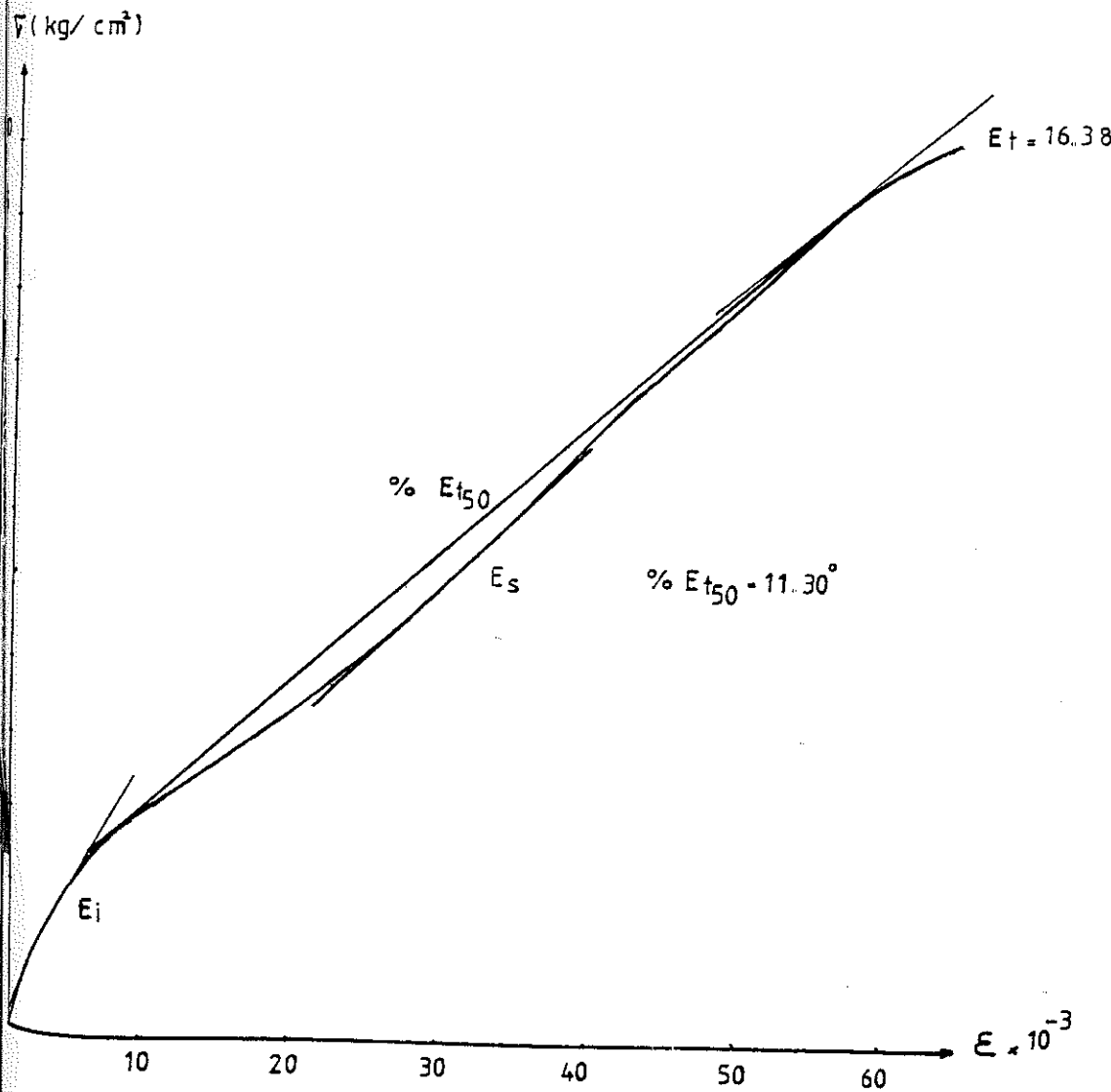
| <u>P(kg)</u> | <u><math>\sigma</math> (kg/cm<sup>2</sup>)</u> | <u><math>\Delta L</math> (mm.)</u>     |
|--------------|--|--|
| 500 .....    | 22.67  | ..... 435                              |
| 1000 .....   | 45.35  | ..... $440-435 = 0.05 = \Delta L_1$    |
| 1500 .....   | 68.02  | ..... $490-435 = 0.55 = \Delta L_2$    |
| 2000 .....   | 90.70  | ..... $570-435 = 1.35 = \Delta L_3$    |
| 2500 .....   | 113.37   | ..... $630-435 = 1.95 = \Delta L_4$    |
| 3000 .....   | 136.0  | ..... $640-435 = 2.05 = \Delta L_5$    |
| 3500 .....   | 158.73   | ..... $660-435 = 2.25 = \Delta L_6$    |
| 4000 .....   | 181.40   | ..... $700-435 = 2.65 = \Delta L_7$    |
| 4500 .....   | 204.28   | ..... $740-435 = 3.05 = \Delta L_8$    |
| 5000 .....   | 226.75   | ..... $800-435 = 3.65 = \Delta L_9$    |
| 5500 .....   | 249.43   | ..... $830-435 = 3.95 = \Delta L_{10}$ |
| 6000 .....   | 272.10   | ..... $850-435 = 4.15 = \Delta L_{11}$ |
| 6500 .....   | 294.78   | ..... $910-435 = 4.75 = \Delta L_{12}$ |

Kırılma değeri : 6800 kg.

Kırılma açısı :  $13^\circ$

$$\varepsilon = \Delta L/L$$

$$\begin{aligned}\varepsilon_1 &= 0.649 \times 10^{-3} \\ \varepsilon_2 &= 7.14 \times 10^{-3} \\ \varepsilon_3 &= 10 \times 10^{-3} \\ \varepsilon_4 &= 20 \times 10^{-3} \\ \varepsilon_5 &= 26 \times 10^{-3} \\ \varepsilon_6 &= 29 \times 10^{-3} \\ \varepsilon_7 &= 30 \times 10^{-3} \\ \varepsilon_8 &= 39 \times 10^{-3} \\ \varepsilon_9 &= 40 \times 10^{-3} \\ \varepsilon_{10} &= 50 \times 10^{-3} \\ \varepsilon_{11} &= 53 \times 10^{-3} \\ \varepsilon_{12} &= 60 \times 10^{-3}\end{aligned}$$



Mil-9: Değirmendere ocağına ait Gerilme-Deformasyon

KUMLUdere İÇİN:

Numune boyu : 10.3 cm.

Numune çapı : 7.6 cm.

Başlangıç değeri: 0

$$\sigma = P/A = P/\pi R^2/4$$

| P(kg) | $\sigma$ (kg/cm <sup>2</sup> ) | $\Delta l$ (mm)                   | $\varepsilon = \Delta l/l$ |
|-------|--------------------------------|-----------------------------------|----------------------------|
| 0     | 0                              | 0                                 | -                          |
| 500   | 11.02                          | 0.5                               | -                          |
| 1000  | 22.04                          | 0.5-0.5=0                         | -                          |
| 1500  | 33.06                          | 2 -0.5=1.5=0.015= L <sub>1</sub>  | 0.184x10 <sup>-3</sup>     |
| 2000  | 44.09                          | 5 -0.5=4.5=0.045= L <sub>2</sub>  | 0.584x10 <sup>-3</sup>     |
| 2500  | 55.11                          | 8.5-0.5=8 =0.08= L <sub>3</sub>   | 1.03 x10 <sup>-3</sup>     |
| 3000  | 66.13                          | 11 -0.5=10.5=0.10= L <sub>4</sub> | 1.29                       |
| 3500  | 77.16                          | 13 -0.5=12.5=0.12= L <sub>5</sub> | 1.55                       |
| 4000  | 88.18                          | 18 -0.5=17.5=0.17= L <sub>6</sub> | 2.20                       |
| 4500  | 90.20                          | 35 -0.5=0.34=0.35= L <sub>7</sub> | 4.40                       |

Kırılma değeri: 4700 kg.

Kırılma açısı : = 30°

Numune boyu= 10.3 cm.

Numune çapı= 7.60cm.

Alan =  $45.36 \text{ cm}^2$ .

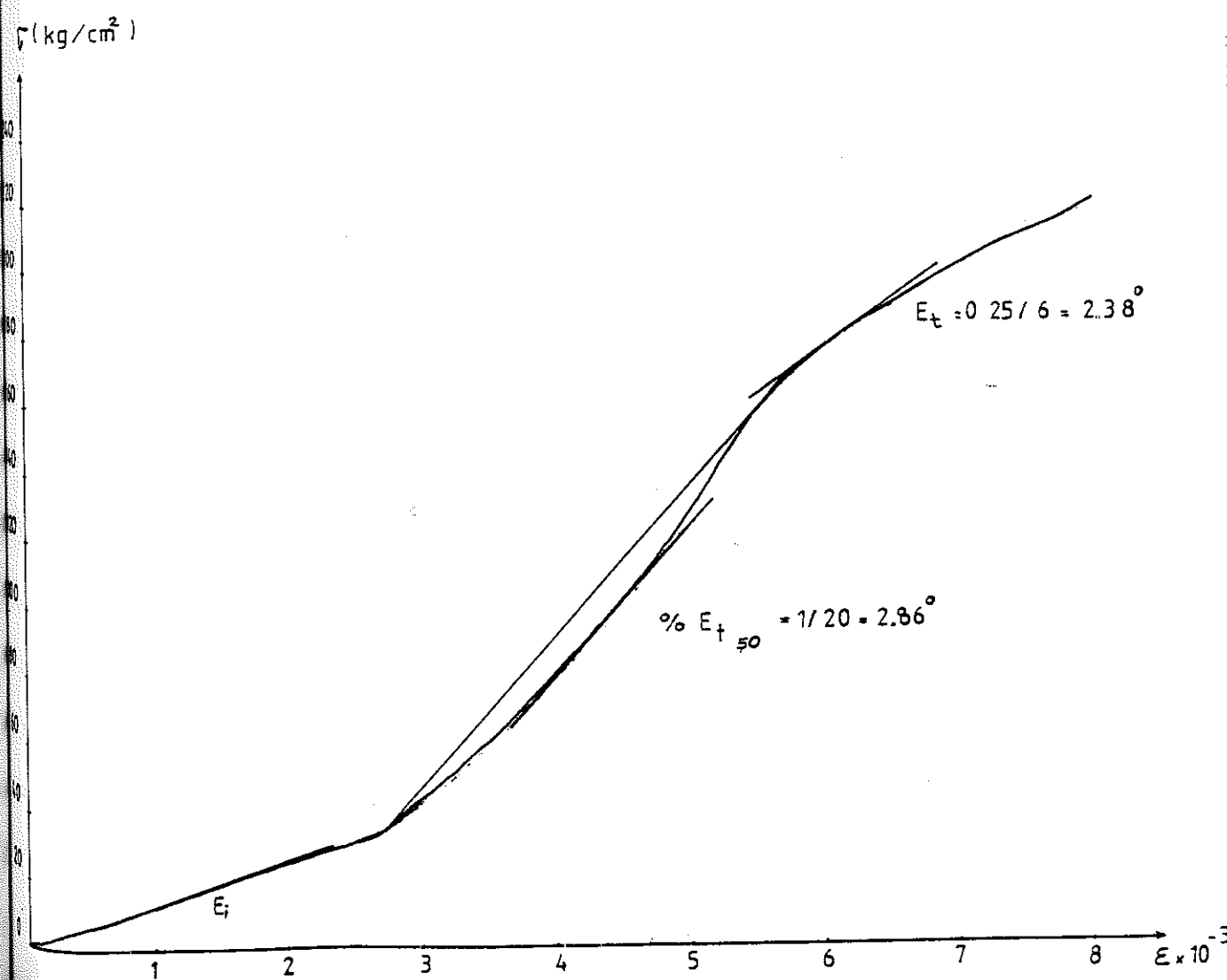
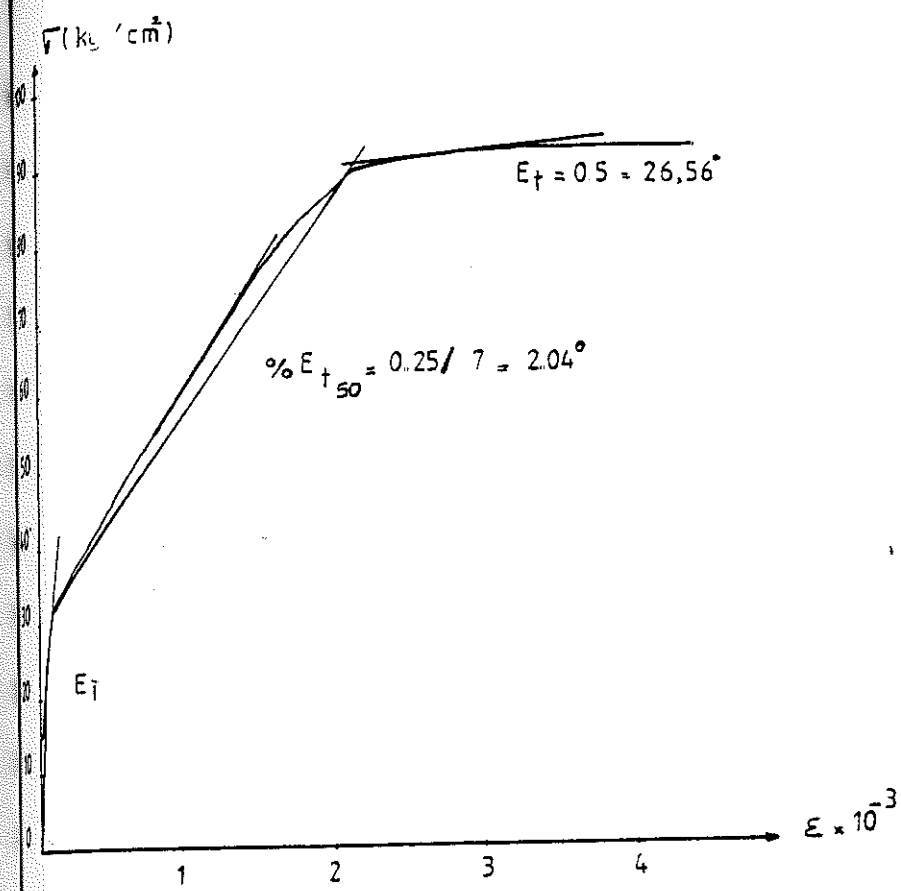
Başlangıç değeri= 0

$$P/A = P/\pi R^2 / 4$$

| P(kg) | F(kg/cm <sup>2</sup> ) | Δl (mm.)     | $\varepsilon = \Delta l/l$ |
|-------|------------------------|--------------|----------------------------|
| 500   | 11.02                  | 2            | -                          |
| 1000  | 22.04                  | 13-2= 0.11   | $1.42 \times 10^{-3}$      |
| 1500  | 33.06                  | 24-2= 0.22   | 2.85                       |
| 2000  | 44.09                  | 26-2= 0.24   | 3.11                       |
| 2500  | 55.11                  | 28.5-2= 0.26 | 3.37                       |
| 3000  | 66.13                  | 32-2= 0.30   | 3.89                       |
| 3500  | 77.16                  | 32-2= 0.30   | 3.89                       |
| 4000  | 88.18                  | 34-2= 0.32   | 4.15                       |
| 4500  | 99.20                  | 37-2= 0.35   | 4.94                       |
| 5000  | 110.09                 | -            | -                          |
| 5500  | 121.25                 | 39-2= 0.37   | 4.80                       |
| 6000  | 132.27                 | 41-2= 0.39   | 5.06                       |
| 6500  | 143.29                 | 42-2= 0.40   | 5.32                       |
| 7000  | 154.32                 | 43-2= 0.41   | 5.45                       |
| 7500  | 165.34                 | 45-2= 0.43   | 5.71                       |
| 8000  | 176.36                 | 57-2= 0.55   | 7.14                       |
| 8500  | 187.38                 | 58-2= 0.56   | 7.27                       |
| 9000  | 198.41                 | -            | -                          |
| 9500  | 209.43                 | 60-2= 0.58   | 7.75                       |
| 10000 | 220.45                 | 62-2= 0.60   | 7.79                       |
| 10500 | 231.48                 | 64-2= 0.62   | 8.05                       |
| 11000 | 242.50                 | 66-2= 0.64   | 8.31                       |

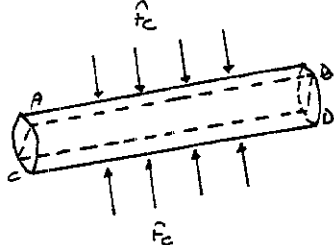
Kırılma değeri: 11000 kg.

Kırılma açısı : 28°.



### 6.2.1.3-Endirekt Çekme Direnci (BRAZILIAN DENEYİ)

Bu metodla kayaçların çekme mukavemeti silindirik bir numune basınc yüklenmesiyle elde edilir. Teorik olarak yükleme noktalarının temas ettiği çap düzlemini kesen uniform çekme gerilmeleri gelişir. Basınc gerilimi çap düzlemine paralel iki doğrultudadır. Yüklenme kontağındaki hat boyunca kırılma meydana gelir.



Çekme gerilmesi ( $\sigma_t$ ): Numune çapı D, boyu L ve numune boyunca uygulanan çizgisel yük F olmak üzere AB ve CD boyunca oluşan çekme gerilmesi;

$$\sigma_t = 2F / \pi DL \text{ dir.}$$

Brazilian Deneyi; deney şartlarına uygun olarak hazırlanan ve bunu izleyen çekme deneylerinin dışında kayanın çekme mukavemeti hakkında yaklaşık değerin elde edilmesinde uygun bir metoddur.

Kumludere maden ocağından alınan numune üzerinde yapılan Brazilian deneyinin sonuçları şöyledir:

#### KUMLUDERE:

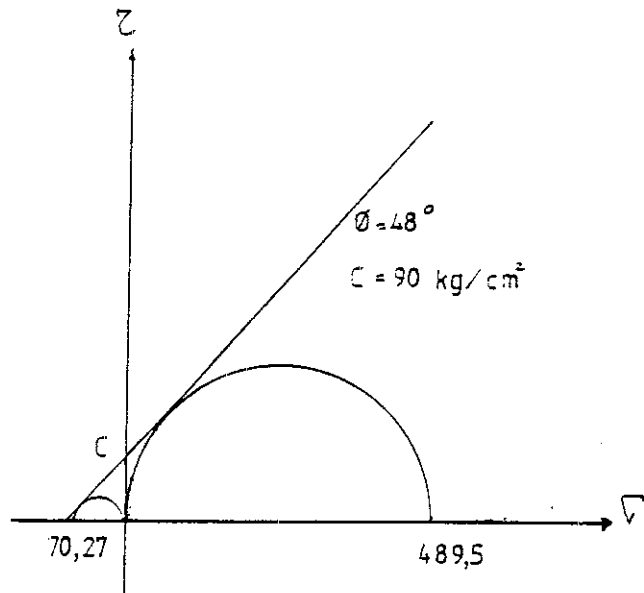
Numune boyu : 9.4 cm.

Numune çapı : 2.7 cm.

Kırılma değeri: 2800 kg.

$$\sigma_t = P/A = P / \frac{\pi R^2}{4} = 489.5 \text{ kg/cm}^2.$$

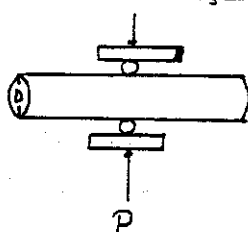
$$= \frac{2P}{\pi DL} = 70.27 \text{ kg/cm}^2$$



Şekil-10: Brazilian deneyi sonucuna ait mohr daireleri.

#### 6.2.2-Nokta Yük Dayanımı

Bu deney silindirik kaya numunelerinin eksen doğrultusuna dik bir düzlem içinde noktasal basınç uygulanarak yapılır.



$$A = \pi R^2 / 4$$

$P$  = Okunan değer  $\times A$

$$I_s = P/D^2 \text{ Nokta Yük Dayanımı}$$

Kumludere ocağına ait şeılsiz numunelerin nokta yük dayanımları aşağıdadır.

#### KUMLUdere: Numune - 12 Kafes Başı

1- Killi Kireçtaşısı: Yüksekliği: 4.3 cm. 7 kg. =  $P_1$

Yüksekliği: 4.5 cm. 38 kg. =  $P_2$

2- 1024 Anayol Kireçtaşısı: Yüksekliği: 2 cm. 47 kg. =  $P_3$

Yüksekliği: 27 cm. 64 kg. =  $P_4$

3- Cevher bantlı kilitası: Yüksekliği: 4 cm. 17 kg. =  $P_5$

Yüksekliği: 3.4 cm. 4 kg. =  $P_6$

4- Ana ihraç kuyu başı : Yüksekliği: 3.7 cm. 15 kg. =  $P_7$

Yüksekliği: 3.5 cm. 15 kg. =  $P_8$

$$P_1 = 7 \times 8.86 = 62.02 \text{ kg/cm}^2$$

$$P_2 = 38 \times 8.86 = 336.68 \text{ kg/cm}^2$$

$$P_3 = 47 \times 8.86 = 416.42 \text{ kg/cm}^2$$

$$P_4 = 64 \times 8.86 = 567.04 \text{ kg/cm}^2$$

$$P_5 = 17 \times 8.86 = 150.62 \text{ kg/cm}^2$$

$$P_6 = 4 \times 8.86 = 35.44 \text{ kg/cm}^2$$

$$P_7 = 15 \times 8.86 = 132.9 \text{ kg/cm}^2$$

$$P_8 = 15 \times 8.86 = 132.9 \text{ kg/cm}^2$$

$$Is_1 = 3.35 \text{ kg/cm}^2$$

$$Is_2 = 16.62 \text{ kg/cm}^2$$

$$Is_3 = 104.10 \text{ kg/cm}^2$$

$$Is_4 = 77.78 \text{ kg/cm}^2$$

$$Is_5 = 9.41 \text{ kg/cm}^2$$

$$Is_6 = 3.06 \text{ kg/cm}^2$$

$$Is_7 = 9.70 \text{ kg/cm}^2$$

$$Is_8 = 10.84 \text{ kg/cm}^2$$

### 6.2.3-Kayaçların Darbe Dayanımı

Kayaçların darbe dayanımını tesbit etmek için geliştirilen ölçü aletlerinden biri de Schmith Çekicidir. Schmith çekici, çarpmaya dayanımı ile mukavemet özelliğinin korelasyonu Rock Well tarafından kayaların dayanımı Schmith Çekici ile ölçülüp, tek eksenli basınç dayanımı ile karşılaştırılmış ve elastisite modülünün kaya tiplerinde geniş bir aralıktı olduğu görülmüştür.

Schmith çekicinde mevcut çelik uç yay vasıtası ile vurulur. Ölçü yapılan yüzeye çarpar ve geri döner. Zıplama mesafesi sertliği verir. Yeterli okumadan sonra kayacın dayanımı hesaplanır. Kumludere ve Değirmendere maden ocağına ait numunelerin Schmilt Çekici ile yapılan ölçüm değerlerinin sonuçları aşağıdaki gibidir.

KUMLUDERE:

|                         |      |    |     |                    |
|-------------------------|------|----|-----|--------------------|
| Numune No: 1-kireçtaşı: | 31.3 | 32 | 330 | kg/cm <sup>2</sup> |
|                         | 34.6 | 35 | 380 | kg/cm <sup>2</sup> |
|                         | 34.2 | 34 | 360 | kg/cm <sup>2</sup> |
|                         | 34.2 | 34 | 360 | kg/cm <sup>2</sup> |
| Numune No: 2-kireçtaşı: | 31.8 | 32 | 330 | kg/cm <sup>2</sup> |
|                         | 35.0 | 35 | 380 | kg/cm <sup>2</sup> |
|                         | 31.6 | 32 | 330 | kg/cm <sup>2</sup> |
|                         | 35.1 | 35 | 380 | kg/cm <sup>2</sup> |
|                         | 31.5 | 32 | 330 | kg/cm <sup>2</sup> |
|                         | 31.7 | 32 | 330 | kg/cm <sup>2</sup> |
|                         | 32.3 | 32 | 330 | kg/cm <sup>2</sup> |
|                         | 32.0 | 32 | 330 | kg/cm <sup>2</sup> |
|                         | 35.7 | 36 | 400 | kg/cm <sup>2</sup> |
|                         | 36.0 | 36 | 400 | kg/cm <sup>2</sup> |
|                         | 34.2 | 35 | 380 | kg/cm <sup>2</sup> |
|                         | 33.9 | 34 | 360 | kg/cm <sup>2</sup> |

DEĞİRMENDERE :

Numune No:1- Boşluklu Altere Kireçtaşı : 33.0      340 kg/cm<sup>2</sup> de kırıldı.

|                         |       |      |     |                    |
|-------------------------|-------|------|-----|--------------------|
| Numune No: 2-kireçtaşı: | 50.0  | 50.0 | 660 | kg/cm <sup>2</sup> |
|                         | 51.8  | 52   | 690 | kg/cm <sup>2</sup> |
|                         | 47.0  | 47   | 600 | kg/cm <sup>2</sup> |
|                         | 47.8  | 48   | 620 | kg/cm <sup>2</sup> |
|                         | 49.7  | 50   | 660 | kg/cm <sup>2</sup> |
|                         | 50.9  | 51   | 680 | kg/cm <sup>2</sup> |
|                         | 49.5  | 50   | 660 | kg/cm <sup>2</sup> |
|                         | 52.00 | 52   | 690 | kg/cm <sup>2</sup> |
|                         | 47.2  | 48   | 600 | kg/cm <sup>2</sup> |
|                         | 47.5  | 48   | 620 | kg/cm <sup>2</sup> |
|                         | 51.0  | 51   | 680 | kg/cm <sup>2</sup> |

#### 6.2.4-Kayaçların Sismik Hızları

Sismik dalga hızları kaya kütlesinin kalitesinin göstergesi olarak yirmi yıldan beri kullanılmaktadır. Sismik dalga hızı yüksek değerlere sahip olan kayaçların diğer mühendislik özellikleride iyi bir değere sahiptir. Ezilme zonları ya da mikro çatlaklar içeren kayaçlar düşük hız değerleri vermektedirler. Bir kayaç numunesinde çeşitli yönlerden hız ölçümleri yapılip anizotropi durumu ve süreksizlikleri belirlenebilmektedir. Mikro çatlaklar bulunduran bir numunenin hız aralığının farklı bölgelerindeki hızlarında farklı olacaktır. Yüksek hız aralığında mikro çatlaklar oldukça büyük hız değişimlerine neden olmaktadır. Numunelerin sismik hız değerlerinin belirlenmesinde  $V_p$  ve  $V_s$  hızları kullanılmaktadır.  $V_p$  hızlarının yayılım doğrultusu, titreşim doğrultusuna paraleldir. Genel olarak bu hızların kırılan ve yansiyan tipleri kayaç içindeki süreksizliklerin belirlenmesinde kullanılmaktadır.  $V_s$  hızları ise titreşim doğrultusuna dik olarak yayılırlar. Bu özelliklerden dolayı da kayaçların ezilmiş ve çatlamış zonlarının göstergesidirler. Değirmendere ve Kumludere ocaklarına ait numunelerin Sonometre ile ölçülen hız değerleri şöyledir.

$$\text{KUMLUDERE: } V = \frac{m}{S_n} \cdot \frac{l}{10^6}$$

|                            |           |                        |               |
|----------------------------|-----------|------------------------|---------------|
| 1- 12 Kafes başı           | Kireçtaşı | Uzunluğu: 58.3 mm      | 49.8 mikrosan |
|                            |           | Hızı : 1170.68 m/sn.   |               |
| 2- 1016 I.sol - Kil        |           | Uzunluğu: 79.6 mm.     | 47.5 mikrosan |
|                            |           | Hızı : 1675.78 m/sn.   |               |
| 3- 1024 Anayol - Kireçtaşı |           | Uzunluğu: 28 mm.       | 5.7 mikrosan  |
|                            |           | Hızı : 4912.2 m/sn.    |               |
| 4- 1024 Ana ihraç kuyusu   | Kireçtaşı | Uzunluğu: 47.2 mm.     | 25.4 mikrosan |
|                            |           | Hızı : 1858.26 m/sn.   |               |
| 5- Bozuşmuş Kireçtaşı      |           | a-Uzunluğu: 98.6 mm.   | 20.8 mikrosan |
|                            |           | b-Hızı : 4740.38 m/sn. |               |
|                            |           | b-Uzunluğu: 115.6 mm   | 17.4 mikrosan |
|                            |           | Hızı : 6643.67 m/sn.   |               |

c-Uzunluğu: 94.8 mm. 16.5

Hızı : 6076.92 m/sn.

d-Uzunluğu: 210 mm. 34.1 mikrosan.

Hızı : 6158.35 m/sn.

DEĞİRMENDERE :

1-Kireçtaşı Uzunluğu: 81.6 131 mikrosan.  
Hızı : 6229 m/sn.

2- Bozuşmuş Kireçtaşı Uzunluğu: 110.5 mm. 21.5 mikrosan.  
Hızı : 5139 m/sn.

3-Kil Uzunluğu: 51.7 mm. 33.5 mikrosan.  
Hızı : 6336.63 m/sn.

4-Kireçtaşı Uzunluğu: 43.6 mm. 14.9 mikrosan.  
Hızı : 2285.90 m/sn.

5-Kil Uzunluğu: 51 mm. 33.9 mikrosan.  
Hızı : 1543.28 m/sn.

6-Kireçtaşı Uzunluğu: 64 mm. 10.1 mikrosan.  
Hızı : 1504.42 m/sn.

Yukarıdaki hız değerlerinin sonuçlarına göre aşağıdaki sınıflama esaslarına göre yorumu gidilir.

Bozusma Derecesi      Vp (m/sn)

Çok az bozuşmuş      4900

Bozuşmuş      3500

Çok bozuşmuş      2500

Sökülebilirlik      Vp (m/sn)

Kolay sökülebilir      500-900

Orta derecede sökülebilir 900-1400

Güç sökülebilir      1400-1900

Niteligi      Vp (m/sn)      Excavatör No

Çok kolay      300-600      1-3

Kolay      600-900      3-4

Orta      900-1500      4-6

Zor      1500-2100      6-8

Çok zor      2100-2400      8-9

Son derece zor      2400-2900      9-10

Bu sınıflama parametrelerine göre sismik hızlarla sadece yeraltının yapısını değil aynı zamanda taban topografyasını da karmada, rezerv hesaplarında, sökücülerin türlerinde, kayaçların kolay ve zor sökülebilir türden olup olmadıklarını saptamak mümkündür.

Kumludere maden ocağından alınan kireçtaşlarının hız ortalaması 2646 m/sn. civarında olup, kilit taşı 1675 m/sn. bozmuş olan kireçtaşlarında 5904 m/sn. gibi hız değerleri vermektedir.

Değirmendere maden ocağında ise kireçtaşları 4000 m/sn., killer ise 2000 m/sn. civarında hız değerleri göstermektedir.

### 6.3-Jeoteknik ve Mekanik Özellikleri Açısından Kayaçların Sınıflandırılması

Yapılan fiziksel ve mekanik deneyler sonucundaki değerlerin ışığı altında Kumluçay maden ocağı ve Değirmendere maden ocağından alınan kayaç örneklerinden hareketle sınıflamaya tabi tutulmuşlardır. Bu sınıflamada;

Jeomekanik RMR Yöntemi (Bieniawski kaya sınıflaması)  
Q Yöntemi (Barton Kaya sınıflaması)  
RSR Parametreleri esas alınmıştır.

#### 6.3.1-Jeomekanik RMR Sistemi

Bieniawski (1973, 1974 ve 1976) tarafından geliştirilen Jeomekanik RMR sistemi, kaya kütlesinin mühendislik verilerini saptamaya yarayan bir yöntemdir. Bu yöntem tüneller, büyük yapı temelleri, sev yamaçları ve yeraltı inşaatında uygun kaya destek önlemlerinin seçiminde kullanılmaktadır.  
Jeomekanik sınıflama yöntemi, altı parametreye dayanırmaktadır.

- a) Kayanın tek eksenli basınç direnci
- b) Sondaj karotlarından elde edilen RQD değerleri
- c) Yeraltısuyu gözlemleri
- d) Eklem sıklığı
- e) Eklemlerin durumu
- f) Eklemlerin yönlenimi

Bu sınıflama, tabloda görülmektedir. Uygulama alanında kullanılan jeomekanik sınıflamada, dikkat edilecek husus, tasarlanan mühendislik projesine bakılmaksızın önce kaya kütlesinin niteliği hakkında genel bir değerlendirmeye gidilmesidir. Bu da sınıflama parametrelerinin ilk olmasını sağlamak suretiyle elde edilir. Daha sonra değerlendirmeler tünel, yamaç ya da temelle ilgili olup olmamasına bağlı olarak, eklemlerin doğrultu ve eğim yönlerine göre düzeltir.

Jeomekanik sınıflamayı uygulamak için, önce kaya kütlesi, her bölge yalnızca tek tip iksa gerektirecek belirli bitemelilik ve benzer niteliklere sahip olacak şekilde bölgelere ayrılır. Sahada yapılan ölçümleler, herbir bölge için sınıflama parametrelerine ilişkin önemli derecelendirmeler seçilir.

Sınıflama parametrelerinin önemli derecelendirmeleri oluşturulunca, beş parametre toplanır. Önce kaya kütlesi için, yerindeki değerler saptanır. Yüksek değerler en iyi kaya koşullarını vermektedir. Bundan sonra, eklem yönlemine göre düzeltmeler yapılır. Düzeltmelerde tünel, temel ve yamaçlar için uygulanan değerler farklıdır. Düzeltmelerden sonra elde edilen derecelere göre kayalar sınıflandırılır ve her sınıfın yorumu yapılır.

## A SINIFLAMA PARAMETRELERİ VE DERECELERİ

| Sıra No | Parametre                    | Derecelendirme   |  |   |  | Yögelenen tek ekseni basınç değerini kullan                                     |
|---------|------------------------------|--|--|---|--|---|
|         |                              | > 8 MPa  | 4-8 MPa  | 2-4 MPa   | 1-2 MPa  |   |
| 1       | Sağlam kayanın mukavemeti    | > 200 MPa  | 100-200 MPa  | 50-100 MPa  | 25-50 MPa  | 10-25 MPa   |
|         | Tek ekseni basınç mukavemeti |  |  |   |  | 3-10 MPa  |
|         | Derecelendirme               | 15   | 12   | 7   | 4  | 1-3 MPa   |
| 2       | Sondaj Karot Kalitesi RQD    | % 90- % 100  | % 75- % 90   | % 50- % 75  | % 25- % 50   | < % 25  |
|         | Derecelendirme               | 20   | 17   | 13  | 8  | 3   |
| 3       | Eklemlerin sıklığı           | > 3 m  | 1-3 m  | 0,5-1 m   | 50-300 m   | < 50 mm   |
|         | Derecelendirme               | 30   | 25   | 20  | 10   | 5   |
| 4       | Eklemlerin durumu            | Cök kaba yüzler<br>Sürekli değil<br>Ayrılma yok<br>Eklemlili sert duvar kayası                       | Az kaba yüzler<br>Ayırırm < 1 mm<br>Eklemlili yumuşak duvar kayası | Az kaba yüzler<br>Ayırırm < 1 mm<br>Eklemlili yumuşak duvar kayası            | Sürtünme izli yüzler veya fay kili < 5mm veya 5-5mm açık eklemler sürekli eklemler | Yumuşak fay kili<br>> 5mm kalınlık veya açık eklemler<br>> 5mm sürekli eklemler |
|         | Derecelendirme               | 25   | 20   | 12  | 6  | 0   |
| 5       | Yeraltı suyu                 | Tünelin 10 m.lik kısmından gelen su<br>Eklemlerdeki su basıncı<br>Ana asai gerilme<br>Genel Koşullar | Yok<br>veya<br>0<br>veya<br>Tamamen kuru                           | < 25 litre/dak.<br>veya<br>0,0-0,2<br>veya<br>Yalnızca nemli (kırıklıklız su) | 25-125 litre/dak<br>veya<br>0,2-0,5<br>veya<br>Orta basınç altında su              | > 125 litre/dak<br>veya<br>> 0,5<br>veya<br>Önemli su problemleri               |
|         | Derecelendirme               | 0  | 7  | 4   | 0  |   |

## B EKLEM YÖNLENİMİNE GORE DÜZELTME

| Eklemlerin doğrultu ve eğim yönlerini | Coc uygun | Uygun | Orta | Uygun değil | Hic uygun değil |
|---------------------------------------|-----------|-------|------|-------------|-----------------|
| Tüneller                              | 0         | -2    | -5   | -10         | -12             |
| Derecelendirme Temsiller              | 0         | -2    | -7   | -15         | -25             |
| Yamaçlar                              | 0         | -5    | -25  | -50         | -60             |

## C KAYA SINIFLAMALARI ve DERECELERİ

| Sınıflama No.  | I            | II      | III       | IV         | V              |
|----------------|--------------|---------|-----------|------------|----------------|
| Tanımama       | Çoc iyi kaya | yi kaya | Orta kaya | Zayıf kaya | Çoc zayıf kaya |
| Derecelendirme | 100-81       | 80-61   | 60-41     | 40-21      | < 20           |

## D KAYA SINIFLAMA YORUMLARI

| Sınıflama No.                  | I                    | II                               | III                 | IV                                | V                         |
|--------------------------------|----------------------|----------------------------------|---------------------|-----------------------------------|---------------------------|
| Ortalama dayanma süresi        | 5m. açıklıkta 10 yıl | 4m. açıklıkta 6 ay               | 2m. açıklıkta hafta | 1,5m. açıklıkta 5 saat            | 0,5m. açıklıkta 10 dakika |
| Kaya kütlesinin kohezyonu      | > 300 kPa            | 200-300 kPa                      | 150- kPa            | 100-150 kPa                       | < 100 kPa                 |
| Kaya kütlesinin sürtünme açısı | > 45°                | 40°-45°                          | 35°-40°             | 30°-35°                           | < 30°                     |
| Cevherin kazılabilirliği       | Çoc zayıf            | Kolaylıkla büyük parçalar çıkmaz | Orta                | Kolaylıkla kazılır iyi parçalanma | Çoc iyi                   |

| Tünel eksenine dik doğrultu |                |              |              | Tünel eksenine paralel doğrultu |              | Doğrultuya bakılmaksızın eğim 0°-20° |
|-----------------------------|----------------|--------------|--------------|---------------------------------|--------------|--------------------------------------|
| Eğim yönünde açım           | Eğime dik açım |              |              |                                 |              |                                      |
| Eğim 45°-90°                | Eğim 20°-45°   | Eğim 45°-90° | Eğim 20°-45° | Eğim 45°-90°                    | Eğim 20°-45° |                                      |
| Çoc uygun                   | Uygun          | Orta         | Uygun değil  | Hiç uygun değil                 | Orta         | Uygun değil                          |

| KAYA<br>KÜTLESİ<br>SINIF-<br>LAMASI | KAZI  | BİRİNCİL İKSA  |   |   |
|-------------------------------------|---|--|---|---|
|                                     |   | Kaya bulonları,*<br>(10 m. genişlikteki)<br>tünel için uzunluk   | Satkrit   | Çelik<br>takımlar   |
| I                                   | Tam kesit<br>3 m. ilerleme  | Bazı bulonların haricinde genellikle ikad gerektirmez.   |   |   |
| II                                  | Tam kesit<br>1,0-1,5 m.<br>ilerleme                                     | Kamerin 2-3 m. sinda yer yer<br>bulonlar, tel kafeslerle 2-2,5 m.<br>aralıkları, aynaya 20 m. ye kadar<br>gereklidir                         | Su geçirmezlik için tavan<br>kemerinde 50 mm.   | Yok   |
| III                                 | Tavan kemerî ve<br>tabandan ilerleme<br>Tavandan 1,5-3 m.<br>ilerleme   | 3-4 m uzunlukta sistematik<br>bulonlar, kemerde tel kafesli<br>duvarlar ve kemerde 1,5-2 m.<br>aralıkları, aynaya 10 m. ye kadar<br>gerekli. | Tavan kemerinde 50-100 mm<br>yan duvarlarda 30 mm.  | Yok   |
| IV                                  | Tavan kemerî ve<br>tabandan ilerleme<br>Tavandan 1,0-1,5 m.<br>ilerleme | Tel kafesli duvarlarda ve kemerde<br>1-1,5 m. aralıkları, 4-5 m. uzunluklu<br>sistematik bulonlar<br>Aynaya 10 m. ye kadar gereklî           | Tavan kemerinde 100-150 m<br>ve yan duvarlarda 100 mm<br>Kazi ilerledikçe ikad yerles-<br>tilmelidir                      | Gereken yerde 1,5 m<br>aralıklı yeryer hafif<br>traversler (ribs) |
| V                                   | Tavan ve taban<br>müstereke ilerleme<br>Tavandan 0,5-1 m.<br>ilerleme   | Tel kafesli duvarlarda ve kemerde<br>1-1,5 m. aralıkları, 5 m. uzunluklu<br>sistematik bulonlar<br>Aynaya 5 m. ye kadar gereklî              | Tavan kemerinde 150-200 mm<br>yan duvarlarda 150 mm. Ayna-<br>da 50 mm.<br>Patlamadan hemen sonra<br>satkrit uygulanmalı. | Çelik iksalt 0,75 m.<br>aralıklı ağır tra-<br>versler             |

\* 20 mm. çaplı tamamen reçine bağlılı, uzunluk tünel genişliğinin yarısı

Tablo 5. Atnalı şekilli tünellerde ilk iksanın seçimiinde gösterilen kılavuz (genişlik 5 ile 12 m ; düşey gerilme 30 MPc ; inşaat delme ve patlama ile)

### 6.3.2-Q Sistemi

1969 yılında Oslo'da yapılan Yeraltı Kazıları Sempozyumu, dikkatleri yeraltı kazalarında uygun destekleme projeleri yapımında ortaya çıkan iki önemli eksiklik üzerinde topladı. Denkhaus (1970) kaya mekanığı verilerinin elde edilmesiyle, vari- lan kesin kararlar arasında varolan bir eksikliğe işaret etti. Bjerrum (1970) kaya bulonu için projelendirme yapılmırken kayaların genişleme özelliğinin gözönüne alınmadığını dikkati çekti. Bjerrum aynı zamanda RQD indisinin (Deere, 1963) bir kayayı tam olarak tanımladığından da kuşku duymaktaydı. Çünkü aynı RQD indisine sahip iki kaya içinde kazı yapıldığında tamamıyla değişik davranışlarda bulunabilirler. Bu kuşku, serbest basınç direnci, kesme direnci, gerilme, eklem sıklığı v.s. için de geçerlidir. Tünel desteği projelerinin kesin kararında bu parametrelerin hepsinin gözönüne alınması gereklidir. RQD indisi, eklem sıklığı ve eğer varsa ayrışma derecesi ve boşluk dolgularının beraberce bir ölçüyü olduğundan, diğer parametrelere kıyasla daha önemlidir. Fakat, ayrılmış eklem dolgularının sürtünme açısı ve eklem yüzlerinin pürüzlülüüğü gibi, kayaların bazı önemli özelliklerini yönünden fazla duyarlı değildir.

Cecil (1970) tarafından tarif edilen daha önceki tünel kazı kayıtları, yöntemin başlangıçtaki gelişimi için geniş bir kaynak oluşturmuştur. Cecil'in çizelgelerinden birinde, desteksiz tünelerde çizilen tünel eni ile RQD grafiği görülmektedir. Yüksek RQD değerleri için daha geniş tünelere eğilim açıkça görülmektedir, fakat bu durum fazla yaygın değildir. İlgili RQD değeri her lokasyonda ölçülen eklem takımlarının sayısı ile bölündüğünde, yöntem geliştirilecektir. Eklem takımlarının sayısı, bir kaya kütlesinin serbestleme derecesinin önemli bir unsurudur.

Önemli bir anomali yok edildiğinde, düzeltilmiş RQD değeri, tünel desteği geresinimleri için oldukça duyarlılık sağlamıştır. Örneğin, üç eklem takımı içeren ve RQD değeri 90 olan bir masif granit kütlesi, sadece bir eklem takımı olan ve eklemeleri sıkıca bağlı bir fillatla eşit değerde tünel durayılığına sahiptir. Fakat fillatın RQD değeri bu durumda sadece 30 dur. Genişleme ve makaslama direncinin önemi RQD'de daha da düzeltmeler yapılmasını

gerektirir. Eklem pürüzlülüğü, kaya kütlesi niteliği için olumlu bir katkı olduğu halde, eklem alterasyonu ve dolgu maddeleri olumsuz katkıda bulunur. Bu nedenle, eklem pürüzlülüğü ve alterasyonunu gösteren iki cetvel geliştirilmiştir. Orijinal RQD değerini daha da düzeltmek için, kaya yükü ve su basıncı katsayısı da gözönüne alınır.

Yeraltı kazısının boyutları (eni, yüksekliği veya çapı) ile amacı (santral binası, su tüneli, deneme tünel aynası v.s.) desteğin tipi ve nicelğini belirlemek için kullanılan ek parametreler olmuştur. Fakat bu parametreler kaya kütlesi niteliğini belirlemek için kullanılmıştır. Eğer geniş anlamda bir sınıflama sistemi kabul edilirse, kaya kütlesi niteliğinin belirlenmesinde yeraltı kazısının tip ve boyutları gözönüne alınmamalıdır.

#### 6.3.2.1-Kaya Kütlesi Niteliğini (Q) Tahmin Etme Yöntemi

Kaya kütlesi niteliğini (Q) tanımlamak için seçilen altı parametre aşağıdaki şekilde birleştirilmiştir:

$$Q = \frac{RQD}{J_n} \cdot \frac{J_r}{J_a} \cdot \frac{J_w}{SRF}$$

RQD = Kaya kalitesi özelliği

J<sub>n</sub> = Eklem takımı sayısı

J<sub>r</sub> = Eklem pürüzlülük sayısı

J<sub>a</sub> = Eklem alterasyon sayısı

J<sub>w</sub> = Eklem su indirgeme faktörü

SRF = Gerilme indirgeme faktörü

Bu parametreler çift olup, aşağıdaki şekillerde ifade edilirler:

$\frac{RQD}{J_n}$  : Nisbiblok boyutu

$\frac{J_r}{J_a} \approx \operatorname{tg} \theta$  : Blok arası kayma direnci

$\frac{J_w}{SRF}$  : Aktif gerilme.

Olası Q değerlerinin aralığı (0.001-1000) çok sıkışabilir ortamdan, eklemsiz sağlam kayaya kadar olan kaya niteliği tanımlamalarını kapsar. (Aslında kuramsal olarak 300 000 den fazla jeolojik tertip yapılabilir).

Karot alınmadığı zaman, RQD birim hacimdaki eklem sayısı vasıtasiyla belirlenebilir. Bunun için her eklem takımının  $m^3$  teki sayısı toplanır. Kil içermeyen kayalarda bu sayı RQD'ye şöyle çevrilir:

$$RQD = 115 - 3.3 Jv$$

Jv : Toplam eklem sayısı ( $m^3$  teki)

Eklem takımlarının sayısını belirleyen Jn parametresi genellikle yapraklanma, sistozite ve tabakalanma tarafından etkilenir. Bunların belirgin şekilde ve birbirine paralel olarak gelişenleri bir eklem takımı olarak kabul edilmelidir. Fakat, karotlarda bu özelliklerden dolayı yer yer çatlaklar veya az sayıda eklemler varsa, bunlar gelişigüzel eklemler olarak değerlendirilmelidir.

#### Kaya kalitesi Özelliği (RQD)

- A. Çok fena ..... 0-25
- B. Fena ..... 25-50
- C. Orta ..... 50-75
- D. İyi ..... 75-90
- E. Pekiyi ..... 90-100

Akdeniz Üniversitesi  
Rektörlüğü Kütüphanesi  
Demirbaş No. 4947

RQD < 10 ise (0 dahil), Q'yü hesaplarken 10 olarak alınır. RQD'nin 5'lik aralıkları yeterli hassasiyettedir.

#### Eklem takımı sayısı (Jn)

- A. Masif eklem çok az veya hiç yok 0.5-1.0
- B. Bir eklem takımı 2
- C. Bir eklem takımı ve gelişigüzel eklemler 3
- D. İki eklem takımı 4
- E. İki eklem takımı ve gelişigüzel eklemler 6
- F. Üç eklem takımı 9
- G. Üç eklem takımı ve gelişigüzel eklemler 12

|  |                    |
|--|--------------------|
| H. Dört veya daha fazla eklem takımı, gelişigüzel<br>çok fazla sayıda, küp şeker şeklinde  | 15                 |
| J. Paralanmış kaya, toprak görünümünde   | 20                 |
| Eklem pürüzlülük sayısı (jr)   | "                  |
| A. Süreksiz eklemler   | 4                  |
| B. Pürüzlü ya da düzensiz, dalgalı   | 3                  |
| C. Düz, dalgalı  | 2                  |
| D. Sürtünme izli, dalgalı  | 1.5                |
| E. Pürüzlü ya da düzensiz, düzlemsel   | 1.5                |
| F. Düz, düzlemsel  | 1                  |
| G. Sürtünme izli, düzlemsel  | 0.5                |
| Eklem alterasyon sayısı (ja)   |                    |
| A. Sıkıca bağlanmış, sert, yumuşamaz<br>geçirimsiz dolgu (örneğin kuvars, epidot)  | Yaklaşık<br>0.75 - |
| B. Altere olmamış eklem yüzleri, sadece<br>yüzeysel paslanma   | 1 (25°-35°)        |
| C. Hafifçe altere olmuş eklem yüzleri.<br>Yumuşamayan mineral kaplamaları, kum<br>taneleri, kil içermeyen kaya parçaları   | 2 (25°-30°)        |
| D. Siltli veya kumlu kil kaplamaları,<br>düşük kil oranı (yumuşamayan)   | 3 (20°-25°)        |
| E. Yumuşamayan veya düşük sürünnmeli kil<br>mineral kaplamalı, kaolinit, mika gibi<br>Ayrıca klorit, talk, jips, grafit ve<br>az miktarlarda şişen killer (1-2 mm<br>veya daha az kalınlıkta kesikli kaplamalar) | 4 (8°-16°)         |
| F. Kum taneleri, kil içermeyen kaya parçaları  | 4 (25°-30°)        |
| G. Çok fazla konsolide olmuş yumuşamayan kil<br>mineral dolguları (kesiksiz, kalınlığı 5 mm<br>den az)   | 6 (16°-24°)        |
| H. Orta veya düşük derecede konsolide olmuş,<br>yumuşamayan kil mineral dolgulu (kesiksiz,<br>kalınlığı 5 mm den az)   | 8 (12°-16°)        |
| J. Şişen kil dolgulu, örneğin montmorillonit<br>(kesiksiz, kalınlığı 5 mm den az). ja'nın<br>değeri, şişen kil boyutundaki tanelerin<br>yüzdesine ve su etkisinde kalıp kalmayıca-<br>ğına göre değişir          | 8-12 (6°-12°)      |

|   |                |  |
|---|----------------|--|
| K. Dağılmış kaya ve kil bölge veya bantları |                |  |
| L.(Kil şartları tanımlaması için G,H,J      |                |  |
| M. maddelerine bakınız)                     | 6-8 (6°-24°)   |  |
|   | veya           |  |
| N. Siltli veya kumlu kil bölge veya         | 8-12           |  |
| bantları, düşük kil oranı (yumuşamış) 5     | -              |  |
| O,P. Kalın, sürekli il bölge veya bantları  | 10-13 (6°-24°) |  |
|   | veya           |  |
|   | 13-20          |  |

Eklem su indirgeme faktörü (Jw)

|   |         | Yaklaşık<br>su basıncı<br>(kg/cm²) |
|---|---------|------------------------------------|
| A. Kuru kazilar ya da < 5 lt/dak gelen kazilar  | 1       | 1                                  |
| B. Orta derecede su gelişisi veya basınç, eklem dolgularının yer yer yıkanması          | 0,66    | 1-2.5                              |
| C. Dolgusuz eklemli dayanımlı kayada çok miktarda su gelişisi veya yüksek basınç        | 0.5     | 2.5-10                             |
| D. Çok miktarda su gelişisi veya yüksek basınç ile eklem dolgularının fazlaca yıkanması | 0.33    | 2.5-10                             |
| E. Patlatma sırasında çok fazla su gelişisi veya su basıncı, fakat zamanla azalması     | 0.2-0.1 | 10                                 |
| F. Zamanla azalmayan çok fazla su gelişisi veya su basıncı                              | 0.1-0.5 | 10                                 |

Gerilme indirgeme faktörü (SRF)

|   |     |
|---|-----|
| a) Kazıyı kesen zayıflık zonları, tünel kazılırken kaya kütlesinin gevşemesine neden olabilirler.         |     |
| A. Kil veya kimyasal olarak parçalanmış kaya kapsayan birden fazla zayıflık zonu (herhangibir derinlikte) | 10  |
| B. Kil veya kimyasal olarak parçalanmış kaya kapsayan tek bir zayıflık zonu (kazı derinliği < 50 m)       | 5   |
| C. Kil veya kimyasal olarak parçalanmış kaya kapsayan tek bir zayıflık zonu (kazı derinliği > 50 m.)      | 2.5 |

D. Kil kapsamıyan dayanımlı kayada birden fazla makaslama zonu, gevşek çevre kayacı (herhangi bir derinlikte) 7.5

E. Kil kapsamıyan dayanımlı kayada tek bir makaslama zonu (kazı derinliği  $\leq 50$  m.) 5

F. Kil kapsamıyan dayanımlı kayada tek bir makaslama zonu (kazı derinliği  $> 50$  m.) 2.5

G. Gevsek ve açık eklemler, fazla eklemli, küp şekeri görünlü (herhangi bir derinlikte) 5

b) Dayanımlı kaya, kaya gerilmesi sorunları.

|  | $\bar{F}_c/\bar{F}_t$ | $\bar{F}_t/\bar{F}_1$ | SRF   |
|--|-----------------------|-----------------------|-------|
| H. Düşük gerilme, yüzeye yakın   | > 200                 | > 13                  | 2.5   |
| J. Orta derecede gerilme   | 200-10                | 13-0.66               | 1     |
| K. Yüksek gerilme, çok sıkı yapı<br>(genellikle duraylılık yönünden uygun, fakat duvar duraylılığı yönünden uygun olmayabilir) | 10-5                  | 0.66-0.33             | 0.5-2 |
| L. Az kaya patlaması (masif kaya)  | 5-2,5                 | 0.33-0.16             | 5-10  |
| M. Fazla kaya patlaması (masif kaya) $< 2.5$   | $< 0.16$              | 10-20                 |       |
| c) Yüksek kaya basıncının etkisi altında dayanımsız kayanın plastik akması   |                       |                       |       |
| N. Az sıkışan kaya basıncı   |                       | 5-10                  |       |
| O. Fazla sıkışan kaya basıncı  |                       | 10-20                 |       |
| d) Suyun varlığına bağlı olarak kimyasal şişme   |                       |                       |       |
| P. Az şişen kaya basıncı   |                       | 5-10                  |       |
| R. Fazla şişen kaya basıncı  |                       | 10-15                 |       |

Not: 1- İlgili kayma zonları kazayı etkiliyor, fakat kesmiyorsa, SRF değerlerini % 25-50 oranında azaltınız.

2-  $5 \leq \bar{F}_t/\bar{F}_3 \leq 10$  ise,  $\bar{F}_c$  ve  $\bar{F}_t$  yi  $0.8\bar{F}_c$  ve  $0.8\bar{F}_t$  olarak alınız.

$\bar{F}_1/\bar{F}_3 > 10$  ise,  $\bar{F}_c$  ve  $\bar{F}_t$  yi  $0.6\bar{F}_c$  ve  $0.6\bar{F}_t$  olarak alınız.

$\bar{F}_c$  = Serbest basınç direnci

$\bar{F}_t$  = Çekme direnci

$\bar{F}_1$  = Büyüük asal gerilme

$\bar{F}_2$  = Küçük asal gerilme

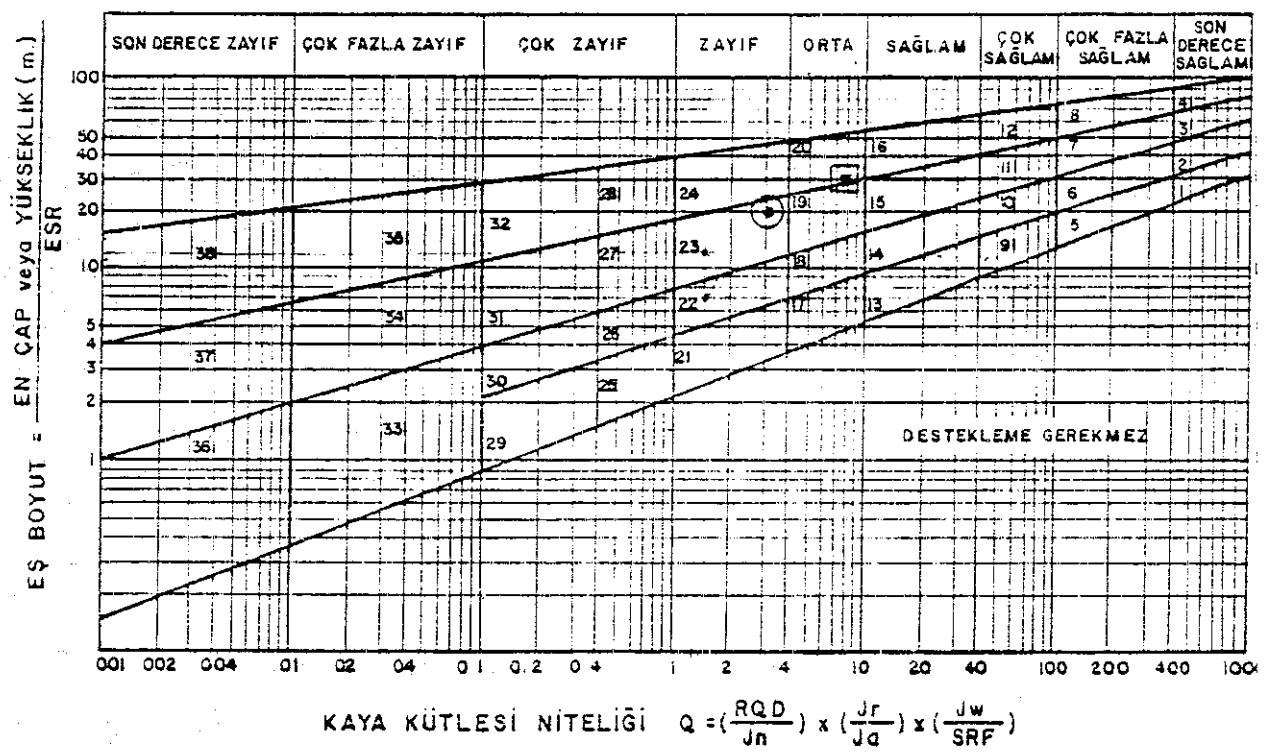
3- Kazı yüksekliğinin, kazı eninden az olduğu çok örnekler vardır. Bu gibi durumlarda SRF'yi 2,5 yerine 5 alınız.

Jr ve ja parametreleri belirli bir zonda önemli eklem takımlarının en zayıfını veya kil dolgulu süreksizliği temsil etmelidir. Fakat, Jr/ja değeri minimum olan eklem takımı veya süreksizlik zonu duraylılık yönünden uygun konumdaysa, bu durumda daha az uygun doğrultulu eklem takımı veya süreksizlik zonu daha önemli olabilir. Bu durumda, ikincisinin değeri daha yüksek olsa, Q'nın hesaplanmasıında ikincisi kullanılmalıdır.

Kaya kütlesinin niteliği bir yerden diğerine belirgin olarak değişiyorsa, bu yerlerin haritasının yapılarak ayrı ayrı sınıflandırılması çok yerinde olur. Değişen yerlerde Q değerleri ayrı ayrı hesaplanmalıdır. Eklem sıklığının, pürüzlülüğünün veya alterasyon derecesinin değişmesi nedeniyle Q değerinin 4 misli azalması veya artması, destek şartlarını da değiştirir. Fakat, değişken zonlar yeraltı kazalarının sadece birkaç metresini kapsıyorsa, formasyonu genel olarak haritalamak ve genel bir Q değeri bularak, genel bir destek projesi hazırlamak daha ekonomik olur. Kısa mesafelerde destek şartlarını sık sık değiştirmek genellikle ekonomik değildir. Fakat, çok dar bile olsa, şisen ve yumuşayan kil zonları ayrı bir destek yöntemi gerektirir. Bazı hallerde uygun olmayan eğimli makaslamalar meydana getirir. Özel yöntem olarak, yeterli boyutlarda gerilmeli ankrajlar çeşitli doğrultulardaki kuvvetleri karşılayacak şekilde konabilir.

$$\text{Açıklık} = 2 \text{ ESR.Q} \cdot 0.4$$

$$Q = \left( \frac{\text{Açıklık}}{2 \cdot \text{ESR}} \right) \cdot 2.5$$



Burada ESR, kazı destek oranıdır. Kazı tipine göre kazı destek oranı şöyledir:

| Kazı tipi   | ESR |
|---|-----|
| A. Geçici maden kazıları  | 3-5 |
| B. Sürekli maden kazıları, hidrolik enerji amaçlı su tünelleri (yüksek basınçlı cebri borular hariç), büyük kazılar için pilot tüneller, yarmalar ve aynalar v.s. | 1,6 |
| C. Depolar, su tasfiye tesisi, küçük yol ve demiryolu tünelleri, denge bacaları, yaklaşım tünelleri v.s.  | 1,3 |
| D. Santral binaları, büyük yol ve demiryolu tünelleri, sivil savunma sigınakları  | 1   |
| E. Yeraltı nükleer santralları, fabrikalar, spor ve kamu tesisi   | 0,8 |

Bulonlama:

Eğer 20 mm. çaplı bir bulon için 10 tonluk aktif bir yük kabul edilirse, destek basıncı aşağıdaki gibidir:

$$P = \frac{1}{a^2}$$

P= Destek basıncı kapasitesi ( $\text{kg/cm}^2$ )

a= Bulon açıklığı (m)

#### 6.4.3-RSR Kavramı

RSR (Rock Structure Rating) kavramı, Wickham, Tiedemann ve Skinner (1972) tarafından geliştirilen bir kaya destek tahmin modelidir. RSR, Terzaghi'nin (1946) kaya kütlesi sınıflama sisteminden sonraki ilk ayrıntılı kaya kütlesi sınıflama sistemidir. RSR kavramı, tünelcilikte kaya kütlesi davranışını etkileyen faktörlerin iki genel kategorisini gözönüne aldı: Jeolojik parametreler ve yapı parametreleri. Jeolojik parametreler: a)Kaya tipi, b)Eklem örneği (eklemlerin ortalama aralığı), c)Eklemlerin yönlemi (doğrultu ve eğim), d)Süreksizliklerin tipi, e)Büyük faylar, makaslamalar ve kıvrımlar, f) Kaya gereç özellikleri, g)Ayrışma ve

bozuşma, Yapı parametreleri: a)Tünel boyutu, b)Tünelin kazı yönü, c)Kazı metodu.

Yukarıdaki değerler A,B ve C olmak üzere 3 grupta toplandı.  
RSR= A+B+C dir.

A. Kaya yapısının genel tanımı şu eseslara göredir:

- (1) Kayanın kökeni (magmatik, metamorfik, tortul)
- (2) Kayanın sertliği (sert, orta, yumuşak, ayrılmış)
- (3) Jeolojik yapı (masif, az faylı ya da kıvrımlı, orta derecede faylı ya da kıvrımlı, çok faylı ya da kıvrımlı).

B. Tünel açımı yönüne göre süreksizlik örneğinin etkisi:

- (1) Eklem aralığı
- (2) Eklem yönlenimi (doğrultu, eğim)
- (3) Tünel açma yönü

C. Yeraltisuyu akımı etkisi

- (1) Birleştirilmiş A ve B'ye göre tüm kaya kütlesi niteliği.
- (2) Eklem durumu (iyi, orta, zayıf)
- (3) Su akım miktarı (bir ayak boyundaki tünelde, dakikada galon olarak).

(Tablo: 4,5 ve 6 )

Bulunan RSR değeri, iksaya esas olmak üzere kaya kütlesinin niteliğini yansıtır. Delme ve patlatma metoduyla tünel açma sırasında kullanılan iksa miktarına göre, makine ile tünel açarken kullanılan iksa miktarı daha azdır.

RSR değeri 19'dan küçük olan kayalarda kuvvetli iksa gereklidir. RSR değeri 80 veya daha fazla olan kayalarda iksa gerekmeyeceği sonucuna varılmıştır. RSR tahmin modeli ilk olarak çelik iksaya göre geliştirildi. Kaya bulonları ve püskürtme betonu kullanılarak yapılan destekleme için veriler yetersizdi.

24.000 libre yük taşıyan 1 inç çaplı kaya bunları için aşağıdaki eşitlik verilmiştir.

$$\text{Bulon aralığı (feet)} = \frac{24}{W}$$

Püskürtme betonu kalınlığı ile ilişkili olarak, aşağıdaki eşitlik ileri sürülmüştür.

RSR - A PARAMETRESI

RSR  
A Parametresi  
Genel jeoloji planı

| Ana Kaya Tipi |      |         |          | Jelolojik Yapı |                       |                         |                        | Maksimum değer 30 |
|---------------|------|---------|----------|----------------|-----------------------|-------------------------|------------------------|-------------------|
| Sert          | Orta | Yumuşak | Ayrılmış |                |                       |                         |                        |                   |
|               |      |         |          | Az             | Orta                  | Cok                     |                        |                   |
|               |      |         |          | faylı          | derecede              | faylı                   |                        |                   |
|               |      |         |          | voya           |                       | voya                    |                        |                   |
|               |      |         |          | kırımlı        |                       | kırımlı                 |                        |                   |
| Migmatik      | 1    | 2       | 3        | 4              | Az faylı veya kırımlı | Orta faylı veya kırımlı | Cok faylı veya kırımlı |                   |
| Metamorfük    | 1    | 2       | 3        | 4              | Masit                 |                         |                        |                   |
| Tortul        | 2    | 3       | 4        | 4              |                       |                         |                        |                   |
| Tip 1         |      |         | 30       | 22             | 15                    | 9                       |                        |                   |
| Tip 2         |      |         | 27       | 20             | 13                    | 8                       |                        |                   |
| Tip 3         |      |         | 24       | 16             | 12                    | 7                       |                        |                   |
| Tip 4         |      |         | 19       | 15             | 10                    | 6                       |                        |                   |

**R S R - B PARAMETRESİ**

|                        |  | RSR                                   |    |    |    |    |                                       |    |    |
|------------------------|--|---------------------------------------|----|----|----|----|---------------------------------------|----|----|
|                        |  | <u>B Parametresi</u>                  |    |    |    |    |                                       |    |    |
|                        |  | <u>Eklem örneği</u>                   |    |    |    |    |                                       |    |    |
|                        |  | <u>Açma yönü</u>                      |    |    |    |    |                                       |    |    |
|                        |  |                                       |    |    |    |    | Max. değer 45                         |    |    |
|                        |  | <u>Eksene dik</u>                     |    |    |    |    | <u>Eksene paralel</u>                 |    |    |
|                        |  | <u>Açma yönü</u>                      |    |    |    |    | <u>Açma yönü</u>                      |    |    |
|                        |  | <u>Her ikisi</u>                      |    |    |    |    | <u>Her ikisi</u>                      |    |    |
|                        |  | <u>Önemli eklemelerin eğimi</u>       |    |    |    |    | <u>Önemli eklemelerin eğimi</u>       |    |    |
|                        |  | <u>0°-20° 20°-50° Düşey (50°-90°)</u> |    |    |    |    | <u>0°-20° 20°-50° Düşey (50°-90°)</u> |    |    |
| inc cinsinden kalınlık |  |                                       |    |    |    |    |                                       |    |    |
| Çok sık eklemli        |  | 9                                     | 11 | 13 | 10 | 12 | 9                                     | 9  | 7  |
| Sık eklemli            |  | 13                                    | 16 | 19 | 15 | 17 | 14                                    | 14 | 11 |
| Orta derecede eklemli  |  | 23                                    | 24 | 28 | 19 | 22 | 23                                    | 23 | 19 |
| Orta - Bloklu          |  | 30                                    | 32 | 36 | 25 | 28 | 30                                    | 28 | 24 |
| Bloklu - Masif         |  | 36                                    | 38 | 40 | 33 | 35 | 36                                    | 34 | 28 |
| Masif                  |  | 40                                    | 43 | 45 | 37 | 40 | 40                                    | 38 | 34 |

RSR - C Parametresi

RSR

C Parametresi

Yeraltısısu

Ekleme durumu

Max. değer 25

| Beklenen<br>su<br>akımı<br><br>Dakikada galon (1000') | A ve B Parametreleri Toplami |    |                                | 45 - 75 |      |      |
|---|------------------------------|----|--------------------------------|---------|------|------|
|   | 13 - 44                      |    | Ekleme durumu<br>*<br><br>Fena | İyi     | Orta | Fena |
| Hic yok   | 22                           | 18 | 12                             | 25      | 22   | 18   |
| Az<br>(<200 dakikada galon)                           | 19                           | 15 | 9                              | 23      | 19   | 14   |
| Orta<br>(200-1000 dakikada galon)                     | 15                           | 11 | 7                              | 81      | 18   | 12   |
| Çok<br>(>1000 dakikada galon)                         | 10                           | 8  | 6                              | 18      | 14   | 10   |

Ekleme durumu İyi = siki ya da çimentolu ; Orta = az ayrılmış  
Fena = çok ayrılmış ya da açık

$$t = 1 + \frac{W}{1,25} \quad \text{veya} \quad t = \frac{D}{150} \quad (65-RSR)$$

$t$  = püskürtme betonu kalınlığı (inç)

$W$  = kaya yükü

$D$  = tünel çapı (feet)

10-20-24 çaplı tüneller için iksa gereksinim tabloları hazırlanmış bulunmaktadır.

#### 6.3.4-Bieniawski-Barton Sınıflamaları ve RSR Kavramının Uygulanması

##### 6.3.4.1-Bieniawski Kaya Sınıflamasının Uygulanması

A-Kumludere Maden Ocağı Bieniawski Kaya Sınıflama Parametreleri

Numune Yeri: 12 Kafes Başı

1- Sağlam Kayanın Mukavemeti:

Uç yük mukavemet endeksi : 78-104 kg/cm<sup>2</sup> arası.

: > 8 MPa

Derecelendirme : 15

2- Sondaj karot kalitesi RQD : % 62-36

: % 50-75

Derecelendirme : 13

3- Eklem sıklığı : 50-70 cm. arası

: 0.3-m m.

Derecelendirme : 20

4- Eklem durumu : Sırtuinme izli yüzler veya fay killi  
5 mm. veya 1-5 mm. açık eklemeler,  
sürekli eklemeler.

Derecelendirme : 6

5- Yeraltısuyu

Tünelin 10 m.lik kısmından gelen su : 25 lit/dak.

Oran Eklemdeki su basıncı : 0.0-0.2  
Ana asal gerilme

Genel Koşullar : Yalnızca nemli kırıklarda su

Derecelendirme : 7

B-Eklem Yönelimine Göre Düzeltme

Tünel eksenine dik doğrultu hakim eğim yönü  $20-40^{\circ}$  SW'ya  
Eğim yönünde açım ( $20^{\circ}-45^{\circ}$ ) Uygun  
Derecelendirme (Tüneller için): -2

Derecelendirme:  $15+13+20+6+7-2 = 59$

C-Kaya Sınıflaması ve Dereceleri

Sınıflama No: III

Tanımlama : Orta Kaya

Derecelendirme : 60-41

D-Kaya Sınıflama Yorumlamaları

Sınıflama No : III

Ortalama Dayanma Süresi : 2 m. açıklikta bir hafta

Kaya kütlesinin kohezyonu : 150 kPa

Kaya kütlesinin sürtünme açısı :  $35^{\circ}-40^{\circ}$

Cevherin kazılabilirliği : Orta

A-Kaya Sınıflama Parametreleri

1- Sağlam kayanın mukavemeti

Tek eksenli basınç mukavemeti :  $186 \text{ kg/cm}^2$  18.6 MPa  
: 10-25 MPa

Derecelendirme : 2

2- Sondaj Karot Kalitesi RQD : % 62-36

: % 50-75

Derecelendirme : 13

3- Eklem sıklığı : 50-70 cm. arası

: 0.3-1 m.

Derecelendirme : 20

4- Eklemlerin Durumu : Sürtünme izli yüzler veya fay  
killi  $< 5 \text{ mm.}$  veya  $1.5 \text{ mm.}$  açık  
eklemler, sürekli eklemler.

Derecelendirme : 6

5- Yeraltısu durumu

Tünelin 10 m.lik kısmından gelen su :  $< 25 \text{ lit/dak.}$

Oran Eklemdeki su basıncı : 0.0 - 0.2  
Ana asal gerilme

Genel Koşullar : Yalnızca nemli kırıklarda su  
Derecelendirme : 7

B-Eklem Yönelimine Göre Düzeltme

Tünel eksenine dik doğrultu → hakim eğim yönü  $20-40^{\circ}$  SW'ya

Eğim yönünde açım ( $20-45^{\circ}$ ) Uygun

Derecelendirme (Tünel için) : -2

Derecelendirme:  $2+13+20+6+7-2= 46$

C-Kaya Sınıflaması ve Dereceleri

Sınıflama No : III

Tanımlama : Orta Kaya

Derecelendirme : 60-41

D-Kaya Sınıflama Yorumları

Sınıflama No : III

Ortalama Dayanma süresi : 2 m. açıklikta bir hafta.

Kaya kütlesinin kohezyonu : 150 kPa

Kaya kütlesinin sürtünme açısı :  $35^{\circ}-45^{\circ}$

Cevherin kazılabilirliği : Orta

6.3.4.2-Barton Kaya Sınıflaması (Q sistemi)

Kumludere Ocağı:

RQD: % 62.36

Jn: Eklem takım sayısı Derecelendirme

Bir eklem takımı, gelişigüzel  
eklemeler

3

Jr: Eklem pürüzlülük sayısı

Sürtünme izli düzlemsel

0.5

Ja: Eklem alterasyon sayısı

Altı olmamış eklem yüzeyleri  
sadece yüzeysel paslanma

1

Jw: Eklem su indirgeme faktörü

Kuru kazilar ya da < 5 lit/dak. 1  
gelen kazilar

SRF: Gerilme indirgenme faktörü Derecelendirme  
Kil veya kimyasal olarak parçalanmış 10  
kaya kapsayan birden fazla zayıflık  
zonusu.

$$Q = \frac{62.36}{3} \times \frac{0.5}{1} \times \frac{1}{10} = 20.78 \times 0.5 \times 0.1 = 1.039$$

ESR: Kazı destek oranı

Kazı tipi ESR  
Sürekli maden kazıları 1.6

$$\text{Eş boyut} = \frac{2.5}{1.6} = 1.5625 \quad \text{EB}$$

$$Q = 1.039 \Rightarrow \text{Zayıf Kaya}$$

EB = 1.5625

#### 6.3.4.3- RSR Parametreleri İle Yapılan Kaya Sınıflaması

##### RSR A Parametreleri

|               |                                      |                |
|---------------|--------------------------------------|----------------|
| Ana Kaya Tipi | Jeolojik Yapı                        | Derecelendirme |
| Tortul-Orta   | Orta derecede faylı<br>veya kıvrımlı | Tip 2-13       |

##### RSR B Parametreleri

Eklem örneği : Eksene dik  
Açma yönü : Eğim yönünde  
Önemli eklem eğimi :  $20^\circ - 50^\circ$   
Sık eklemler : 16

##### RSR C Parametreleri

###### Yeraltısuyu Durumu

###### Eklem Durumu

| Beklenen               | A-B Parametrelerinin Toplami |
|------------------------|------------------------------|
| Su ..                  | 13-14 ..                     |
| Akımlı ..              | Eklem Durumu ..              |
| Dakikada golon (1000') | İyi ..                       |
| A <sub>3</sub> ..      |                              |
| ( < 200 dakika golon)  | 19                           |

$$RSR = A+B+C$$

$$RSR = 13+16+19 = 48$$

#### 6.4-Uzun Süreli Uygulamalar İçin Gerekli Destekleme Önlemlerinin Belirtilmesi

Bu bölümde uzun süreli uygulamar için gerekli olan tahkimat sistemlerinin dizaynı ele alınmıştır. Galerilerdeki yük gözlemlerinin değerlendirilmesi, arazi yüklerinin hesabı ve malzemenin yerinde davranışları ele alınmış olup bunun için 3 yaklaşım kuralından yararlanılmıştır. Bunlar;

- Pradontyakonov Yaklaşımı,
- Arıoğlu, Biron-Arıoğlu Yaklaşımı,
- Barton Yaklaşımıdır.

##### 6.4.1-Pradontyakonov Yaklaşımı

Bu teoriye göre galeri üzerindeki domun analitik eğrisi parabol olarak ifade edilmekte ve parabolün ordinatı;

$$h = \frac{l}{f} \quad \text{bağıntısı ile verilmiştir. (1.1)}$$

Burada;  $h$ : Yük yüksekliği, Parabolün max. ordinatı (m.)

$l$ : Galeri açıklığının yarısı (m.) Yaklaşık olarak tahkimat elemanının yarı uzunluğu alınabilir.

$f$ : Pradontyakonov sertlik katsayısı. Bu büyülüük kayacın tek eksenli basınç değerine bağlı olarak ( $\Gamma_b$ ).

$$f = \Gamma_b \text{ (kg/cm}^2\text{)}/100 \quad \text{ile belirlenmiştir. (1.2)}$$

Bu halde,

$$h = \frac{100l}{\Gamma_b} \quad \text{ve taban basıncı } (\Gamma_t) \text{ ise, (1.3)}$$

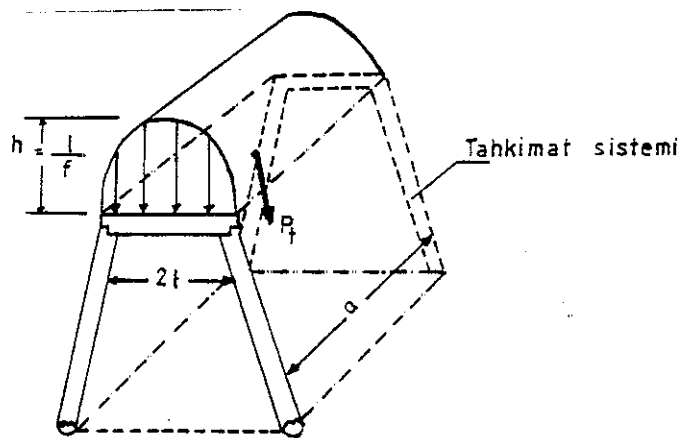
$$\Gamma_t = \gamma \cdot h = 100 \cdot \frac{\gamma \cdot l}{\Gamma_b} \quad \text{şeklinde yazılmaktadır. (1.4)}$$

Tahkimatin üst elemanına etkiyen toplam yük ise,

$$P_t \approx \frac{2}{3} 2l \cdot h \cdot a = \frac{4}{3} l \cdot h \cdot a \gamma \quad (1.5)$$

$$P_t \approx 133.3 \cdot \frac{l^2 \cdot a \cdot \gamma}{\Gamma_b} \quad (1.6)$$

(1.5) formülüünden görüleceği gibi kayacın basıncı direnci arttıkça tavan yükü azalmaktadır. Pratikte sağlam formasyonlarda açılan galerilerin çok az veya hiçbir tahkimata gereksinme göstermemeleri bu sonucu doğurmaktadır.



Şekil-ll: Prodontyakonov Teorisi

Bu yaklaşımı göre galerilerdeki yük yüksekliği ve toplam yük şöyle hesap edilebilir.

$$\text{Değerlendirme için: } \Gamma_b = 194.09 \text{ kg/cm}^2$$

$$2l = 2.5 \text{ m.}$$

$$H = 2 \text{ m.}$$

$$\gamma = 2.51 \text{ gr/cm}^3$$

$$d = 70 \text{ cm.}$$

$h = l/f$  bağıntısından hareketle;

$$f = \frac{\Gamma_b}{100} = \frac{194.09}{100} = 1.9409 \text{ mg/cm}^2 \quad \text{Prodontyakonov sertlik katsayısı}$$

$$h = \frac{100l}{\Gamma_b} = \frac{100 \times 1.25}{194.09} = 0.6440311 \text{ m.} \quad \text{Yük yüksekliği}$$

$$\Gamma_t = \gamma \cdot h = \frac{100 \cdot \gamma \cdot l}{\Gamma_b} = 2.51 \times 0.6440311 = 1.6165181 \text{ kg/cm}^2$$

Tavan basıncı

Tahkimatın üzerine gelen toplam yük ise;

$$P_t = \frac{2}{3} \times h \times 2l \times a \times \gamma = \frac{4}{3} \times l \times h \times a \times \gamma$$

$$P_t = \frac{4}{3} \times 1.25 \times 0.6440311 \times 0.7 \times 2.51 = 1.885937445 \text{ kg/cm}^2$$

Kumludere İçin:  $F_b = 186.6 \text{ kg/cm}^2$   
 $2l = 2.5 \text{ m.}$   
 $H = 2 \text{ m.}$   
 $\delta = 2.77 \text{ gr/cm}^3$   
 $a = 0.7 \text{ m.}$

$$h = \frac{l}{f} \quad \text{ifadesinden;}$$

$$f = \frac{F_b}{100} = \frac{186.6}{100} = 1.866 \quad \text{Sertlik katsayısi}$$

$$h = \frac{100l}{F_b} = \frac{100 \times 1.25}{186.6} = 0.6698821 \text{ m.} \quad \text{Yük yüksekliği}$$

$$F_t = \delta \times h = 2.77 \times 0.6698821 = 1.8555734 \text{ kg/cm}^2 \quad \text{Tavan basıncı}$$

$$P_t = \frac{4}{3} \times l \times h \times a \times \delta = \frac{4}{3} \times 1.25 \times 0.6698821 \times 0.7 \times 2.77$$

$$= 2.164835653 \text{ kg/cm}^2 \quad \text{Toplam yük.}$$

#### 6.4.2-Arioglu, Birön - Arioglu Yük Yaklaşımı

Bu yaklaşımada yük yüksekliği galeri açıklığının bir fonksiyonu olarak  $h = \alpha \cdot L_a$  bağıntısı ile verilmektedir. (1.7)  
 Buradan hareket ederek;

$$F_t = h \times \delta = \alpha \times L_a \times \delta \quad \text{Tavan basıncı} \quad (1.8)$$

$$q_t = F_t \times \delta = \alpha \times L_a \times \delta^2 \quad \text{Birim yayılı yük} \quad (1.9)$$

$$P_t = F_t \times L_a = \alpha \times L_a^2 \times \delta \quad \text{Toplam yük} \quad (1.10)$$

şeklinde tanımlanmaktadır.

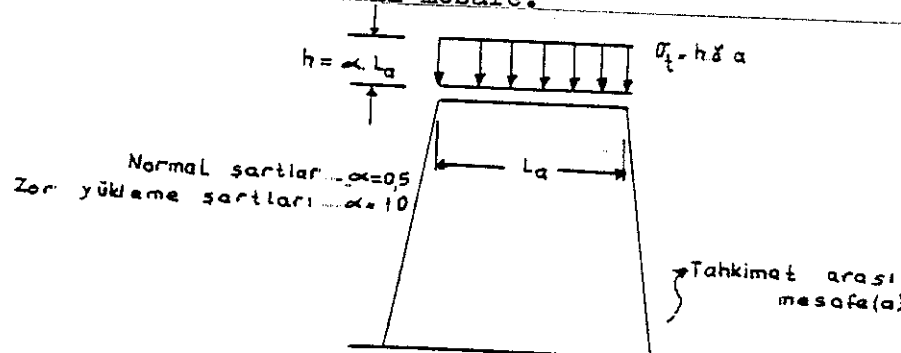
Bu ifadeler;

$h$ : Yük yüksekliği

$\alpha$ : Yükleme faktörü

$L_a$ : Galeri açıklığı

$a$ : Tahkimat üniteleri arasındaki mesafe.



Şekil-12: Arioglu ve Birön-Arioglu Teorisi.

Arioğlu ve Birön yaklaşımından faydalananlarak yapılan yük yüksekliği, tavan basıncı ve toplam yük hesapları aşağıdadır.

Değirmendere İçin:

Yük yüksekliği  $h = \alpha \cdot La$

$$h = 0.5 \times 2.5 = 1.25 \text{ m. Normal şartlarda}$$

$$h = 1 \times 2.5 = 2.5 \text{ m. Zor yükleme şartlarında.}$$

$$F_t = \gamma x h = 1.25 \times 2.51 = 3.1375 \text{ kg/cm}^2 \text{ Normal şartlarda}$$

$$F_t = \gamma x h = 2.5 \times 2.51 = 6.275 \text{ kg/cm}^2 \text{ Zor yükleme şartlarında}$$

$$q_t = F_{txa} = 3.1375 \times 0.7 = 2.19625 \text{ kg. Normal şartlarda}$$

$$q_t = F_{txa} = 6.275 \times 0.7 = 4.3925 \text{ kg. Zor yükleme şartlarında}$$

$$P_t = F_{txLaxa} = 6.275 \times 2.5 \times 0.7 = 10.981255 \text{ kg. Normal şartlarda}$$

$$P_t = F_{txLaxa} = 13.55 \times 2.5 \times 0.7 = 21.9625 \text{ kg. Zor yükleme şartlarında}$$

Kumludere İçin:

$$h = \alpha \cdot La = 0.5 \times 2.5 = 1.25 \text{ Normal şartlarda}$$

$$h = \alpha \cdot La = 1 \times 2.5 = 2.5 \text{ Zor yükleme şartlarında}$$

$$F_t = h \gamma = 1.25 \times 2.77 = 3.4625 \text{ kg/cm}^2 \text{ Normal şartlarda}$$

$$= 2.5 \times 2.77 = 6.925 \text{ kg/cm}^2 \text{ Zor yükleme şartlarında}$$

$$q_t = F_t \times a = 3.4625 \times 0.7 = 2.42375 \text{ kg Normal şartlarda}$$

$$= 6.925 \times 0.7 = 4.8479 \text{ kg Zor yükleme şartlarında}$$

$$P_t = F_t \times La \times a = 3.4625 \times 2.5 \times 0.7 = 12.11875 \text{ kg Normal şartlarda}$$

$$= 6.925 \times 2.5 \times 0.7 = 24.2375 \text{ kg Zor yükleme şartlarında.}$$

Buraya kadar yapılan hesapların sonucu, galerilerin kireçtaşının içinde açıldığı durumlarda geçerlidir.

Arioğlu, Birön-Arioğlu yaklaşımından hareket ederek; Kirişteki müsait gerilme, eğilme gerilmesi olup,

$$\Gamma_{max} = 1.25 \cdot q \cdot l^2/d^3 \text{ formülü ile belirlenmiştir.} \quad (1.13)$$

$\Gamma_{max}$  : en büyük eğilme gerilmesi

$q$  : kiriçe etkiyen uniform yayılı yük ((1.9) bağıntısından)

$l$  : kiriş uzunluğu.

$d$  : kirişin çapı.

(1.13) bağıntısından bulunan max değerinden hareket ederek  
a: Tahkimat üniteleri arasındaki mesafe.

$$\Gamma_{\max} = \frac{1,25 \cdot \alpha \cdot l^3 \cdot \gamma \cdot a}{d^3} \text{ ifadesinden } a = \frac{\Gamma_{\max} d^3}{1,25 \times \alpha \times l^3 \times \gamma}$$

şeklinde bulunur. (1.14)

Degirmendere İçin:

d: 0,18 m.

l: 2 m.

q: 2.19625 ve 4.3925 kg/cm<sup>2</sup>.

γ: 2,51 gr/cm<sup>3</sup>

α: 0,5 ve 1 değerleri için.

$$\Gamma_{\max} = 1,25 \times q \cdot \frac{l^2}{d^3} \quad \Gamma_{\max} = \frac{1,25 \times 2,19625 \times 4}{(0,18)^3} = 1882,93 \text{ kg/cm}^2$$

Normal şartlarda

$$\Gamma_{\max} = 3765,86 \text{ kg/cm}^2 \text{ Zor yükleme şartlarında}$$

$$a = \frac{\Gamma_{\max} d^3}{1,25 \times \alpha \times \gamma \times l^3} \quad a = \frac{1882,93 \times 5,832 \times 10^{-3}}{1,25 \times 0,5 \times 2,51 \times 8} = \frac{10,98}{12,55} = 0,87 \text{ m.}$$

Normal şartlarda

$$a = \frac{3765,86 \times 5,832 \times 10^{-3}}{1,25 \times 1 \times 2,51 \times 8} = \frac{10,98}{25,1} = 0,87 \text{ m.}$$

Zor yükleme şartlarında

lif eğriliği ve budak sayısına göre 1000-7000 t/m<sup>2</sup>  
3000-4000 t/m<sup>2</sup>,ye göre.

Kumludere İçin:

d= 0,18 m.

l= 2 m.

q= 2.42375 ve 4.8475 kg.

γ= 2,77 gr/cm<sup>3</sup>

α= 0,5 ve 1 için.

$$\Gamma_{\max} = \frac{1,25 \times 2,42375 \times 4}{(0,18)^3} = 2077,97 \text{ kg/cm}^2 \text{ Normal şartlarda}$$

$$= \frac{1,25 \times 4,8475 \times 4}{(0,18)^3} = 4155,94 \text{ kg/cm}^2 \text{ Zor yükleme şartlarında}$$

$$a = \frac{\sqrt{V_{\max}} d^3}{1,25 \times \alpha \times \gamma \times l^3} = \frac{2077,97 \times 5,832 \times 10^{-3}}{13,85} = \frac{12,11}{13,85} = 0,87 \text{ m. Normal}$$

$$a = \frac{4155,94 \times 5,832 \times 10^{-3}}{1,25 \times \alpha \times 2,77 \times 8} = \frac{24,23}{27,7} = 0,87 \text{ m. Zor şartlarda.}$$

#### 6.4.3-Barton Yaklaşımı

Barton, galeri ve tünellerde yapılan çok sayıda gözlemin değerlendirilmesi sonunda ortamın jeomekanik parametrelerini (bağılı blok boyutu, bloklar arası direnç) aktif gerilme durumu içeren sınıflandırma sistemi ve buna göre uygulanacak tahkimat türlerini önermiştir. Literatürde Q sınıflandırması olarak bilinen bu sınıflandırma son yıllarda tünel ve madencilik uygulamalarında uygulama alanı bulmuştur. Aynı araştırmacı Q'ya bağlı olarak 3'den fazla çatlak sistemi için;

$$\text{Tavan basıncı } \bar{V}_t = \frac{2}{J_r} \times Q^{-1/3} \text{ kg/cm}^2 \quad (1.11)$$

$$Q = \frac{2}{3} J_n^{1/2} \times J_r^{-1} \times Q^{-1/3} \text{ ifadeleri verilmektedir.} \quad (1.12)$$

$$Q = \frac{RQD}{J_n} \times \frac{J_r}{J_a} \times \frac{J_w}{SRF}$$

ifadeleri hesaplanabilmektedir.

(1.11) ve (1.12) formüllerinden görüleceği üzere anılan yaklaşım formasyonun yapısal özelliklerini (çatlak sistemlerini), mekanik dirençlerini (özellikle basınç ve kayma direnci) ve gerilme şartlarını içermektedir. Bu nedenle hesaplanan tavan yükü daha gerçekçidir. Bölüm 5.4.4.2'de hesaplanan Q değerine bağlı olarak hesaplanan tavan basınçları şöyledir.

Kumludere için:  $\bar{V}_t = \frac{2}{J_r} Q^{-1/3}$  (3'den fazla çatlak ~~sist~~ için)

$$\bar{V}_t = \frac{2}{0,5} \times (1,039)^{-1/3} = 3,5662628 \text{ kg/cm}^2$$

$$\bar{V}_t = \frac{2}{3} J_n^{1/2} \times J_r^{-1} \times Q^{-1/3}$$

$$\bar{V}_t = \frac{2}{3} (3)^{1/2} \times \frac{1}{0,5} \times \frac{1}{(1,039)^{1/3}} = 4,1179656 \text{ kg/cm}^2$$

(3'den az çatlak sistemi için)

6.4.4-Arioglu, Birön-Arioglu Yaklaşımı ile Barton Yaklaşımının Karşılaştırılması

Burada tavan basıncı, " $\alpha$ " yük katsayısı cinsinden şöyle ifade edilmiştir.

$$t = 0,1 \alpha x l x \gamma \quad (\text{kg/cm}^2)$$

$$= La/2 \quad (\text{m})$$

$$= 10 \cdot \frac{\sqrt{t}}{l \gamma} = 10 \cdot \frac{2}{j_r} Q^{-1/3} \cdot \frac{1}{l \gamma}$$

(Üçten az çatlak sistemi için)

$$= 10 \cdot \frac{\sqrt{t}}{l x \gamma} = 10 x (j_n^{1/2} / j_r) Q^{-1/3} \frac{1}{l x \gamma}$$

şeklinde yazılabilir.

Bunlara bağlı olarak "Kötü-Normal-iyi" yükleme koşullarında aşağıdaki büyüklüklerde karakterize edilebilir.

Tablo-7: İyi, Orta ve Kötü Yükleme Koşullarına Karşı Gelen Kayaç Kalite Katsayıları Değerleri

| Kötü                                   | Orta                                   | İyi                               |
|--|--|-----------------------------------|
| RQD = 25-50                            | RQD = 50-75                            | RQD = 75-90                       |
| Üç Çatlak Sistemi                      | Üç Çatlak Sistemi                      | İki Çatlak Sistemi                |
| $j_n = 9$                              | $j_n = 9$                              | $j_n = 4$                         |
| Pürüzsüz Düzlemsel çatlak              | Pürüzsüz Dalgalı çatlak                | Pürüzsüz Dalgalı çatlak           |
| $j_r = 1$                              | $j_r = 2$                              | $j_r = 2$                         |
| Hafif Yıpranmış yüzeyler               | Yıpranmamış yüzeyler                   | Yıpranmamış yüzeyler              |
| $j_a = 2$                              | $j_a = 1$                              | $j_a = 1$                         |
| Çatlaklılardan Periyodik su Bosaltması | Çatlaklılardan Periyodik su Bosaltması | Kuru Kazı                         |
| $j_w = 0.66$                           | $j_w = 0.66$                           |                                   |
| Yüksek Gerilme SRF = 1.25              | Sağlam Kaya Orta Gerilme SRF = 1       | Sağlam Kayaç Orta Gerilme SRF = 1 |

Q hesabında ortalama değerler dikkate alınmıştır.

Kumludere ve Değirmendere için galerilerin tamamının kıl  
içinde açılması halinde Prodontyakonov Yaklaşımına göre;

$$\sqrt{f_b} = 4 \text{ kg/cm}^2 \quad \text{Çok katı zemin} \quad 0.6-0.3 \text{ MP -Zemin tırnakla çer-} \\ \text{tilebilir.}$$

$$2\ell = 2.5 \text{ m.}$$

$$H = 2 \text{ m.}$$

$$= 2.1 \text{ gr/cm}^2 \quad (\text{kilin yoğunluğu})$$

$$f = \frac{\sqrt{f_b}}{100} = 0.04 \quad \text{Prodontyakonov sertlik katsayısı}$$

$$h = \frac{100}{\sqrt{f_b}} = \frac{100 \times 1.25}{4} = 31,25 \text{ cm.} \quad \text{yük yüksekliği}$$

$$\sqrt{f_t} = h \times \gamma = 2.1 \times 31.25 = 65.625 \text{ kg/cm}^2 \quad \text{Tavan basıncı}$$

$$P_t = \frac{4}{3} \ell \times h \times \gamma \times a = \frac{4}{3} \times 1.25 \times 2.1 \times 0.7 = 76.5625 \text{ kg.}$$

Tahkimati etkiyen toplam yük.

Arioglu-Birön Yaklaşımına Göre ise;

$$h = \alpha \cdot La$$

$$= 0.5 \times 2.5 = 1.25 \text{ cm.}$$

$$= 1 \times 2.5 = 2.5 \text{ cm.}$$

$$\sqrt{f_t} = h \times \gamma = 1.25 \times 2.1 = 2.625 \text{ kg/cm}^2 \quad \text{Tavan basıncı} \\ = 2.5 \times 2.1 = 5.25 \text{ kg/cm}^2$$

$$q_t = \sqrt{f_t} \times a = 2.625 \times 0.7 = 1.8375 \text{ kg.}$$

$$= 5.25 \times 0.7 = 3.675 \text{ kg.}$$

$$P_t = \sqrt{f_t} \times La \times a = 2.625 \times 2.5 \times 0.7 = 4.59375 \text{ kg/cm}^2 \\ = 5.25 \times 2.5 \times 0.7 = 9.1875 \text{ kg/cm}^2$$

Yukarıdaki değerlerden hareketle; kullanılacak ağaç için max.  
eğilme gerilmesi

$$\sqrt{f_{max}} = \frac{1.25 q \cdot \ell^2}{d^3} = \frac{1.25 \times 1.8375 \times 4}{(0.18)^3} = 1575.36 \text{ kg/cm}^2 \quad \text{Normal} \\ \text{sartlarda}$$

$$= \frac{1.25 \times 3.675 \times 4}{(0.18)^3} = 3150.72 \text{ kg/cm}^2 \quad \text{Zor} \\ \text{yükleme şartlarında.}$$

Pratikte ağaç tahkimatlarının dayanımı lif eğriliği ve bu-  
dak sayısına göre  $1000-7000 \text{ t/m}^2$  arasında değişmektedir.

Galerilerdeki tahkimat düzlemleri arasındaki mesafeyi  
örebilmek için ağaç tahkimatlarının dayanımı  $3000 \text{ t/m}^2$  ve  $4000 \text{ t/m}^2$   
alınıp, hesaplar bu değerlere göre yapılmıştır.

$$a = \frac{\sqrt{\max. d^3}}{1.25 \times \alpha \times Y \times l^3} = \frac{300 \times (0.18)^3}{125 \times 0.5 \times 2.1 \times 8} = 0.16 \text{ m Normal şartlarda}$$
$$= \frac{300 \times (0.18)^3}{1.25 \times 1 \times 2.1 \times 8} = 0.03 \text{ m Zor yükleme şart-}\text{larda.}$$

$$a = \frac{400 \times (0.18)^3}{1.25 \times 0.5 \times 2.1 \times 8} = \frac{2.33}{10.5} = 0.22 \text{ m. Normal şartlarda}$$
$$= \frac{400 \times (0.18)^3}{1.25 \times 1 \times 2.1 \times 8} = \frac{2.33}{21} = 0.11 \text{ m. Zor yükleme şartlarında.}$$

## SONUÇLAR

- + Çalışma sahasındaki birimler alttan üstte doğru;  
Söyüdağ Kireçtaşı  
Koçtepe Formasyonu  
İsparta Formasyonu  
İncesu Konglomerası  
Gökçebağ Karmaşığı  
Burdur Formasyonu şeklindedir.
- + Mühendislik özelliklerini belirlemek için iki ayrı galeride çalışma yapılmış ve kayaçların jeoteknik ve mekanik özellikleri belirtilmiştir.
- + Galerilerden alınan el karot numuneleri üzerinde yapılan mekanik deney sonuçlarına göre Bieniawski-Barton ve RSR Parametrelerine göre kayaçların sınıflandırılması yapılmıştır.
- + Bieniawski sınıflamasına göre Kumludere Maden Ocağındaki kayaçlar "Orta Kaya" sınıfında olup, cevherin kazılabilirliği ise "Orta"dır.
- + Barton sınıflamasına göre yapılan kaya sınıflandırması sonucu Kumludere için "zayıf" olarak çıkmıştır.
- + RSR parametreleri esas alınarak yapılan sınıflamada Kumludere Maden Ocağı için RSR değeri 48 dir. 19'dan küçük olan kayalarda kuvvetli iksa, RSR değeri  $\geq 80$  olan kayalarda iksa gerekmediği bilinmekle beraber, bu model çelik iksaya göre geliştirildiği için diğer destekleme verilerinde yetersizdir.
- + Barton sınıflaması için bulunan  $Q=1.039$  değerine karşılık gelen destekleme önlemi "Kaya patlamaları veya kavaklama halinde genellikle genişletilmiş taşıma plakalı gerilmeli bloklar 1 m. aralıklı bazen 0.8 m. kullanılmalıdır. Nihai destekleme kavaklanma bittikten sonra yapılmalıdır" şeklindedir.

- + Değirmendere maden ocağında zeminin çok ayrılmış olması ve aşırı derecede yeraltısıyu gelişimi olduğu için kaya sınıflaması yapılmamıştır.
- + Yapılan sınıflamalar için uzun süreli uygulamalara yönelik galerilerdeki "yük yüksekliği - tavan basıncı ve toplam yük"ler Prodontyakonov-Arioglu, Birön-Arioglu ve Barton Yaklaşımı ile hesaplanmış ve tahkimat aralıkları belirlenmiştir.
- + Galerilerde şu anda mevcut olan ilerleme şekli ve tahkimat aralıkları, galerinin tamamının kireçtaşı içinde geçmesi durumunda bizim çalışmamızdaki rakamlarla uygundur. Fakat galerinin kil içinde devam etmesi durumunda ise yeniden düzenlemelere gidilmesi gerekmektedir.

KAYNAKLAR

- BİRÖN, C., ARIÖGLU, F., (1985) Madenlerde Tahkimat İşleri ve Tasarımı, İ.T.Ü.Maden Fakültesi, İstanbul.
- BOĞAZ, R., Diğerleri, 1975, Keçiborlu Kükürt İşletme Sahaları Jeoloji ve Maden Etüd Raporu, Etibank Maden Aramaları Dairesi Başkanlığı, Ankara.
- GUTNİC, M., (1972), Isparta Batısındaki Kükürt Belirtileri, M24b<sub>2</sub>, M24b<sub>3</sub> Paftaları Üzerine Rapor (Yayınlanmamış), Ankara.
- ERGUUVANLI, K., 1982, Mühendislik Jeolojisi, İ.T.Ü.Maden Fakültesi Mühendislik Jeolojisi ve Kaya Mekanığı Birimi, II.Baskı, İstanbul.
- ERTUNÇ, A., 1985, Mühendislik Jeolojisi Ders Notları, A.Ü.Isparta Mühendislik Fakültesi, Isparta.
- KEÇELİ, A., (1984), Mühendislik Sismolojisi Ders Notları, A.Ü. Isparta Mühendislik Fakültesi, Isparta.
- KÖSEOĞLU, M., 1986, Zemin Mekanığı Ders Notları, A.Ü.Isparta Mühendislik Fakültesi, Isparta.
- SARIİZ, K., 1982, Keçiborlu Kükürt Yataklarının Oluşumu ve Yörenin Jeolojisi, Doktora Tezi, Anadolu Üniversitesi, Mühendislik Mimarlık Fakültesi, Eskişehir.
- ÖZGÜNER, M., 1980, Keçiborlu ve Burdur Gölü Civarı Yeni Kükürt Zuhurları Prospeksiyon ve Etüdleri Ön Raporu, Ankara.
- Tünelcilik Semineri, 1984, Elektrik İşleri Etüd İdaresi Genel Direktörlüğü, Ankara.

TÜRKER, E., 1986, Kaya Mekanığı Ders Notları, A.Ü.Isparta Mühendislik Fakültesi, Isparta.

UMBERTO, G., 1986, Keçiborlu Kükiirtlü Yeni Ruhsat Sahasının Jeolojik Etüdü, Çeviren: Halit Gürün, T.C. M.T.A. Enstitüsü (Yayınlanmamış), Ankara.

Akdeniz Üniversitesi  
Rektörlüğü Kütuphanesi  
Demirbaş No. 4947

F: 20.000 - TL